

1022/ITS/H/90/

TUGAS AKHIR

STUDI ANGKUTAN SEDIMENT DI PARIT-RAYA TULUNGAGUNG



PSS
627.122.
Wib
S.1
1990

Disusun oleh :

Kunto Wibisena

3793102521

BIDANG STUDI HIDROTEKNIK
JURUSAN TEKNIK SIPIL
FAKULTAS TEKNIK SIPIL DAN PERENCANAAN
INSTITUT TEKNOLOGI SEPULUH NOPEMBER
S U R A B A Y A

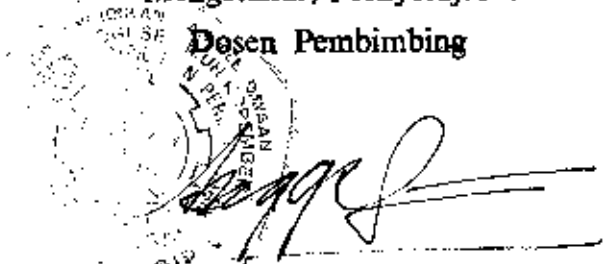
1990

TUGAS AKHIR

STUDI ANGKUTAN SEDIMENT DI PARIT-RAYA TULUNGAGUNG

Mengetahui / Menyetujui :

Dosen Pembimbing


(Ir. Anggrahini, M.Sc.)

**BIDANG STUDI HIDROTEKNIK
JURUSAN TEKNIK SIPIL
FAKULTAS TEKNIK SIPIL DAN PERENCANAAN
INSTITUT TEKNOLOGI SEPULUH NOPEMBER
SURABAYA**

1990

KATA PENGANTAR

Segala puji saya panjatkan kehadirat Allah SWT yang telah melimpahkan rahmat dan hidayah-Nya sehingga saya dapat menyelesaikan penyusunan Tugas Akhir ini Untuk memenuhi salah satu syarat kurikulum dengan beban kredit 6 SKS di Jurusan Teknik Sipil Fakultas Teknik Sipil dan Perencanaan Institut Teknologi Sepuluh Nopember Surabaya.

Beban 6 SKS, tentunya mengandung makna agar mahasiswa mencoba menerapkan ilmu pengetahuan yang telah didapatkan di bangku kuliah untuk membahas suatu permasalahan dan diharapkan dapat menentukan alternatif yang dapat digunakan dan dipertanggung jawabkan dalam penerapannya di masyarakat.

Oleh karena itu Tugas Akhir ini selain dituntut analisa tentunya juga tanggung jawab.

Sebagai manusia biasa tidak akan lepas dari salah dan lupa, untuk itu saya menyadari bahwa dalam penyusunan Tugas Akhir ini jauh dari sempurna.

Demi kesempurnaannya, saya mohon kritik dan saran-saran yang bersifat membangun dari pembaca.

Dengan selesainya penyusunan Tugas Akhir ini - saya tak lupa menyampaikan terima kasih dan penghargaan yang sedalam-dalamnya kepada yang terhormat, Ibu-Ir. Anggrahini M.Sc, selaku Dosen Pembimbing sekaligus Ketua Jurusan Teknik Sipil FTSP - ITS merangkap Ketua

Bidang Studi Hidroteknik, yang telah bersusah payah membimbing, mengarahkan dan memberikan semangat serta kesempatan demi terselesaikannya penyusunan Tugas Akhir ini.

Pada kesempatan ini, saya menyampaikan terima kasih pula, kepada yang terhormat :

1. Bapak Ir. Harwijono Dirdjosoekarta, selaku Dekan Fakultas Teknik Sipil dan Perencanaan ITS.
2. Bapak Pimpinan dan Staf Seksi Pengairan Brantas, Tulungagung.
3. Bapak Pimpinan dan Staf Proyek Induk Pengembangan Wilayah Sungai Kali Brantas, Malang.
4. Bapak Matali, Biro Pengetikan Ideal Surabaya.
5. Rekan saya saudara Agung Supranyoto.
6. Dan semua pihak yang telah membantu dalam penyusunan Tugas Akhir ini yang tidak dapat kami sebutkan satu persatu.

Demikian, semoga Allah SWT melimpahkan rahmat dan karunia-Nya. Amien.

Surabaya, Februari 1990

Penyusun

Kunto Wibisono - 379 310 2521

DAFTAR ISI

KATA PENGANTAR.	1
DAPTAR ISI.	iii
B A B - I PENDAHULUAN.	I - 1
1.1. Umum.	I - 2
1.2. Proyek Pematusan Tulungagung.	I - 2
1.3. Permasalahan.	I - 8
1.4. Maksud dan Tujuan.	I - 10
1.5. Ruang Lingkup Pembahasan....	I - 11
B A B - II DATA-DATA YANG DIPERLUKAN.	II - 1
2.1. Data Topografi.	II - 1
2.2. Data Hidrologi.	II - 2
2.3. Data Sedimen.	II - 21
2.4. Saluran Parit Raya.	II - 21
2.5. Pintu Air Bendo.	II - 22
2.6. Bangunan Terjun Kendal.	II - 23
2.7. Saluran Parit Agung.	II - 23
B A B - III ANALISA HIDROLOGI.	III - 1
3.1. Umum.	III - 1
3.2. Curah Hujan Areal.	III - 3
3.3. Curah Hujan Harian Maksimum - Rencana.	III - 5
3.4. Curah Hujan Harian Efektif...	III - 13
3.5. Pola Distribusi Curah Hujan - Harian Efektif.	III - 15
3.6. Debit Banjir Rencana.	III - 18
3.7. Debit Harian.	III - 29
B A B - IV ANALISA ANGRUTAN SEDIMENT.	IV - 1
4.1. Umum.	IV - 1
4.2. Erosi di DAS Parit Raya.....	IV - 4
4.3. Jenis Material Sedimen pada - Aliran Sungai.	IV - 16

4.4.	Angkutan Sedimen Pada Alur Parit Raya.	IV - 19
4.5.	Kondisi Aliran Parit Raya.	IV - 32
B A B - V	ANALISA PENGENDALIAN SEDIMEN.	V - 1
5.1.	Umum.	V - 1
5.2.	Pengendalian Erosi di DAS Parit-Raya.	V - 2
5.3.	Pengendalian Sedimentasi pada Alur Parit Raya dan Parit Agung.	V - 4
5.4.	Analisa Kapasitas Aliran Parit-Raya.	V - 14
B A B - VI	K E S I M P U L A N.	VI - 1
P E N U T U P.	V
DAFTAR PUSTAKA	vi

-----000-----

B A B - I

P E N D A H U L U A N

1.1. U m u m

Kali Ngrowo merupakan anak sungai kali Brantas yang berfungsi mengalirkan air hujan dari daerah Trenggalek dan daerah Tulungagung ke kali Brantas. Aliran kali Ngrowo bermuara di kali Brantas sekitar - 7 km sebelah utara kota Tulungagung.

Daerah aliran sungai (DAS) kali Ngrowo yang merupakan bagian dari DAS kali Brantas yang terletak di sudut barat daya dari DAS kali Brantas bagian tengah mempunyai daerah tangkapan seluas 1.600 km^2 .

Daerah tangkapan ini dibatasi oleh Pegunungan Wilis - di sebelah Utara dan Pegunungan Kapur di sebelah Selatan, sedang di bagian tengahnya berupa dataran rendah seluas 260 km^2 dengan elevasi rata-rata + 80 m dari permukaan air laut (Gambar 1.1)

Kondisi topografi DAS kali Ngrowo yang dikelilingi oleh pegunungan itu merupakan seekungan besar - yang mengakibatkan aliran-aliran kali Ngrowo hanya dapat mengalir ke kali Brantas saja.

Sedangkan kapasitas aliran kali Brantas sendiri keadaannya semakin berkurang akibat adanya endapan pasir dari gunung Kelud, sehingga kapasitas kali Ngrowo - yang dapat masuk ke kali Brantas sangat terbatas.

Akibatnya di daerah kota Tulungagung dan bagian tengah DAS kali Ngrowo pada setiap musim penghujan selalu tergenang air banjir.

1.2. Proyek Pematusan Tulungagung.

Aliran air hujan dari daerah Trenggalek masuk ke kali Ngrowo melalui anak-anak sungainya, yaitu kali Ngasinan, kali Tawing, kali Karangtuwo dan kali Keboireng.

Untuk menanggulangi aliran air banjir dari daerah Trenggalek yang masuk ke kali Ngrowo, maka pada tahun 1957 dibangunlah pintu air Widoro dan saluran Munjungan yang berfungsi mengalirkan sebagian air banjir kali Ngasinan ke kali Tawing (Gambar 1.2.b).

Kemudian pada tahun 1961 dibangun pula pintu air Bendu dan saluran pematusan Parit Raya yang berfungsi mengalirkan air banjir kali Ngasinan, kali Tawing, kali Karangtuwo dan kali Keboireng ke Samudera Indonesia melalui terowongan Neyama (Terowongan Tulungagung Selatan I).

Terowongan ini dibangun pada tahun 1941 oleh Pemerintah Hindia Belanda dengan tujuan untuk mengalirkan genangan air banjir dari ujung selatan Rawa Bening menembus pegunungan Kapur ke Samudera Indonesia (Gambar 1.2.c).

Meskipun terowongan telah difungsikan sebagaimana rencana, namun pada saat musim penghujan masih selalu

terjadi genangan banjir rutin selama 200 hari per-tahun pada areal seluas 28000 ha, yang meliputi daerah kota Tulungagung seluas 25.000 ha serta daerah rawa Gesikan dan rawa Bening yang terletak di bagian tengah DAS Ngrowo seluas 3000 ha *)

Oleh karena itu sejak tahun 1970, Pemerintah Republik Indonesia melalui Proyek Pengembangan Wilayah sungai Brantas membuat rencana Proyek Pengembangan Wilayah Sungai Kali Ngrowo yang dilaksanakan secara menyeluruh, terpadu dan bertahap mulai tahun 1979 sampai dengan tahun 1999 (Gambar 1.3).

Tahap-tahap pelaksanaan proyek Pengembangan Wilayah sungai kali Ngrowo adalah sebagai berikut :

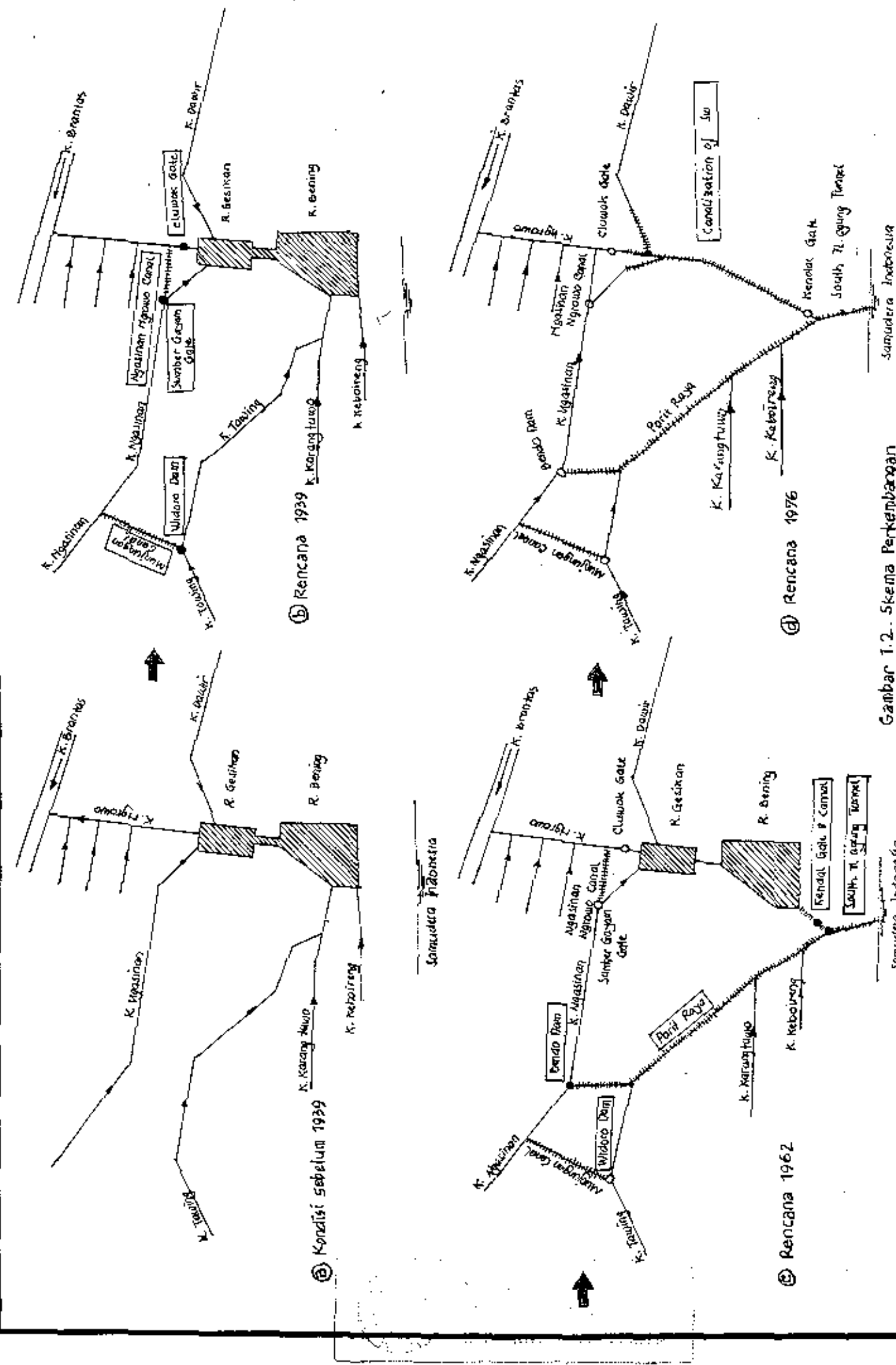
Tahap I : - Proyek jaringan Pematuaan Tulungagung
1979 - 1986.

- Proyek pintu air Tulungagung 1983 - 1986
- Proyek pintu air dan terowongan Tulungagung selatan II (baru) 1985 - 1986

Tahap II : - Proyek bendungan dan irigasi Wonorejo 1983 - 1992

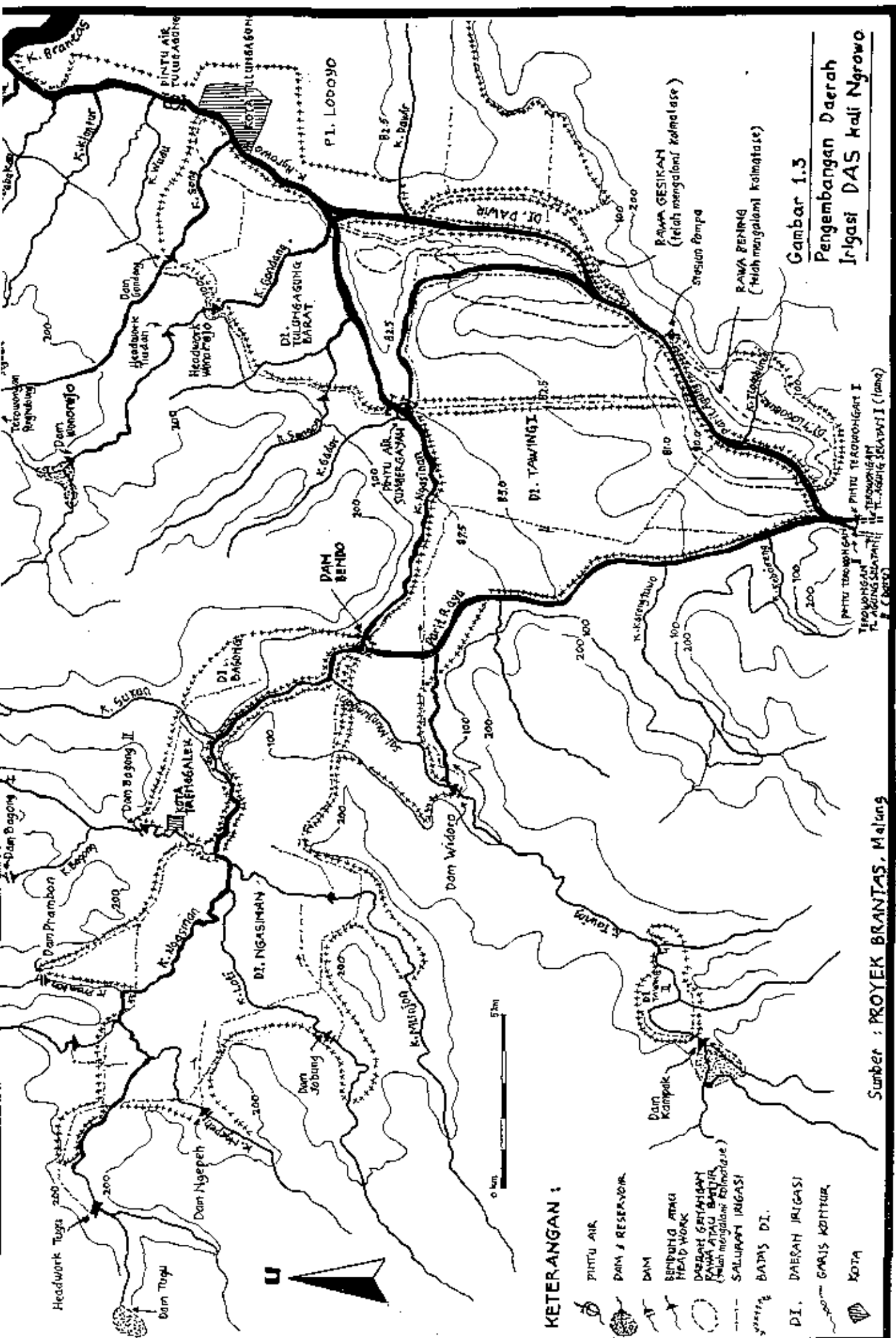
- Proyek pompa Tulungagung 1987- 1989
- Proyek PLTA Wonorejo 1984 - 1992
- Proyek PLTA Tulungagung selatan 1988 - 1993

*) Sumber : Seksi Pengairan Brantas, Tulungagung.



Gambar 1.2. Skema Perkembangan Perbaikan Das K. Nagewo

ଶ୍ରୀମଦ୍ଭଗବତ



Gambar 1.3 Pengembangan Daerah
Irigasi DAS kali Negro

Gambar 1.3

Sumber : PROYEK BRANTAS, Malang

Tahap III :

- Proyek PLTA Tugu 1992 - 1997
- Proyek irigasi Trenggalek 1992 - 1997

Tahap IV :

- Proyek perbaikan Parit Raya 1996 - 1999

Pada tahun 1986 yang lalu, proyek pematusan Tulungagung yang merupakan tahap I dari proyek pengembangan wilayah sungai kali Ngrowo telah selesai dilaksanakan.

Proyek ini dimaksudkan untuk :

- Membebaskan daerah kota Tulungagung seluas 13.600 ha. dari genangan air banjir rutin setiap tahun.
- Mengeringkan daerah rawa Gesikan dan rawa Bening seluas 1550 ha untuk dimanfaatkan sebagai daerah pertanian baru.
- Mencegah dan mengatur pengaruh banjir ke kali Brantas

Proyek ini dalam pelaksanaannya meliputi pembuatan :

- Parit Agung sepanjang 42,2 km yang berfungsi untuk menampung sementara air banjir dan kemudian mengalirkannya ke Samudera Indonesia sebesar $486 \text{ m}^3/\text{detik}$.
- Terowongan Tulungagung selatan II sejajar dengan terowongan Tulungagung selatan I, yang secara bersama-sama dapat mengalirkan air banjir dari Parit Raya dan -

Parit Agung seluruhnya sebesar $1.136 \text{ m}^3/\text{detik}$.

- Pintu air Tulungagung di kali Ngrowo sebelah utara - kota Tulungagung untuk mengatur aliran banjir kali - Ngrowo ke kali Brantas maupun ke Parit Agung.
- Pintu air di depan 2 terowongan untuk mengatur aliran air banjir dari Parit Raya dan Parit Agung ke Terowongan Tulungagung Selatan I dan II

Sedangkan proyek perbaikan Parit Raya dimaksudkan untuk meningkatkan kapasitas aliran Parit Raya dari $350 \text{ m}^3/\text{det}$ menjadi $650 \text{ m}^3/\text{det}$, sehingga bersama-sama dengan Parit Agung dapat mengalirkan air banjir ke samudera Indonesia sebesar $1136 \text{ m}^3/\text{det}$.

1.3. Permasalahan.

Meskipun proyek pengembangan wilayah sungai kali Ngrowo tahap I dan sebagian tahap II telah selesai pelaksanaannya, tetapi akhir-akhir ini pada setiap musim penghujan masih selalu timbul genangan banjir pada daerah rawan banjir tersebut di atas.

Hal ini terjadi akibat semakin berkurangnya kapasitas tampung pada bagian hilir Parit Agung.

Menurut hasil pemantauan, bahwa semakin berkurangnya kapasitas tampung dari Parit Agung bagian hilir ini - disebabkan oleh adanya sedimentasi pada saluran tersebut, khususnya disekitar pertemuan Parit Agung



dengan Parit Raya hingga keujung Parit Agung.

Salah satu hal yang diperkirakan menjadi penyebab terjadinya sedimentasi ini adalah besarnya angkutan material sedimen dari Parit Raya yang masuk ke Parit Agung.

Apabila ditelusuri kebagian hulu Parit Raya , maka hipotesa tersebut diatas dapat dijelaskan sebagai berikut :

- Dam Bendo membagikan aliran kali Ngasinan masing - masing kehilir kali Ngasinan yang selanjutnya masuk ke kali Ngrowo dan Parit Agung melalui dam Sumber - Gayam, serta sebagian lagi ke Parit Raya.
- Semakin berkurangnya kapasitas kali Brantas untuk menampung debit aliran dari kali Ngrowo maka alternatif yang selama ini diambil pada pengoperasian pintu air di dam Bendo adalah mengurangi debit aliran kali Ngasinan yang ke hilir dan memperbesar debit aliran yang masuk ke Parit Raya.
- Berkurangnya aliran kehilir kali Ngasinan ini menyebabkan kecepatan aliran menjadi semakin kecil. Hal ini secara kontinyu menyebabkan terjadinya sedimentasi pada alur sungai kali Ngasinan mulai dari hilir dam Bendo hingga dam Sumber Gayam.
- Sedangkan bertambah besarnya debit aliran ke Parit- Raya, dengan kondisi kemiringan dasar yang jauh lebih besar maka memperbesar kecepatan alirannya.

Besarnya kecepatan aliran ini akan menimbulkan gaya seret yang besar pula.

- Hal ini merupakan sebab yang potensial bagi terjadinya erosi pada alur Parit Raya, terutama di bagian-hulunya.

Oleh karena itu, disamping angkutan material sedimen hasil erosi di DAS Parit Raya dan Parit Agung, maka hasil erosi pada alur Parit Raya ini, diperkirakan juga menjadi salah satu sumber angkutan-material sedimen yang nantinya mengendap di Parit-Agung bagian hilir.

Akibat lebih lanjut dari permasalahan diatas adalah back water dari hilir Parit Agung merambat - ke Parit Raya, yang selain dapat menimbulkan genangan banjir di beberapa tempat di sekitarnya, juga dapat menimbulkan terjadinya sedimentasi di Parit Raya, terutama di bagian hilirnya,

1.4. Maksud dan Tujuan.

Berdasarkan permasalahan di atas, maka tugas akhir ini disusun dengan maksud mengadakan studi mengenai angkutan material sedimen di Parit Raya, yang diperkirakan sebagai salah satu sebab berkurangnya kapasitas tampungan di Parit Agung bagian hilir.

Sedangkan tujuan diadakannya studi ini adalah agar hasil studi dapat dimanfaatkan sebagai dasar dalam rangka perbaikan Parit Raya.

1.5. Ruang Lingkup Pembahasan.

Sesuai dengan maksud dan tujuan penyusunan Tugas Akhir ini maka dibatasi ruang lingkup pembahasan sebagai berikut :

- a. Pembahasan mengenai debit aliran banjir yang harus dapat dialirkan oleh Parit Raya, dengan tujuan untuk mengontrol kapasitas pengaliran banjir Parit Raya. Debit aliran banjir diestimasikan sebagai debit banjir rencana yang dihitung berdasarkan data curah hujan harian maksimum tahunan.

Sedangkan pencontrolan kapasitas pengaliran Parit Raya dilakukan dengan jalan membandingkan kapasitas-pengaliran Parit Raya yang dihitung dengan metode Slope Area, dengan debit banjir rencana pada periode ulang tertentu.

- b. Pembahasan mengenai angkutan sediment akibat erosi permukaan di DAS Parit Raya, dimaksudkan untuk mengevaluasi kondisi erosi permukaan di DAS Parit Raya yang merupakan salah satu sumber terjadinya angkutan sedimen di Parit Raya.

Volume erosi permukaan dihitung dengan formula USLE- (Universal Soil Lose Equation) yang diperkenalkan oleh Wieschemier dan Smith yang dikembangkan oleh dinas Konversi Tanah, Dapartemen Pertanian Amerika Serikat.

- c. Pembahasan mengenai angkutan sedimen yang terjadi di Parit Raya dan akumulasi pengendapan yang terjadi di Parit Raya dan di Parit Agung bagian hilir, dimaksudkan untuk menentukan jumlah angkutan material sedimen yang terjadi di Parit Raya meliputi :
- Angkutan sedimen beban layang (suspended load) yang dihitung dengan menggunakan metode Power Regresi berdasarkan data pengamatan angkutan suspended load dan debit aliran yang dihitung dari data curah hujan bulanan
 - Angkutan sedimen beban dasar (bed load) yang dihitung dengan menggunakan formula Mayer Peter Muller (MPM) berdasarkan data pengamatan angkutan bed load, kondisi penampang tempat pengukuran dan debit aliran yang dihitung dari curah hujan bulanan, serta menentukan akumulasi pengendapannya yang dihitung dengan menggunakan pendekatan grafis dari Gunar Brune berdasarkan kapasitas tampung saluran, inflow rata-rata tahunan dan hasil perhitungan angkutan sedimen total.
- d. Pembahasan mengenai kemungkinan-kemungkinan penanggulangan yang dapat dilakukan, dimaksudkan untuk menentukan pengendalian secara umum terhadap erosi dan sedimentasi pada alur Parit Raya berdasarkan evaluasi terhadap jumlah angkutan sedimen dan kondisi penampang pada alur Parit Raya.

B A B - II

DATA - DATA YANG DIPERLUKAN

Data-data yang diperlukan untuk studi tentang angkutan sediment di Parit Raya ini, meliputi :

- Data topografi
- Data hidrologi
- Data sedimen
- Data-data teknis saluran Parit Raya
- Data-data teknis saluran Parit Agung
- Data-data teknis Pintu Air Bendo
- Data-data teknis Terjunan Kendal

Data-data yang digunakan dalam studi ini diperoleh dari Proyek Brantas Malang serta dari Seksi Pengiran Brantas - Tulungagung.

2.1. Data Topografi.

Kondisi topografi suatu DAS merupakan salah satu faktor yang mempengaruhi terjadinya erosi dan angkutan material sediment hasil erosi di DAS tersebut. Topografi DAS Parit Raya ditelusuri dari hasil pemetaan lapangan yang dituangkan dalam bentuk gambar peta-topografi.

Peta topografi yang tersedia adalah peta topo-grafi DAS Kali Ngrowo dengan skala 1 : 125.000 (Gambar 1.1).

2.2. Data Hidrologi.

Data-data hidrologi yang dapat diperoleh meliputi data hujan dan data debit.

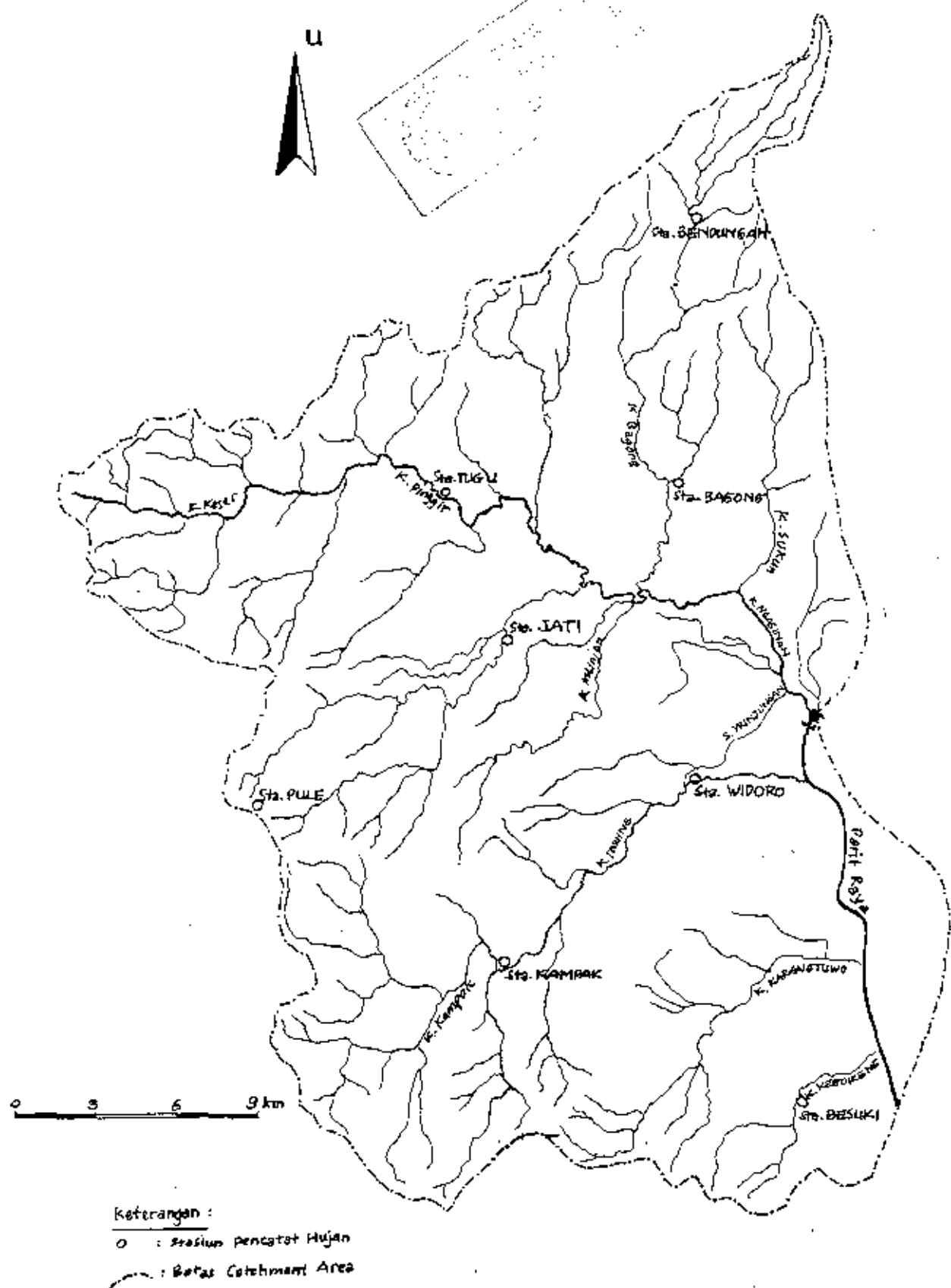
a. Data hujan diperoleh dari hasil pengamatan pada 8 stasiun pencatat hujan yang letaknya relatif terbesar merata di DAS Parit Raya, yakni stasiun pencatat hujan di Besuki, Kampak, Pule, Widoro, Jati atau Karangan, Tugu, Bagong dan Bendungan (Gambar 2.1)

Data yang diambil meliputi :

- Data curah hujan bulanan rata-rata selama 15 tahun periode pengamatan dari tahun 1970 sampai dengan tahun 1984 (Tabel 2.1).
- Data curah hujan harian maksimum tahunan, dengan lama pengamatan 15 tahun dari tahun 1970 sampai dengan tahun 1984 (Tabel 2.2).
- Data curah hujan bulanan setiap tahun pengamatan dengan lama pengamatan 15 tahun dari tahun 1970-sampai tahun 1984 (Tabel 2.3).

b. Data debit yang tercatat sangat terbatas, yakni hanya diperoleh dari hasil pengamatan angkutan sedimen di stasiun pengamatan sedimen.

Oleh karena itu untuk melengkapi data debit tersebut, maka dilakukan perhitungan debit dari pengolahan data hujan.



Gambar. 2.1. Stasiun Pencatat Hujan di DAS parit-Raya

Sumber: PROYEK BRAMTAS, Matang

Tabel 2.1. DATA CURAH HUJAN BULANAN RATA-RATA SELAMA 15 TAHUN PENGAMATAN
 (1970 - 1984)

BULAN	Curah Hujan Bulanan Rata-rata							
	Sta. BESUKI	Sta. KAMPAK	Sta. PULE	Sta. WIDORO	Sta. JATI	Sta. TUGU	Sta. BAGONG	Sta. BENDUNGAN
JANUARI	258,27	317	364,87	276,67	307,53	285,47	257,67	268,6
PEBRUARI	221,13	314,33	311,47	239,53	282,8	299,07	277,8	321,8
MARET	227,6	312,2	312,6	230,6	274,67	255	244,4	289,27
APRIL	127,87	198,6	206,33	134,6	163,4	176,93	154,87	289,67
MEI	207,4	190,67	203,67	156,33	159,53	176,53	168,87	215,47
JUNI	72,4	158,8	97,67	54,2	75,4	68,67	81	147,8
JULI	67,27	148,27	94,33	69,13	61,73	60,93	51,07	78,87
AGUSTUS	62	68,27	37,73	38,07	26,07	19,6	26,33	26,33
SEPTEMBER	142,27	157,33	96,07	99,2	91,87	81,4	102,13	125,27
OKTOBER	202,73	211,67	128,07	115,6	127,87	112,6	110,07	178,33
NOPEMBER	212,87	202,47	222,07	143,47	159,07	180,53	149,27	277,33
DESEMBER	215,27	223,4	273,53	203,87	216,6	194,93	197	247,93

Sumber : SEKSI PENGAIRAN BRANTAS, TULUNGAUNG.

Tabel 2.2. DATA CURAH HUJAN HARIAN MAKSUMUM TEHUNAN (1970 - 1984)

TAHUN	Tanggal-Bulan Kejadian	Curah Hujan Harian Maksumum (mm)							
		Sta. BESUKI	Sta. KAMPAK	Sta. PULE	Sta. WIDORO	Sta. JATI	Sta. TUGU	Sta. BAGONG	Sta. BENDUNGAN
1970	24 - 4	157	210	93	113	181	72	62	135
1971	11 - 5	147	70	46	122	41	37	71	57
1972	20 - 3	79	108	95	35	46	24	52	120
1973	15 - 9	62	97	75	85	100	74	49	110
1974	31 - 10	70	143	61	116	93	84	85	85
1975	14 - 1	46	108	62	68	88	43	35	61
1976	20 - 11	50	99	80	41	90	74	35	124
1977	7 - 6	36	61	90	32	95	36	51	83
1978	19 - 6	84	137	47	77	72	64	91	100
1979	26 - 5	142	51	50	98	43	37	98	82
1980	6 - 2	60	58	60	50	44	61	47	59
1981	17 - 7	96	243	115	113	100	71	80	152
1982	14 - 12	77	74	70	70	53	95	134	89
1983	6 - 5	78	90	40	52	77	69	70	69
1984	11 - 1	84	121	36	55	67	75	96	110

Sumber : SEKSI PENGAI'RAN BRANTAS, TULUNGAGUNG.

H
H
F
G

Tabel 2.3.6. DATA CURAH HUJAN BULANAN TAHUN 1970

Bulan	Stasiun Sta. SESUKI			Sta. KAMPAK			Sta. PULE			Sta. WIDORO			Sta. JATI			Sta. TUGU			Sta. BAGONG			Sta. BENDUTANGAN		
	R _b	N	R _{max}	R _b	N	R _{max}	R _b	N	R _{max}	R _b	N	R _{max}	R _b	N	R _{max}	R _b	N	R _{max}	R _b	N	R _{max}	R _b	N	R _{max}
JANUARI	11	10	18	43,67	6	63	15	15,38	15,4	20	70	18,63	16	96	24,82	22	79	12,85	20	64	30,47	17	60	
PEBRUARI	16,6	9	77	36,47	15	75	24,77	13,75	19,5	16	19	23,78	9	64	16,28	18	62	24,13	16	50	30,38	16	63	
MARET	15,1	10	58	14,83	17	36	13,36	14,34	14,0	13	72	24,07	14	90	11,62	13	35	14,3	10	61	16,69	13	41	
APRIL	32,9	10	157	34,14	14	210	22,5	12,93	22,31	16	113	40,88	6	101	21,5	16	72	18,75	12	62	29,27	11	13,5	
MEI	20,46	15	58	25,35	17	62	24,79	19,95	19,13	15	76	19,44	9	60	16,3	20	67	19,36	14	92	-	-	-	
JUNI	12,33	6	34	15,79	14	76	11,2	10,29	6,83	6	28	13,25	4	17	7,7	10	16	9,13	8	31	21	2	30	
JULI	7,5	2	11	7	8	15	15,33	3,25	4,75	4	8	6,5	2	7	4	3	7	11	2	16	-	-	-	
AGUSTUS	-	-	-	-	-	-	3,5	2	5	3,5	2	5	-	-	-	-	-	-	-	-	-	-	-	
SEPTEMBER	9,67	6	17	15,33	9	50	6,78	9,15	12,0	10	57	6,17	6	8	-	-	-	-	-	-	-	-	-	
OCTOBER	7	3	9	7,7	10	22	7,83	6,15	7,57	7	25	10,2	5	18	5,14	7	10	4,22	9	11	27,0	4	53	
NOVEMBER	26	10	80	21,69	16	54	22,18	11,40	22,09	11	100	18	17	47	12,93	15	32	19,5	12	67	24,68	19	63	
DESEMBER	26,08	13	66	27,2	15	75	16,94	17,55	19,94	16	109	15,77	13	37	11,43	21	32	17	17	55	24,57	14	60	
Rata-rata	15,39	8	43,92	20,60	12	61,5	15,35	11,43,25	13,75	12	61,83	16,39	9	52,	10,98	12	34,33	13,18	11	43,92	22,34	8	48,83	

Keterangan :

R_b = Curah Hujan Harian Rata-rata BulananR_{max} = Curah Hujan Harian Maksimum Bulanan

N = Jumlah Hari Keladian Hujan Dalam 1 Bulan.

Sumber : SEKSI PENGAIRAN BRANTAS, TULUNGAGUNG.

Tabel 2.3.4. DATA CURAH HUJAN BULANAN TAHUN 1971

Bulan	Sta. BESUKI			Sta. KAMPAN			Sta. PULAU			Sta. WIDORG			Sta. JATI			Sta. TUGU			Sta. BAGONG			Sta. BENDUNG		
	R _b	N	R _{max}	R _b	H	R _{max}	R _b	N	R _{max}	R _b	N	R _{max}												
JANUARI	17,7	10	30	9,58	12	20	16,06	16	52	30	4	72	23,42	12	41	16	13	43	10,71	14	32	23,67	3	53
FEBRUARI	22,43	14	52	23,61	18	85	25,58	19	92	15,33	6	47	20,05	19	49	25,88	17	45	16,55	20	55	32,5	6	92
MARET	26,06	16	98	24,09	22	85	16,79	19	40	15	1	15	18,94	17	52	14,18	22	50	20,27	22	66	60	1	60
APRIL	-	-	-	5,33	3	10	10,33	3	16	-	-	-	9	3	14	6,5	4	12	5	5	9	-	-	-
MELI	35,8	15	147	26,63	19	70	12,67	18	46	111	2	122	24,58	12	41	12,37	19	37	21,27	15	71	40,5	4	57
JUNI	34	2	59	31,86	7	182	12,4	5	24	12	3	18	15,5	2	24	7,33	3	17	18,8	5	38	25,5	2	37
JULI	14,5	2	17	11,4	5	32	11	2	15	-	-	-	18	1	18	12	1	12	-	-	-	-	-	-
AGUSTUS	-	-	-	-	-	-	-	-	-	-	-	-	-	-	-	-	-	-	-	-	-	-	-	-
SEPTEMBER	15,75	4	20	14,13	8	31	6,57	7	12	-	-	-	13,67	3	17	1,5	B	3	33,88	8	68	-	-	-
OCTOBER	38,42	12	116	29,37	19	73	21	2	35	23,5	12	30	25,3	10	49	9,94	16	36	13,82	17	50	54,5	2	75
NOVEMBER	36,36	11	84	23,7	10	52	24,14	14	90	-	-	-	27,53	9	47	7,3	10	25	15,75	12	43	-	-	-
DESEMBER	23,43	7	81	15,79	14	40	14,19	21	60	29,67	3	47	19,23	13	37	20,2	15	43	12,94	17	45	25	2	36
Rata-rata	22,04	8	58,67	17,96	11	56,67	14,56	11	40,17	19,71	12	29,25	17,92	8	32,42	11,1	11	25,25	14,06	11	41,42	21,81	2	34,17

Keterangan :

R_b = Curah hujan Harian Rata-rata BulananR_{max} = Curah hujan Harian Maksimum Bulanan

N = Jumlah Hari Majadian Hujan dalam 1 bulan.

Sumber : SEKSI PENGETAHUAN BRANTAS, TULUNGAGUNG.

Tabel 2.3.c. DATA CURAH HUJAN BULANAN TAHUN 1972

Stasiun Bulan	Sta.BESUKI			Sta.KAMPAK			Sta.PULE			Sta.WIDORO			Sta.JATTI			Sta.TUCU			Sta.BAGONG			Sta.BENDUNGAN		
	R _b	N	R _{max}																					
JANUARI	30,2	10	76	13,4	15	38	18,90	21	72	25,5	4	40	17,45	22	57	17,15	20	43	17,68	19	55	22,8	5	60
FEBRUARI	16,75	8	28	16,85	13	52	12,06	17	35	27,6	5	62	16,27	15	57	27,18	11	62	15	18	86	45,50	2	67
MARET	29,21	14	79	26,25	16	108	23,94	17	95	28,5	6	35	15,67	18	46	13,05	20	24	18,22	18	52	38,6	5	120
APRIL	17,2	5	45	22,83	6	46	7,5	14	21	4	5	6	9,29	7	18	10,14	7	23	8,6	5	20	22,22	9	44
MEI	18,86	7	52	21	9	82	9,5	12	42	5,67	9	20	4,8	10	17	7,44	9	19	8,5	10	28	24,69	9	65
JUNI	-	-	-	-	-	-	-	-	-	-	-	-	-	-	-	-	-	2	1	2	-	-	-	
JULI	-	-	-	-	-	-	-	-	-	-	-	-	-	-	-	-	-	-	-	-	-	-	-	
AGUSTUS	-	-	-	-	-	-	-	-	-	-	-	-	-	-	-	5	1	5	6	1	6	-	-	
SEPTEMBER	-	-	-	-	-	-	-	-	-	-	-	-	3	1	3	-	-	-	-	-	-	-	-	
OKTOBER	12,5	2	13	17,5	2	30	-	-	-	13,5	2	19	11,33	3	26	5	1	5	18	1	18	12	2	14
NOPEMBER	17,17	6	47	8,8	5	16	6,8	5	15	10,8	5	20	5	1	5	3,75	4	7	10	6	30	11,5	12	25
DESEMBER	26,92	12	66	18	16	93	17,14	14	59	18,79	14	40	9,89	19	28	15,64	13	33	18	16	53	25,5	18	66
Rata-rata	14,07	5	33,83	12,05	7	38,75	7,99	B	26,25	11,16	4	20,17	7,73	8	21,42	8,69	7	18,40	10,17	B	29,17	16,92	5	38,42

Keterangan :

R_b = Curah Hujan Harian Rata-rata BulananR_{max} = Curah Hujan Harian Maksimum Bulanan

N = jumlah Hari Kejadian Hujan dalam 1 bulan.

Sumber : SEKSI PENGAIRAN BRANTAS, Tulungagung.

Tabel 2.3.d. DATA CURAH HUJAN BULANAN TAHUN 1973

Stasiun Bulan	Sta. BESUKI			Sta. KAMPAK			Sta. PULAU			Sta. WIDORO			Sta. JAMI			Sta. TUGU			Sta. BANTUNG			Sta. BENJINGAN		
	R _b	N	R _{max}																					
JANUARI	15,24	17	36	23,95	20	95	20,22	27	94	14,30	23	33	15	26	72	20,69	16	78	16,11	18	40	10	21	65
FEBRUARI	20,43	7	37	20,35	15	67	19,53	15	75	13,53	13	40	7,3	26	23	7,85	13	37	13,83	18	54	2,95	19	64
MARET	21,01	16	58	27,95	24	91	17,13	24	50	19,14	21	66	13,92	24	71	15,94	17	46	10,2	20	26	20,3	20	40
APRIL	19,91	11	39	22,95	20	135	26,82	17	70	12,42	19	61	10,22	23	53	20,56	16	69	13,26	19	38	19,19	21	35
MEI	20	21	58	6,76	17	30	11,46	24	34	9,35	23	30	15,32	19	40	22,59	22	89	18,29	17	91	24,11	18	32
JUNI	23,5	2	41	11,79	14	20	13,13	8	35	2,78	9	6	7,15	13	25	17,11	9	31	7,17	12	21	16,67	18	29
JULI	32	7	162	24,2	15	116	32,22	9	77	15,43	7	51	21,14	7	85	11,14	7	39	12,6	5	31	9,21	14	30
AGUSTUS	45,67	3	73	21,29	7	57	16,43	7	59	6,33	6	15	9,4	5	16	6,35	3	16	3,2	5	5	16,6	5	30
SEPTEMBER	27,71	14	62	29,83	18	97	23,38	16	75	20,79	14	85	24,21	14	100	20,7	10	74	14,64	14	149	24,67	15	110
OCTOBER	32,62	13	79	25,93	14	105	16,6	10	45	16,25	12	51	16,55	11	57	15	4	21	14,55	11	32	22,57	14	95
NOVEMBER	31	12	61	22	17	79	22	17	94	20,17	12	37	12,07	15	54	7,08	13	14	8,5	4	27	-	-	-
DESEMBER	25,44	9	42	13,5	12	32	10,38	16	27	16,08	12	50	13,69	13	61	13,13	6	32	15,64	11	51	-	-	-
Rata-rata	26,28	11	57,33	20,87	16	76,83	19,28	16	61,25	13,88	14	42,92	13,83	16	54,75	14,01	12	455	12,33	13				

Sumber : SEKSI PENGAIRAN BRANTAS, Tulungagung.

Keterangan :

R_b = Curah Hujan Harian Rata-rata BulananR_{max} = Curah Hujan Harian Maksimum Bulanan

N = Jumlah Hari Kejadian Hujan dalam 1 bulan.

Tabel 2.3.e. DATA CURAH HUJAN BULANAN TAHUN 1974

Bulan	Sta. BESUKY			Sta. KAMPAK			Sta. MILE			Sta. WIDORO			Sta. JATI			Sta. TUGU			Sta. ZAGONG			Sta. BENINGAN			
	R _b	R	N	R _b	N	R _{Max}	R _b	N	R _{Max}	R _b	N	R _{Max}	R _b	N	R _{Max}	R _b	N	R _{Max}	R _b	N	R _{Max}	R _b	N	R _{Max}	
JANUARI	20	14	42	20,7,05	13	60	15	17	46	16	15	45	12,8,1	16	31	13,9,3	15	67	11,24	17	40	-	-	-	-
FEBRUARI	20,18	17	68	24,8	20	50	21,09	22	55	15,13	23	76	15,5	20	46	25,27	22	76	20	17	42	20,82	22	54	
MARET	17,17	12	34	16	19	53	14,37	19	52	13,95	19	50	11,27	22	64	19,42	19	49	15,53	17	78	13,5	20	63	
APRIL	B7	2	132	21,3	10	54	15,92	12	26	10,57	7	30	15,7	10	35	25	11	69	18,36	11	59	16,11	19	75	
MEI	21,5	4	48	16,44	9	95	11,2	10	20	9,46	13	33	14,91	11	38	24,85	6	42	13	8	21	21	18	186	
JUNI	21	1	21	10	6	28	31,4	5	77	2,5	2	4	8	3	13	6,5	2	11	4,67	3	9	120	2	25	
JULI	-	-	-	5,67	3	11	7,5	4	13	-	-	-	2	4	5	5,5	2	7	3	7	3	7	31,25	4	52
AGUSTUS	16,38	6	58	-	18	4	32	15,11	9	59	16,67	9	85	11,33	9	74	7,4	7	13	5,43	7	15	13,25	4	24
SEPTEMBER	30	6	91	18,67	9	42	10,3	10	34	13,9	10	50	9,33	12	26	7,71	7	20	6,64	11	27	20,27	11	50	
OKEPOBER	27,62	13	70	30,06	17	143	15,05	19	61	34	13	116	26,63	16	93	18,73	11	84	22,5	12	85	23,85	20	85	
NOVEMBER	26	11	137	25	11	98	15,53	17	56	22,42	12	103	33,44	9	112	27,08	13	70	30,46	13	86	31,47	15	133	
DESEMBER	16,67	9	48	24,55	11	104	19,2	15	54	19,25	12	36	10,57	14	54	15,29	14	44	20,15	13	86	21,92	15	54	
Rata-rata	25,46	8	62,42	19,21	11	64	15,81	13	46,08	14,49	11	52,33	13,46	12	49,25	17,22	11	46	14,5	11	46,25	19,51	12	65,08	

Sumber : SEKSI PERGALIAN BRANTAS, Tulungagung.

Keterangan :

R_b = Curah Hujan Harian Rate-rates BulananR_{max} = Curah Hujan Harian Maksimum Bulanan

N = Jumlah Hari Kejadian Hujan dalam 1 bulan.

Tabel 2.3.f. DATA CURAH HUJAN BULANAN TAHUN 1975

Bulan	Sta. BESUKI			Sta. KAMPAK			Sta. PUKE			Sta. WIDORO			Sta. JATI			Sta. TUGU			Sta. BAGONG			Sta. SEMERANGAN		
	R _b	N	R _{max}	R _b	N	R _{max}																		
JANUARI	26,14	7	46	27,16	17	108	22,21	19	62	18,33	18	68	17,95	21	86	10,95	19	43	14,53	17	35	20,57	18	61
FEBRUARI	20,21	14	56	20,5	16	61	17,6	20	53	19,53	19	84	22,26	19	96	14,4	20	49	19,8	15	50	23,31	13	55
MARET	6,31	16	45	18,75	24	59	25,38	25	95	17,76	21	64	18,68	22	65	16,39	18	59	15,93	21	38	18	13	65
APRIL	23,8	5	53	8,58	12	29	16,46	13	40	16	15	74	8,53	19	35	8,2	15	23	14,81	16	55	26,67	12	85
MEI	17,54	13	60	25,64	14	84	21,56	18	65	11,56	18	98	12,81	16	39	9,21	19	33	9,88	17	52	34,73	11	95
JUNI	-	-	-	23	1	23	-	-	-	-	-	-	1	1	1	-	-	-	-	-	-	-	-	-
JULI	-	-	-	3,2	5	5	13	2	19	4	7	4	3	7	5,33	3	8	5,6	5	7	12	3	14	
AGUSTUS	13	8	43	10,7	10	47	11,6	5	25	4,89	9	9	4,38	8	10	3	1	3	3,49	9	5	7,25	6	11
SEPTEMBER	34,6	10	48	21,28	18	146	17,94	16	83	23,23	13	126	23,5	12	119	33,62	13	144	17,36	11	84	16,44	16	63
OKTOBER	40,53	19	158	26,71	24	122	35,53	17	94	26,5	14	92	16,59	17	47	34	17	80	20,5	14	60	25,65	17	61
NOPEMBER	24,7	10	116	19	9	58	14,92	12	27	11,21	14	46	19,35	9	49	29,72	18	93	10,67	15	41	24,33	15	78
DESEMBER	28,75	8	85	12,5	20	68	22,05	21	61	15,24	17	65	15,83	12	60	22,75	16	117	18,46	13	70	26,79	14	78
Rata-rata	19,64	9	59,17	18,17	14	67,5	18,16	14	52	14,02	14	61,25	13,66	13	51,33	15,8	13	54,33	12,25	13	41,42	19,40	12	56,35

Keterangan :

R_b = Curah Hujan Harian Rata-rata BulananR_{max} = Curah Hujan Harian Maksimum Bulanan

N = Jumlah Hari Kejadian Hujan dalam 1 bulan.

Sumber : SEKSI PENGETAHUAN BRANTAS, TULUNGAGUNG.

Tabel 2.3.5. DATA CURAH HUJAN BULANAN TAHUN 1976

Bulan	Sta. BEZUKI			Sta. KAMPAK			Sta. PILE			Sta. WIDORO			Sta. JATI			Sta. TUGU			Sta. BAGONG			Sta. BENINGAN		
	R _b	N	R _{max}																					
JANUARI	25,25	16	56	17,94	17	74	17,24	25	73	16,27	22	51	13,77	22	40	19,25	20	62	14,63	16	34	20,83	12	49
FEBRUARI	24	6	53	9,24	17	39	18,6	10	45	10,15	13	32	13	15	43	8,53	19	48	13,69	13	46	26,36	11	115
MARET	29,36	14	102	19,36	14	71	21,18	17	65	13,8	20	49	15,89	16	48	16,79	19	83	12,44	18	30	18,94	16	44
APRIL	11	2	18	9,4	10	28	10,25	4	24	10,67	6	29	15,6	10	39	15,29	7	55	9,25	4	18	16,17	6	38
MAY	-	-	-	6	1	6	-	-	-	-	-	-	-	-	-	-	-	-	-	-	-	5	1	5
JUNI	9	1	9	-	-	-	-	-	-	1,5	2	2	-	-	-	-	-	-	-	-	-	2	3	4
JULI	-	-	-	-	-	-	5	1	5	-	-	-	-	-	-	-	-	-	-	-	-	6	1	6
AGUSTUS	3	1	3	4	2	4	3	2	3	1	1	1	-	-	-	-	-	-	-	-	-	1,5	2	2
SEPTEMBER	31	2	42	10,67	3	22	20	4	32	2	3	4,5	2	5	-	-	-	-	-	-	-	3,5	2	4
OCTOBER	32	4	67	25,13	8	99	11,6	15	47	0,63	8	23	11,56	9	90	12	8	57	5,77	13	15	-	-	-
NOVEMBER	24,64	11	50	10,44	16	99	35,80	16	80	11,75	16	41	13,75	12	90	24,5	16	74	12,57	14	35	57,09	11	124
DESEMBER	46,33	3	62	9	3	11	22,6	5	69	7,33	9	21	8,29	7	20	15	5	43	12,57	7	27	20,88	8	40
Rata-rata	19,63	5	38,5	10,10	8	37,75	13,78	8	38,56	6,93	8	21	8,53	B	31,25	9,28	8	35,16	7,33	6	17,92	15,82	7	41,67

Keterangan :

R_b = Curah Hujan Harian Rata-rata BulananR_{max} = Curah Hujan Harian Maksimum Bulanan

N = Jumlah Hasil Ketadian Hujan dalam 1 bulan

Sumber : SEKSI PENGETAHUAN BRANTAS, Tulungagung.

Tabel 2.3.b. DATA CURAH HUJAN BULANAN TAHUN 1977

Stasiun Bulan	Sta. DESUKI			Sta. KAMPAK			Sta. PULE			Sta. MIDORO			Sta. JATI			Sta. TUGU			Sta. BAGONG			Sto. BRENGGAN		
	R _b	N	R _{max}																					
JANUARI	22,0	10	51	23,27	11	47	38,4	15	90	13	18	60	16,25	16	69	13,81	16	47	15,41	17	43	23,25	8	45
FEBRUARI	16,25	12	80	14,76	17	51	52,83	18	32	14,39	18	34	48,41	17	85	13,61	18	32	14,64	14	47	17,1	10	50
MARET	18,23	13	64	19,93	14	60	15,46	13	35	13,95	19	65	16,67	21	47	19,45	20	66	14	20	37	17,93	18	64
APRIL	12,25	4	20	17,5	12	60	21,7	10	67	7,29	14	42	8,2	10	25	22,67	6	65	16,57	7	40	28,15	13	105
MEI	19,5	2	35	6,6	5	21	14,25	4	37	11	15	11	1,5	4	3	-	-	-	2	1	2	13	4	25
JUNI	20	2	36	13,57	7	61	31,86	7	90	9,2	5	32	18	6	95	14,35	3	36	19,67	6	51	24,5	6	83
JULI	-	-	-	5	1	5	-	-	-	3	1	3	6	1	6	-	-	-	-	-	-	6	2	11
AGUSTUS	-	-	-	2	2	2	-	-	-	3	1	3	-	-	-	-	-	-	-	-	-	-	-	-
SEPTEMBER	24	1	24	7,33	3	11	-	-	-	4,2	5	8	1,75	4	3	-	-	-	-	-	-	2,33	3	4
OCTOBER	13	2	16	2,67	3	4	8	1	8	5	2	9	1	1	1	-	-	-	-	-	-	2,67	3	4
NOVEMBER	8,33	3	16	-	-	-	3,23	3	13	16,33	6	83	6,71	7	20	16,33	3	29	5	5	5	33	3	64
DESEMBER	26,30	13	63	-	-	-	19,72	18	62	-	-	-	17,05	20	57	-	-	-	-	-	-	"	-	-
Rata-rata	15,08	5	33,75	9,39	6	26,83	14,46	8	37,08	8,11	7	26,92	9,30	9	34,25	B,35	6	22,92	7,55	7	20,25	16,49	6	41,17

Keterangan :

R_b = Curah Hujan Harian Rata-rata BulananR_{max} = Curah Hujan Harian Maksimum Bulanan

N = Jumlah Hari Ketadian Hujan dalam 1 bulan

Sumber : SEKSI PENGAIRAN BRANTAS, TULUNGAGUNG.

R_b = Gurjehan Hujehan Herjehan Rejejhahen Hujehem delahem 1 bulanan
 R_{max} = Gurjehan Hujehan Herjehan Rejejhahen Hujehem Bulanan
 N = Jumlahan Herjehan Rejejhahen Hujehem delahem 1 bulanan

Number : SEKSI PEMERINTAH BARTAS, Tuluungagung.

Keterangam :

Bulan	Grafik																							
	R _b	N	R _{max}	R _b	k	R _{max}	R _b	R _{max}	R _b	R _{max}	R _b	R _{max}												
JANUARI	20	14	54	33,25	12	96	24,05	22	65	19,26	19	84	20,55	20	50	11	19	35	15,19	16	49	11	20	60
FEBRUARI	30	6	43	11,38	13	47	10,27	15	35	9,53	19	30	11,17	18	26	16	13	56	10,53	17	36	8,79	14	34
MARZ	32,36	14	91	28	17	122	20,69	19	93	16,19	16	57	17,5	18	54	16,62	21	46	16	17	60	12,45	20	49
APRIL	19,43	7	54	18,38	9	52	24,78	9	90	13,7	10	26	24,1	10	40	13,25	8	23	10	11	30	14	9	30
MAYI	30,21	14	94	34,11	19	157	22,47	17	47	18,61	18	77	22,72	18	72	24,28	18	64	20,76	21	91	26,72	25	100
JULI	17,4	10	42	25,76	17	86	17,41	22	96	14,33	23	70	20,67	15	110	25,33	15	140	21,8	15	90	16,6	15	46
AGUSTUS	15,75	8	32	14,57	14	45	13,23	13	38	11	12	49	10,73	11	28	13,13	8	49	12,17	12	52	-	-	-
SENTRAL	24,59	12	63	29	12	220	12,85	13	41	10,76	17	45	10,41	17	47	15,1	10	54	10,19	16	62	30,75	8	69
OKTOBER	22,5	4	52	18,5	10	48	11,1	10	62	17,93	14	92	11,33	9	55	15,5	4	36	7,6	10	19	18,29	17	62
NOVEMBER	27,25	4	52	34,5	4	86	14,31	13	30	15,17	12	48	19,17	7	39	11,09	11	39	20,6	15	60	-	-	-
DISEMBER	22,67	6	57	23,82	11	61	15,33	18	50	12,94	17	47	11,33	11	22	11,91	12	43	24,05	19	125	-	-	-
R _b ba-tata	23,85	9	56,67	24,54	13	85,25	17,20	16	59,33	14,32	16	60,17	16,21	16	52,42	16,32	12	53,08	13,56	15	51	16,37	15	55,42

Table 2.3.2. DATA GURJAH HUJAH BULANAN TAHUN 1978

Table 2-3-3. DATA CUPRA SUDAN BULGARIA TAHUN 1979

Stadion	Sta. DESOKI			Sta. KAHPAK			Sta. JATI			Sta. TUGU			Sta. WIDONO			Sta. TUGU			Sta. BAGONG			Sta. GENDONGAN		
	R _b	N	R _{max}	R _b	H	R _{max}	R _b	N	R _{max}	R _b	N	R _{max}	R _b	H	R _{max}									
JARUMAH	23,34	13	44	27,77	33	52	16,27	22	60	16,10	21	41	12,52	21	34	12,48	23	65	18,06	16	66	32,5	10	75
PEBARUHATI	30,63	8	78	23,36	14	53	21,90	21	85	21,75	16	89	13,18	22	60	15,61	18	33	17,29	17	75	24,61	13	66
MARET	34,15	13	23	15,59	17	39	16,96	28	60	14,57	21	65	14,04	23	34	15,24	21	36	17,36	22	64	21,25	16	75
APRIL	9	8	15	21,7	10	75	14,17	18	63	12,38	16	39	14,57	14	42	15,53	15	47	13,29	14	28	19,13	23	70
MAYI	32	7	79	38,57	7	131	8,36	31	28	13,5	8	47	9,41	9	36	8,86	7	42	8,29	7	38	29,09	13	140
JULI	8,33	3	10	11	3	20	6,8	5	15	4,83	6	11	5,67	3	11	2,5	2	3	4,75	4	6	5	8	23
AUGUSTUS	37,67	3	43	6,5	6	13	4,9	5	15	5,5	6	9	4,8	5	10	5,6	5	10	8,6	5	14	10,57	7	20
SEPTEMBER	16,83	6	30	8,29	7	25	7,8	5	15	5,14	7	14	6,4	5	19	3,75	4	5	5,67	3	11	9,5	6	22
OCTOBER	16,25	8	46	17	2	19	17,75	4	53	6,75	8	15	8,67	6	19	10	4	15	7	42	19,2	3	47	
NOVEMBER	37,67	3	43	6,5	6	13	4,9	5	15	5,5	6	9	4,8	5	10	5,6	5	10	8,6	5	14	10,57	7	20
DESEMBER	16,46	13	56	19,92	12	65	17,57	23	107	11,06	18	74	10,89	19	35	14,4	2	45	10,52	21	46	22,7	20	60
KETERANGAN :	R _b = Gurah Ngaben Hartan Hatas-hatas Bulungan R _{max} = Gurah Ngaben Hartan Makasimum Bulungan N = Gurah Ngaben Hartan Hatas-hatas Bulungan H _b = Gurah Ngaben Hartan Hatas-hatas Bulungan																							



Tabel 2.3.k. DATA CURAH HUJAN BULANAN TAHUN 1980

Bulan	Stasiun			Sta. BESSUTI			Sta. KAMPAK			Sta. PULE			Sta. WIDORO			Sta. JATI			Sta. TUJU			Sta. BAGONG			Sta. SENTUNGGAN		
	R _b	N	R _{max}	R _b	N	R _{max}	R _b	N	R _{max}	R _b	N	R _{max}															
JANUARI	28,5	14	56	17,17	13	48	11,52	21	37	14,22	10	39	12,62	21	30	15,89	18	51	16,06	17	77	16,43	14	55			
FEBRUARI	21,64	11	60	18,6	15	58	16,31	13	60	15	21	50	20,15	13	44	16,81	16	61	17,38	21	47	20,15	20	59			
MARET	16,6	5	25	9,67	6	22	4,86	8	12	12,2	10	32	21,43	7	51	9,42	13,13	6	23	14,54	13	30	-	-			
APRIL	8	6	15	19,11	9	46	15,67	12	38	11,25	12	41	12,8	10	26	13,38	8	25	11,83	12	43	14,96	24	56			
MIZZ	-	-	-	3,5	2	13	24	3	68	3	1	3	3	1	3	-	-	-	-	-	-	5,29	7	10			
JUNI	-	-	-	4	2	5	8	1	8	2,5	2	3	-	-	-	-	-	-	2	1	2	23	1	23			
JULI	9,33	3	13	11	3	15	7,67	3	10	12	2	17	13	1	13	10	1	10	11	2	13	7,33	3	10			
AUGUSTUS	18,67	3	36	18,83	12	99	8,91	11	34	13,2	5	49	17,8	5	65	14,5	4	37	11	4	22	-	4	5	9		
SEPTEMBER	6	1	6	15	1	15	3,33	3	6	3	2	5	5	1	5	-	-	-	2	3	-	-	-	-			
OCTOBER	34,63	6	98	21,35	6	48	10	6	58	7,86	7	22	6,33	6	15	11	3	21	5	8	23	-	-	-			
KOPIKBEB	35,5	10	81	26,82	17	105	16,71	17	91	10,53	17	39	13,2	15	39	15	11	30	9,67	15	26	23,47	19	90			
DESEMBER	26,14	7	54	26,4	10	82	17,92	13	92	16,29	14	53	12,29	14	42	-	-	-	-	-	-	-	-	-			
Rata-rata	17,10	6	37,83	16,37	8	46,33	11,91	9	41,33	10,09	9	29,42	11,47	8	27,75	9,21	6	23,17	8,71	8	23,25	9,96	9	28,5			

Keterangan :

R_b = Curah Hujan Hari-hari Rata-rata BulananR_{max} = Curah Hujan Hari-hari Maksimum Bulanan

N = Jumlah Hari Kejadian Hujan dalam 1 bulan.

Sumber : SEKSI PENGETAHUAN BRANTAS, TULUNGAGUNG.

Tabel 2.3.1. DATA CURAH HUJAN BULANAN TAHUN 1981

Stasiun Bulan	Sta. BEUKI			Sta. KAMPAK			Sta. TULE			Sta. WIDORDO			Sta. JATI			Sta. TEGU			Sta. BAGONG			Sta. SEMUNGAK		
	R _b	N	R _{max}	R _b	N	R _{max}	R _b	N	R _{max}	R _b	N	R _{max}	R _b	N	R _{max}	R _b	N	R _{max}	R _b	N	R _{max}	R _b	N	R _{max}
JANUARI	13,08	13	33	16,17	13	42	11,69	19	34	10,62	21	54	14,06	17	47	20,75	12	83	15,75	16	39	17,19	16	45
FEBRUARI	19,46	13	58	20,73	15	62	16,94	16	55	12,55	20	36	17,22	18	59	15,22	16	57	16,06	16	64	13,69	16	41
MARET	7,71	7	14	18,73	15	65	14	20	45	10,93	14	32	16,5	14	46	22,11	9	40	16,62	13	79	27,16	19	04
APRIL	23,8	5	54	18,44	9	36	21,7	10	51	13,1	10	49	15,56	9	41	17,56	9	66	12,5	836	29,75	12	11	
MEI	14	4	33	10	9	26	18,08	12	85	12,5	8	23	10,9	10	31	17,86	7	40	12,25	12	30	28,91	11	112
JUNI	11,8	10	34	23,63	16	67	12,67	12	39	8,7	10	29	12,78	9	40	9,4	5	25	11,83	12	62	19,67	15	108
JULI	28,5	16	96	54,43	21	243	30,29	17	115	28,76	17	113	17,63	19	100	26,5	14	71	17,6	15	80	34,47	15	152
AGUSTUS	10,76	9	21	8,68	16	22	11,43	7	25	4,39	13	9	4,57	7	6	5	3	3	8	518	10,63	8	30	
SEPTEMBER	23,36	8	50	21,5	6	71	-	21	7	67	8,55	11	37	12,71	7	49	30,25	4	66	26,83	6,56	11,86	7	35
OCTOBER	13,8	5	38	5,33	12	13	16,33	9	50	4	11	13	8,9	10	20	11	9	33	12,22	9	22	17,73	11	38
NOVEMBER	23,29	14	48	23,55	11	103	20,6	20	80	12,65	17	53	15,17	6	26	31,56	9	68	15,71	14	53	18,22	18	51
DESEMBER	11,7	10	26	27,33	6	49	12,53	19	97	8,5	16	39	15,18	11	54	17,47	15	79	17,63	852	14	15	36	
Rata-rata	16,77	10	42,25	20,73	13	66,58	17,29	14	61,83	11,26	14	40,58	13,43	11	43,42	18,72	10	53	15,25	11,49,25	20,27	14	71,92	

Keterangan :

R_b = Curah Hujan Harian Rata-rata BulananR_{max} = Curah Hujan Harian Maksimum Bulanan

N = Jumlah Hari Kejadian Hujan dalam 1 bulan.

Sumber : SEKSI PERDAIHAN BRANTAS, Tulungagung.

Tabel 2.3.iii. DATA CURAH HUJAN BULANAN TAHUN 1982

Bulan	Sta. BOCSOKI			Sta. KAMPAK			Sta. TULE			Sta. WIDORD			Sta. JAMI			Sta. TUGU			Sta. BAGONG			Sta. BENJONGAN		
	R _b	H	R _b Max	R _b	H	R _b Max	R _b	H	R _b Max	R _b	H	R _b Max	R _b	H	R _b Max	R _b	H	R _b Max	R _b	H	R _b Max	R _b	H	R _b Max
JANUARI	15,92	12,46	17,2	10,65	13,86	22,50	13,89	19,46	13,35	17,32	17,06	17,54	14,5	18,36	16,73	15,35								
FEBRUARI	16,75	16,45	19,86	14,51	26,27	15,38	31,87	23,54	21,59	17,69	16,74	19,65	15	17,63	62,25	8,136								
MARET	18,22	9,26	23,18	11,83	26,89	9,56	13,5	14,65	11,15	13,44	16,24	14,35	23,11	9,61	19,62	3,41								
APRIL	11,57	7,24	12,75	6,63	29,38	8,56	6,42	12,18	13,36	11,43	20,5	8,67	23,75	8,54	24	13,72								
MIZZ	30	1,30	3,75	4,6	11	1,11	9	2,12	5	3,11	6	1,6	2,5	,2	4	3,5	4,6							
JUNI	6	3,8	24,25	4,66	3,83	6,6	19	3,45	8,75	4,26	52	2,95	23	1,23	36,5	2,69								
JULI	-	-	-	-	-	-	-	-	-	-	-	-	-	-	-	-	-	-	-	-	-	-	-	
AGUSTUS	-	-	-	-	-	-	-	-	2,5	2,4	-	-	-	-	-	-	-	-	-	-	-	-	-	
SEPTEMBER	-	-	-	-	-	-	-	-	-	-	-	-	-	-	-	-	-	-	-	-	-	-	-	
OKTOBER	7	2,8	-	-	-	-	-	-	-	-	-	-	-	-	-	-	-	-	-	-	-	-	-	
NOVEMBER	6	1,6	-	-	14	2,3	3,6	1,36	3	1,3	-	-	-	2	1	2	-	-	-	-	-	-	-	
DESEMBER	19,18	11,77	21,47	17,74	17,35	17,18	16,56	18,70	18,17	18,53	21,69	13,95	16,90	21,134	25,1	20,89								
Rata-rata	10,30	5,22,5	10,20	6	34,17	11,69	7	7,86	10,73	8,29,17	7,86	7	23,42	12,77	6	34,75	10,36	6	31,42	15,89	6	37,42		

Keterangan :

R_b = Curah Hujan Hartan Rata-rata BulananR_b Max = Curah Hujan Hartan Maksimum Bulanan

H = Jumlah Hari Kejadian Hujan dalam 1 bulan.

Suruhan : SESSI FENGATAN BRANTAS, TULUNGEGUNG.

Tabel 2.3.n. DATA CURAH HUJAN BULANAN TAHUN 1963

II - 19

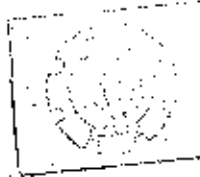
Stasiun Bulan	Sta. BEUSUKI			Sta. KAMPAK			Sta. PULE			Sta. WIDORO			Sta. JATI			Sta. MULU			Sta. BAGONG			Sta. ENDUNGAN		
	R _b	N	R _{max}	R _b	N	R _{max}	R _b	N	R _{max}	R _b	N	R _{max}												
JANUARI	24,08	13	47	28,57	14	68	14,90	21	95	19,59	17	54	21,13	15	58	15,4	15	35	16,07	15	40	22,35	20	51
FEBRUARI	19,16	11	70	23,33	12	48	24,67	15	50	17,69	18	27	15,33	15	68	13,05	19	40	17,8	15	79	18,88	24	60
MARET	14,56	9	62	21,27	11	41	17,56	18	75	13,75	16	25	9,69	16	31	16,29	14	69	11,65	17	44	20,88	17	50
APRIL	28,44	9	59	14,25	6	29	14,4	15	45	10,93	14	47	12,64	14	56	13,93	14	54	10,47	17	61	19	16	111
MEI	21,42	12	78	22,15	20	90	16	19	40	15,35	23	52	16,57	21	77	19,91	22	69	20,89	18	70	20,88	24	69
JUNI	16,5	2	24	17,33	9	59	11	9	33	4,38	6	9	7,6	5	20	18,5	230	16	38	56	1	56		
JULI	-	-	-	5,75	4	11	6	2	9	3,75	4	6	3,2	5	5	-	-	8,5	211	9,4	5	26		
AGUSTUS	-	-	-	-	-	-	-	-	-	-	-	-	-	-	-	-	-	-	-	-	-	-	-	
SEPTEMBER	-	-	-	25	1	25	4	1	4	2,67	3	5	1,75	4	2	-	-	-	1	1	6	2	7	
OCTOBER	22,56	9	67	27,33	12	126	16,6	10	33	10,69	16	53	16,75	12	72	12,8	15	50	15,79	14	70	23,36	14	76
NOVEMBER	16,89	9	41	9,92	13	28	11,29	14	26	5,53	15	18	11,85	13	26	19,82	17	65	18	14	56	21,26	19	76
DESEMBER	20,89	9	56	11,55	11	56	7,1	19	24	13,94	16	54	26,91	11	83	23,67	9	49	18,15	13	57	-	-	-
Rata-rata	15,38	7	42	17,21	10	48,42	11,96	12	35,33	9,04	13	29,77	11,95	11	41,67	12,36	11	38,42	12,93	11	45,58	18,83	12	48,5

Keterangan :

R_b = Curah Hujan Hari-hari Rata-rata BulananR_{max} = Curah Hujan Hari-hari Maksimum Bulanan

N = Jumlah Hari Kejadian Hujan dalam 1 bulan.

Sumber : SERI PENGAMatan BRANTAS, Tulungagung.



2.3. Data Sedimen.

Data sedimen diperoleh dari pengamatan angkutan sedimen di stasiun pencatat sedimen Tanggul Wela han selama 1 tahun dari bulan Nopember 1981 sampai dengan bulan Oktober 1982.

Hasil pengamatan angkutan sedimen yang tersedia, meliputi :

- Angkutan sedimen layang (suspended load) berupa debit aliran sedimen beserta debit aliran air yang mengangkutnya (Tabel 2.4).
- Angkutan sedimen dasar (bed load) berupa distribusi dari karakteristik butiran sediment setelah dilakukan analisa pada contoh sedimen dasar, serta data kecepatan aliran dan kondisi hidrologis penampang saluran dimana contoh sedimen dasar diambil (Gambar 2.2 dan Tabel 2.5) Dimana diperoleh $D_{90} = 0,7 \text{ mm}$, $D_{50} = 0,25 \text{ mm}$ dan $D_m = 0,25 \text{ mm}$

2.4. Saluran Parit Raya.

Saluran ini merupakan aaluran pematusan banjir untuk daerah Trenggalek dan daerah Tulungagung sebelah Barat Daya.

Hulu saluran pematusan ini dimulai dari pelepasan pada pintu air Bendo dan bermuara di saluran Parit Agung di daerah Kendal.

Data-data teknis saluran Parit Raya :

- Panjang total adalah 15,5 km
- Lebar dasar ber variasi dari 26 m sampai dengan 41 m

- Lebar atas bervariasi dari 50 m sampai dengan 76 m
- Kemiringan dasar bervariasi dari 1 : 2600 sampai dengan 1 : 1040.
- Kemiringan talud bervariasi dari 1 : 1,7 sampai dengan 1 : 1,35.
- Kapasitas bervariasi dari $200 \text{ m}^3/\text{det}$. sampai dengan $840 \text{ m}^3/\text{detik}$.

Secara grafis data-data teknis diatas ditunjukkan pada gambar 2.3, sehingga dapat dihitung kapasitas tampungan Parit Raya seperti disajikan pada tabel 2.6 dan gambar 2.4.

2.5. Pintu Air Bendo.

Pintu ini merupakan pengatur debit kali Nga-sinan yang dialirkan ke Parit Raya dan terletak di sebelah barat kota kecamatan Bendo, lebih kurang 500 m disebelah utara jembatan Bendo dimana Parit Raya melintasi jalan raya Trenggalek - Tulungagung.

Data-data teknis :

Pintu.

- Type : pintu tunggal dengan roda tetap
- Ukuran : 4 m x 2,5 m
- Jumlah : 3 buah
- Sistem penggerak : motor listrik kapasitas 2 kw

Bendung.

- Type : bendung beton dengan pintu bala.
- Pilar : 2 buah
- Pondasi : tiang pancang beton
- Debit rencana : $650 \text{ m}^3/\text{detik}$
- Elevasi puncak : + 85,10 m
- Elevasi ambang : + 83,10 m

2.6. Bangunan Terjun Kendal.

Bangunan terjun di Parit Raya terletak di daerah Kendal lebih kurang 1,2 km disebelah hulu dari pertemuan Parit Raya dengan Parit Agung.

Bangunan ini dibuat dengan tujuan untuk menjaga agar tidak terjadi penggerusan disekitar bagian hulu dari pertemuan Parit Raya dengan Parit Agung .

Data-data teknis :

- Panjang : 3,12 m
- Tinggi : 2,00 m
- Elevasi hulu : 73,30 m
- Elevasi hilir : 71,30 m
- Kemiringan : 1 : 1,07

2.7. Saluran Parit Agung.

Saluran ini merupakan saluran pematusan banjir untuk daerah kota Tulungagung dan daerah Tulungagung-selatan.

Hulu saluran ini dimulai dari pelepasan pada pintu -

air Tulungagung sampai dengan pintu Terowongan Tulungagung selatan.

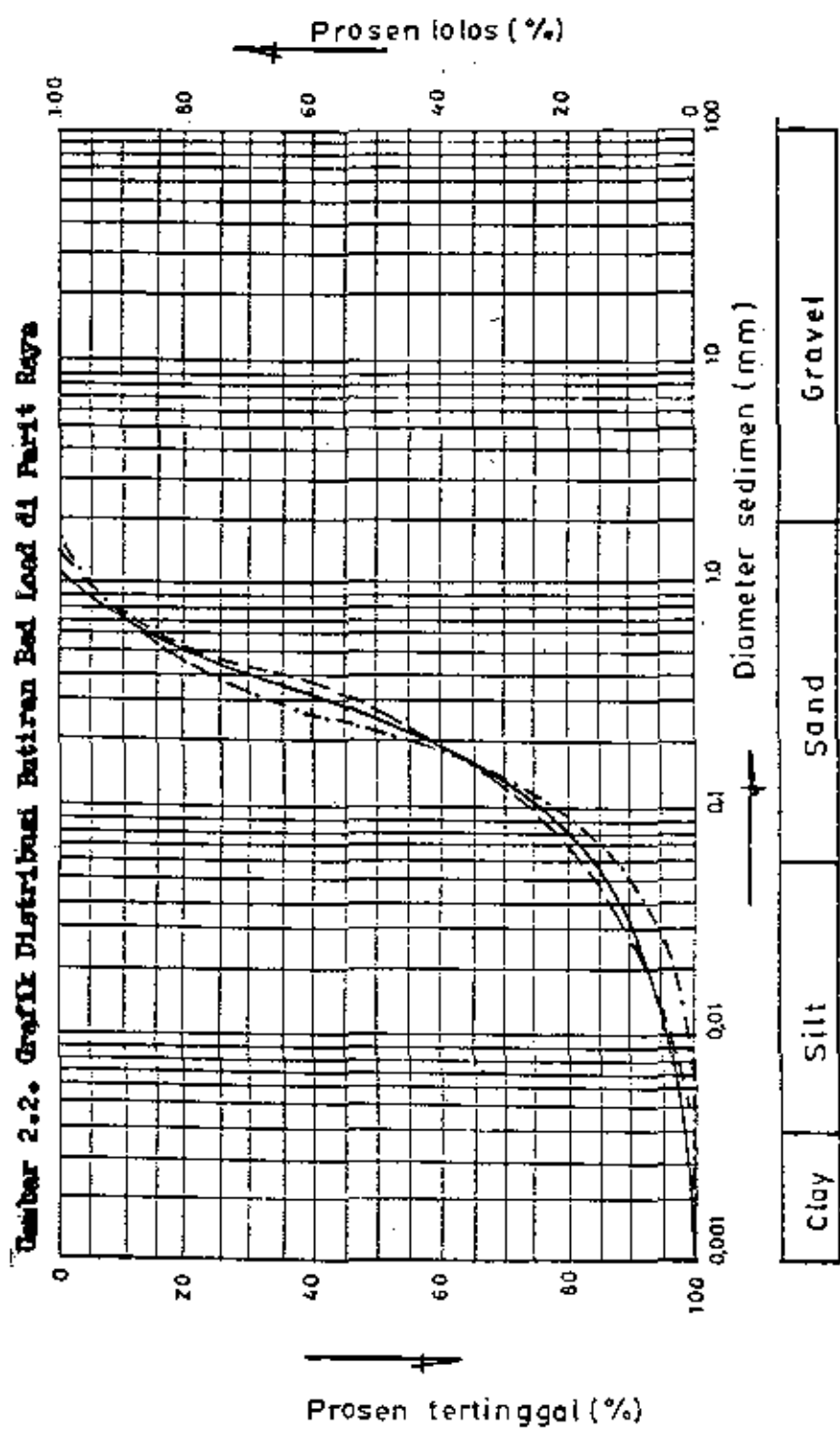
Pada jarak lebih kurang 2 km disebelah hulu dari pintu terowongan terletak muara Parit Raya.

Sehingga bagian hilir dari pertemuan tersebut, saluran Parit Agung menampung debit dari bagian hulu Parit Agung maupun debit dari Parit Raya.

Oleh karena itu kapasitas saluran Parit Agung bagian hilir sepanjang 2 km tersebut harus mampu menampung debit banjir daerah Tulungagung dan daerah Trenggalek yang dialirkan melalui Parit Raya dan Parit Agung untuk dibuang ke lautan Indonesia melalui Terowongan Tulungagung selatan I dan II.

Data-data teknis :

- Panjang total 24,2 km
- Lebar dasar bervariasi dari 10 sampai dengan 16 m
- Lebar atas bervariasi dari 19 m sampai dengan 70 m
- Kemiringan dasar bervariasi dari 1 : 7500 sampai dengan 1 : 827.
- Kemiringan tebing bervariasi dari 1 : 3,5 sampai dengan 1 : 2
- Kapasitas bervariasi dari $200 \text{ m}^3/\text{detik}$ sampai dengan $1040 \text{ m}^3/\text{detik}$.



Sumber : Projek Brantas, Malang

Tabel 2.4. Data Pengamatan Angkutan Suspended Load

Tgl.-Bulan-Tahun Pengamatan	Debit Air	Konsentrasi	Debit Sedimen
	QW (M ³ /det)	Cs (Kg/m ³)	Qs (ton/hari)
5-10-1982	8,255	0,108	76,709
10-10-1982	5,571	0,440	211,787
19-10-1982	5,332	0,07	32,248
26-10-1982	3,911	0,061	20,613
2-11-1982	5,978	0,651	336,241
14-11-1982	0,918	0,101	8,011
21-11-1982	5,999	0,405	209,917
28-11-1982	11,245	0,405	343,485
7-12-1982	6,113	0,301	158,977
14-12-1982	1,391	0,274	32,930
21-12-1982	3,988	0,495	163,668
28-12-1982	14,742	0,936	1192,191
5-1-1983	10,045	1,411	1224,59
10-1-1983	41,8	1,305	4713,034
13-1-1983	21,017	1,713	3110,583
29-1-1983	15,293	1,953	2580,529
3-2-1983	49,956	1,671	7212,368
8-2-1983	28,048	1,705	4131,807
17-2-1983	15,027	1,832	2378,545
26-2-1983	20,735	1,611	2886,113
2-3-1983	20,711	1,433	2564,254
9-3-1983	41,651	0,927	3515,878
17-3-1983	73,6	1,025	6518,016
29-3-1983	50,37	1,133	4930,78
6-4-1983	16,5	0,127	181,051
13-4-1983	12,66	0,241	263,613
20-4-1983	9,006	0,907	705,753
27-4-1983	9,917	0,171	146,528

Tgl.-Bulan-Tahun Pengamatan	Debit Air Qw (m ³ /det)	Konsentrasi Cs (Kg/m ³)	Debit Sedimen Qs (ton/hari)
4-5-1983	14,233	0,116	142,489
11-5-1983	6,650	0,250	143,646
18-5-1983	35,606	0,047	3320,947
25-5-1983	8,907	0,084	64,643
4-6-1983	2,514	0,08	17,377
11-6-1983	5,936	0,037	18,976
15-6-1983	106,06	3,18	29140,197
22-6-1983	9,718	0,754	633,085
29-6-1983	6,174	0,218	158,963
2-7-1983	162,514	1,3	18253,572
6-7-1983	39,886	0,402	1385,352
15-7-1983	293,320	1,119	28358,649
20-7-1983	40,447	0,321	1121,773
27-7-1983	11,592	0,114	114,176
12-8-1983	34,128	0,984	2901,481
20-8-1983	14,54	0,229	287,683
24-8-1983	4,072	0,165	58,05
31-8-1983	2,278	0,044	8,660
7-9-1983	0,855	0,045	3,324
14-9-1983	0,259	0,122	2,203
21-9-1983	0,196	0,023	0,398
28-9-1983	51,693	0,093	415,372

Sumber : PROYEK BRANTAS, Malang.

Tabel 2.5. Data Pengamatan Angkutan Bed Load

No.	Tgl., Bulan, Tahun Pengamatan	Luas Penampang Basah A (m ²)	Keliling Basah P (m ²)	Kecepatan Aliran V (m/det)
1	4-6-1982	8,307	17,751	0,423
2	11-6-1982	12,961	13,445	0,458
3	15-6-1982	75,007	18,188	1,414
4	22-6-1982	16,527	13,796	0,588
5	6-7-1982	41,765	18,472	0,955
6	15-7-1982	127,325	21,066	1,994
7	20-7-1982	45,548	16,215	0,888
8	27-7-1982	18,459	13,984	0,628
9	12-8-1982	34,683	15,380	0,984
10	20-8-1982	23,043	14,402	0,631
11	31-8-1982	4,716	12,577	0,483
12	7-9-1982	2,143	12,245	0,399
13	14-9-1982	1,148	12,088	0,182
14	21-9-1982	1,139	12,123	0,172
15	28-9-1982	49,186	16,478	1,051
16	5-10-1982	21,705	14,279	0,738
17	12-10-1982	10,591	13,206	0,526
18	19-10-1982	10,004	13,146	0,533

Lebar dasar	B = 12 m
Kemiringan talud	$\alpha = 1,5$
Kemiringan dasar	I = 0,0006
Massa jenis sediment	$\rho_s = 2601,5 \text{ Kg/m}^3$
Massa jenis air	$\rho_w = 1000 \text{ Kg/m}^3$
Tekanan relatif volume (porositas) ϵ	= 0,4

Sumber : Proyek Brantes, Malang.

BAB III
ANALISA HIDROLOGI

3.1. U m u n

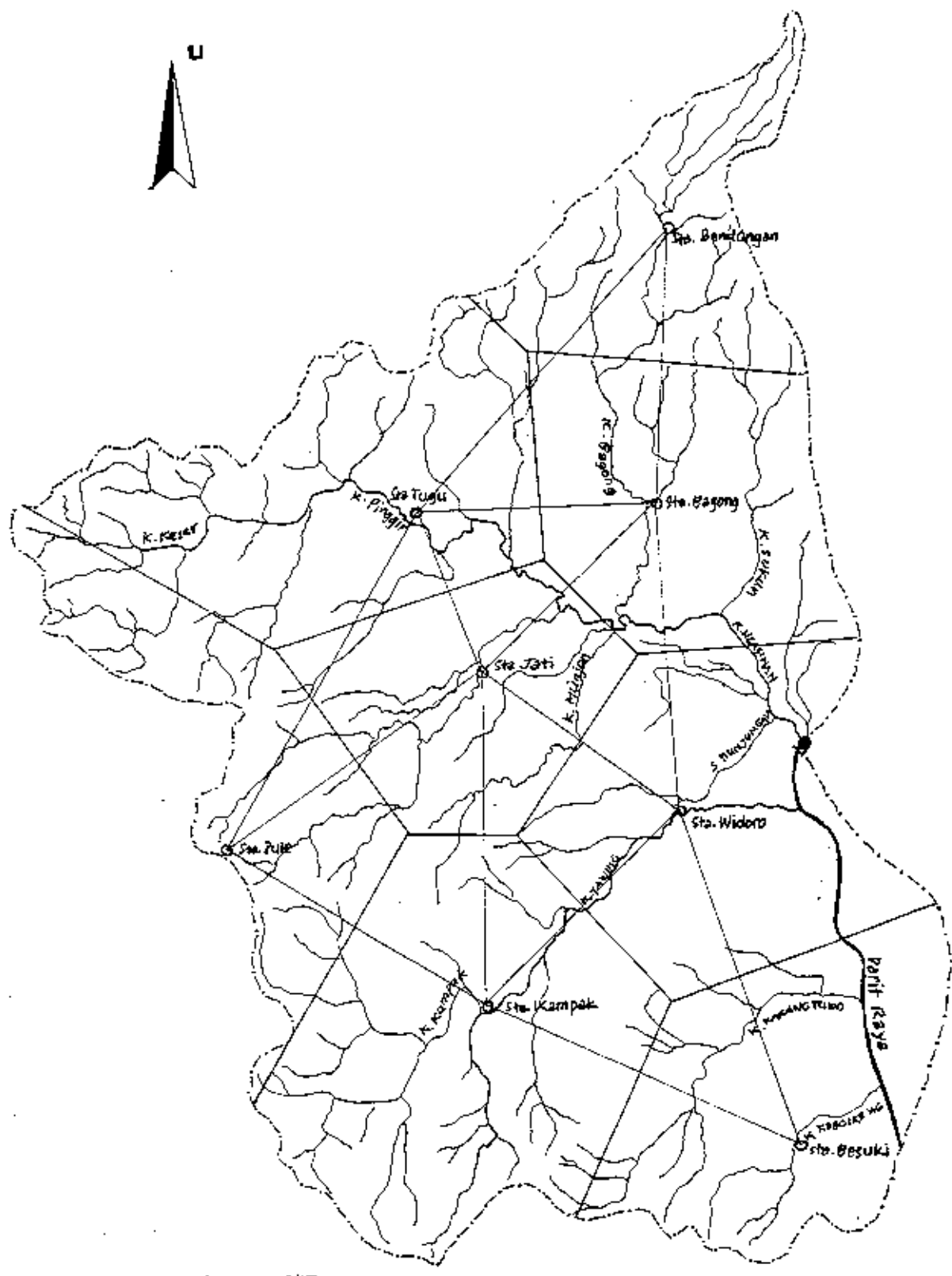
Data-data curah hujan dari suatu stasiun pencatat hujan merupakan data-data curah hujan disuatu titik tertentu (point rainfall).

Agar dapat menggunakan data-data curah hujan tersebut dalam perhitungan yang mencakup seluruh daerah aliran sungai (DAS), maka ditentukan lebih dulu harga curah hujan areal yang dianggap mewakili kondisi curah hujan di DAS tersebut.

Untuk menentukan harga curah hujan areal digunakan metode Poligon Thiessen.

Didalam metode ini, data-data curah hujan dari suatu stasiun pencatat hujan dianggap mewakili suatu luasan tertentu disekitar stasiun pencatat hujan tersebut. Sehingga DAS dapat terbagi menjadi beberapa luasan seuai dengan letak dan banyaknya stasiun pencatat hujan yang disebut sebagai luas pengaruh curah hujan. Langkah-langkah untuk menentukan masing-masing luas pengaruh curah hujan pada DAS Parlt Raya (Gambar 3.1) adalah sebagai berikut :

- Menghubungkan titik - titik stasiun pencatat hujan, sehingga membentuk suatu poligon segitiga.
- Membuat sumbu-sumbu pada sisi-sisi poligon segitiga diatas, sehingga membentuk poligon-poligon baru - yang dinamakan poligon Thlessen.



Keterangan :

- - - : Batas Catchment Area
- : Batas Polygon Thiessen
- : Sumbu Polygon Thiessen

Gambar 3.1. Polygon Thiessen di Das Parit Raya

Luasan yang dibatasi oleh sisi-sisi poligon Thiessen tersebut, merupakan luas pengaruh curah hujan.

Hasil perhitungan masing-masing luas pengaruh curah hujan kedelapan stasiun pencatat hujan di DAS-Parit Raya adalah :

Stasiun pencatat hujan	Luas pengaruh curah hujan km ²
Besuki	91,47
Kampak	126,30
Pule	73,02
Widoro	98,47
Jati	66,92
Tugu	107,43
Bagong	86,16
Bendungan	58,95
Total luas DAS Parit Raya	708,72 km ²

3.2. Curah Hujan Areal.

Curah hujan areal pada dasarnya merupakan curah hujan rata-rata dari suatu DAS.

Dengan metode Poligon Thiessen, maka didapat harga-rata-rata timbang (Weighted Average) curah hujan dari beberapa stasiun pencatat hujan sesuai dengan luas pangaruhnya masing-masing.

Pada bagian ini dihitung dua macam curah hujan areal yakni curah hujan bulanan rata-rata yang dipakai untuk menghitung debit aliran dan curah hujan harian maksimum tahunan yang dipakai untuk menghitung curah hujan harian maksimum rencana.

Rumus curah hujan areal dengan metode Thiessen adalah sebagai berikut :

$$R = \sum_{i=1}^n C_{Ti} \cdot R_i$$

dimana :

R = curah hujan areal

C_{Ti} = Koefisien Thiessen tiap-tiap stasiun pen-
catat hujan, yang merupakan perbandingan
antara luas pengaruh curah hujan masing-
masing stasiun pencatat hujan dengan to-
tal luas DAS Parit Raya, sehingga dida-
pat :

Stasiun Pencatat hujan	C_T
Besuki	0,129
Kampak	0,178
Pule	0,103
Widoro	0,139
Jati	0,094
Tugu	0,152
Bagong	0,122
Bendungan	0,083

R_i = data curah hujan tiap-tiap stasiun pena-
tat hujan

- untuk perhitungan curah hujan bulanan-
rata-rata maka dipakai data curah hu-
jan bulanan rata-rata selama periode -
pengamatan (Tabel 2.1)

- Untuk perhitungan curah hujan harian maksimum tahunan, maka dipakai data curah hujan harian maksimum tahunan (tabel 2.2)

Perhitungan :

Misal pada tahun 1970.

- Untuk curah hujan bulanan rata-rata

$$R_b = 0,129 \cdot 258,27 + 0,178 \cdot 317 + 0,103 \cdot 364,87 + \\ 0,139 \cdot 267,67 + 0,094 \cdot 307,53 + 0,152 \cdot 285,47 + \\ 0,122 \cdot 257,67 + 0,083 \cdot 268,6$$

$$R_b = 271,811 \text{ mm}$$

- untuk curah hujan harian maksimum tahunan :

$$R_{\max} = 0,129 \cdot 157 + 0,178 \cdot 210 + 0,103 \cdot 92 + 0,139 \cdot 113 \\ + 0,094 \cdot 181 + 0,152 \cdot 72 + 0,122 \cdot 62 + 0,083 \cdot 135$$

$$R_{\max} = 129,646 \text{ mm}$$

Untuk selanjutnya hasil perhitungan disajikan pada tabel 3.1 dan tabel 3.2.

3.3. Curah Hujan Harian Maksimum Rencana.

Curah hujan harian maksimum rencana dihitung-berdasarkan data hasil perhitungan curah hujan harian maksimum tahunan (tabel 3.2)

Untuk itu, perlu dilakukan pengujian terhadap data tersebut, dengan tujuan untuk mengetahui kecocokan antara distribusi data yang ada dengan distribusi teoritis yang dipilih, dalam hal ini adalah distribusi teoritis Gumbel.

Basean	Sta. DESAII	Sta. KAMPAK	Sta. PULU	Sta. MIDORO	Sta. TUGU	Sta. BANGKOK	Sta. BANDUNG	Sta. BANJARBARU	R _b
	R x e _x	R x e _y	R x e _z	R	R x e _x	R	R x e _y	R	R x e _z (mm)
APRIL 127,87	16,495	198,6	35,351	203,67	20,918	156,33	21,730	159,57	14,996 176,93 26,693 154,89 18,894 289,67 24,043 176,997
MAY 207,4	26,755	190,67	33,399	203,67	20,918	156,33	21,730	159,57	14,996 176,93 26,693 154,89 18,894 289,67 24,043 176,997
JUNI 72,4	9,340	158,8	28,266	97,67	10,060	54,2	7,534	75,4	7,008 68,67 10,438 81 9,902 147,8 12,267 94,875
JULY 67,27	8,678	148,27	26,392	94,37	9,716	69,13	9,609	61,73	5,803 60,93 9,261 51,07 6,231 78,87 6,546 82,236
AUGT. 62	7,998	68,27	12,152	37,73	5,886	38,07	5,292	26,07	19,6 2,451 13,189 91,87 8,636 81,4 12,373 102,13 12,460 125,27 10,397 113,908
SEPTE. 142,27	18,355	157,33	28,005	96,07	9,895	99,2	13,191	115,6	12,451 180,53 14,953 180,53 27,441 149,27 18,211 277,33 23,018 189,956
OCT., 202,73	26,152	211,67	37,677	128,07	13,191	115,6	16,069	127,87	12,020 112,5 110,07 13,429 178,33 14,801 150,454
NOV., 212,87	27,460	202,47	36,040	202,07	22,873	143,47	19,912	159,07	14,953 180,53 27,441 149,27 18,211 277,33 23,018 189,956
DECE., 215,27	27,770	223,4	39,765	273,53	28,174	203,87	28,338	216,6	20,360 194,93 29,629 197 24,034 247,93 20,578 218,648

(Tabel 3.1. Hasil perhitungan Durah (t) dan Bulanan Masa-pada Selama 15 tahun Perkiraan (1970 - 1984)

Tabel 3.2. PERPUTUSKAN CURAH HUJAN HARIAN MAXIMUM TAHUNAN (1970 - 1984)

No.	Tahun	Sta. BEGUNKI			Sta. KAMPAK			Sta. PULE			Sta. MUNDORG			Sta. JATI			Sta. TUJU			Sta. BAGONG			Sta. DENDONGAN			R _{max} (mm)
		R	R x C _T	R x C _T	R	R x C _T	R	R x C _T	R	R x C _T	R	R x C _T	R	R x C _T	R	R x C _T	R	R x C _T	R	R x C _T	A=91,47 Km ² C _T =0,129 C _P =0,178	A=126,30 Km ² C _T =0,103 C _P =0,139	A=96,47 Km ² C _T =0,139 C _P =0,094	A=107,43 Km ² C _T =0,152 C _P =0,094	A=96,16 Km ² C _T =0,122 C _P =0,083	A=58,93 Km ² C _T =0,122 C _P =0,083
1	1970	157	20,253	210	37,380	95	9,579	113	15,707	161	17,014	72	10,944	62	2,564	135	11,205	129,646								
2	1971	147	18,963	70	12,460	46	4,736	122	16,958	41	3,854	37	5,624	71	8,662	57	4,751	75,990								
3	1972	79	10,191	108	19,224	95	9,785	35	4,865	46	4,324	24	3,648	52	6,344	120	9,960	68,341								
4	1973	62	7,998	97	17,266	75	7,725	65	11,815	100	9,483	74	11,240	49	5,978	110	9,130	60,560								
5	1974	70	9,030	143	25,154	61	6,283	116	16,124	93	8,742	84	12,768	85	10,370	85	7,055	95,626								
6	1975	46	5,934	108	19,224	62	6,386	68	9,452	93	8,272	43	6,536	35	4,270	61	5,063	65,137								
7	1976	50	6,450	99	17,622	80	8,240	41	5,699	90	8,460	74	11,248	35	4,270	124	10,292	72,281								
8	1977	36	4,644	61	10,858	93	9,270	32	4,448	95	6,930	36	5,472	51	6,222	83	6,889	56,733								
9	1978	84	10,836	137	24,386	47	4,041	77	10,703	72	6,768	64	9,728	91	11,102	160	8,303	86,664								
10	1979	142	16,318	51	9,078	50	5,150	98	13,622	43	4,042	37	5,624	93	11,936	82	6,806	74,536								
11	1980	69	7,740	56	10,324	60	6,180	50	6,950	44	4,136	61	9,272	47	5,734	59	4,897	55,233								
12	1981	56	12,384	243	43,254	115	11,845	113	15,707	100	9,400	71	10,792	80	9,760	152	12,616	129,756								
13	1982	77	9,933	74	13,172	70	7,210	70	9,730	53	4,992	96	14,440	134	16,348	89	7,397	63,202								
14	1983	78	10,062	90	16,020	40	4,120	52	7,228	77	7,238	69	10,488	70	8,540	69	5,727	69,423								
15	1984	84	10,836	121	21,538	36	3,708	55	7,645	67	6,298	75	11,400	96	11,712	110	9,130	82,267								

Total Curah Hujan Harian Maksimum Tahunan R_{max total} = $\frac{N}{\sum_{i=1}^N R_{max,i}}$ = 1221,657

Curah Hujan Harian Maksimum Tahunan Rata-rata R_{max} = $\frac{1}{N} \cdot \sum_{i=1}^N R_{max,i}$ = 61,444

Jumlah seri data N = 15

Untuk membuktikan bahwa distribusi data tersebut memenuhi syarat kecocokan, maka dipakai cara Smirnov - Kolmogorov, yang dinyatakan dengan persamaan :

$$P \{ \text{Maks} / P(x) - P(x_1) \} \leq \Delta C_x \quad *)$$

Yang berarti pada selang kepercayaan tertentu, perbedaan antara distribusi empiris dengan distribusi teoritis (Δ), masih akan diterima jika perbedaan tersebut lebih kecil atau sama dengan penyimpangan kritis yang dapat dilihat pada tabel 3.3.

Langkah-langkah pengujian adalah sebagai berikut :

- a. Data-data hasil perhitungan curah hujan harian maksimum tahunan di plot pada kertas probability-Gumbel.
- b. Menarik garis lurus yang dianggap paling mewakili distribusi data tersebut.
- c. Mencari simpangan terbesar antara distribusi empiris (a) dengan distribusi teoritis (b).
- d. Membandingkan simpangan terbesar dengan simpangan kritis.

Jika diambil selang kepercayaan 95 %, maka

untuk $n = 15$, didapat $\Delta C_x = 34\%$

Dari gambar 3.2 didapat Δ maksimum = 6,5 % $< \Delta C_x$

Jadi data tersebut memenuhi persyaratan dan perhitungan curah hujan harian maksimum rencana dapat dilakukan dengan memakai metoda Gumbel, dengan rumus :

*) Sumber : " Mengenal Hidrologi Terapan ", Sri Harto Br, Ir, Dip.H

$$R_{tr} = \bar{R}_{max} + K \cdot S_r$$

dimana :

R_{tr} = curah hujan harian maksimum rencana dengan periode ulang t_r tahun (mm).

t_r = periode ulang (tahun)

\bar{R}_{max} = curah hujan harian maksimum tahunan rata rata selama periode tahun pengamatan (mm)

S_r = deviasi standar seri data (mm), yang dihitung dengan rumus :

$$S_r = \sqrt{\frac{\sum_{i=1}^N (R_{max i} - \bar{R}_{max})^2}{N-1}}$$

N = jumlah seri data

K = faktor koreksi, yang dihitung dengan rumus :

$$K = \frac{Y_{tr} - Y_n}{S_n} ; Y_{tr} = -\ln \ln \left(\frac{t_r}{t_r - 1} \right)$$

Y_n dan S_n adalah fungsi dari jumlah seri data, yang diambil dari tabel 3.4 a dan 3.4 b

Perhitungan :

Dari hasil perhitungan curah hujan harian maksimum tahunan (tabel 3.2), maka :

N = 15 , dari tabel 3.4a diperoleh $Y_n = 0,5128$

dari tabel 3.4b diperoleh $S_n = 1,0206$

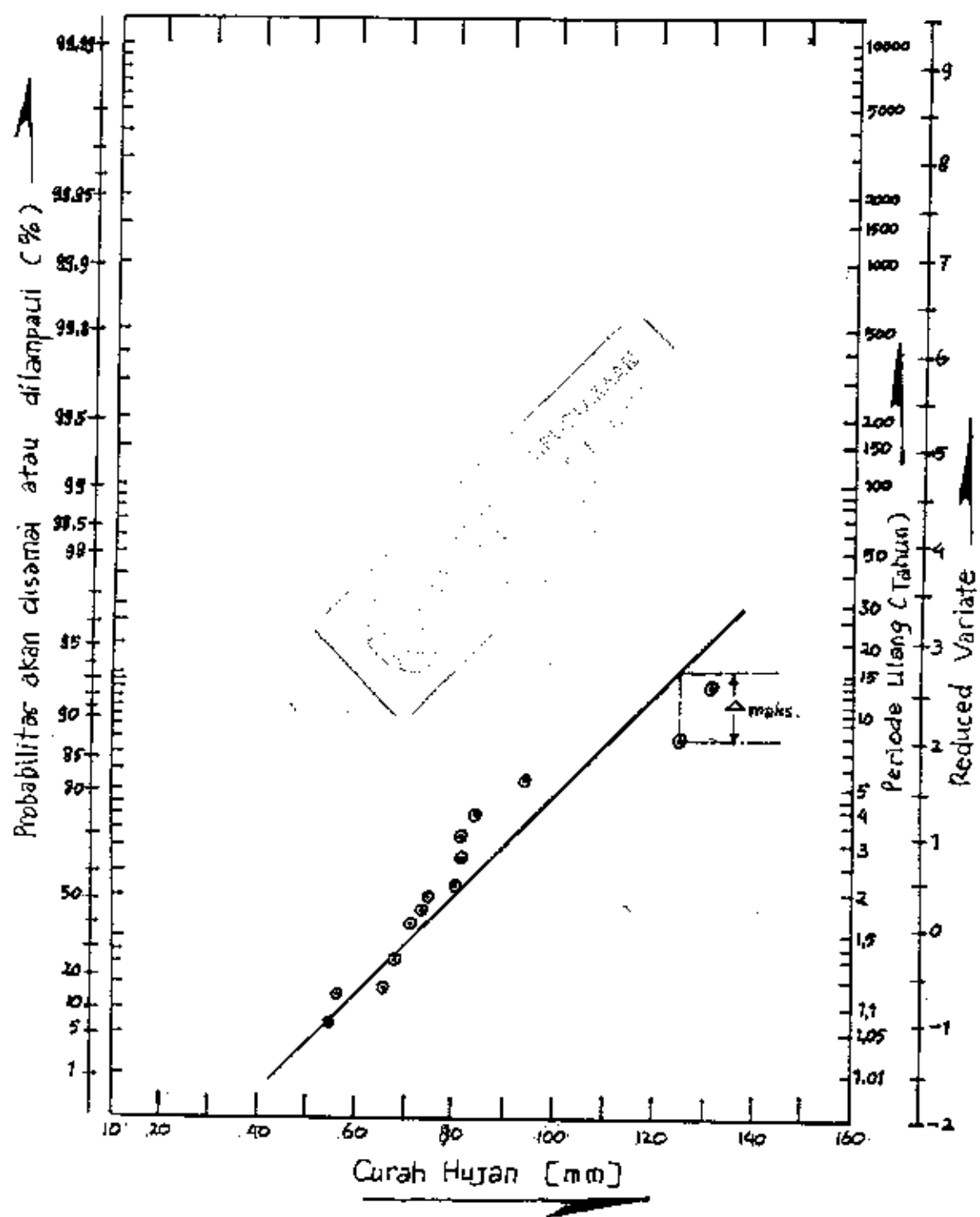
$$\bar{R}_{max} = 81,444 \text{ mm}$$

$$\sum_{i=1}^N (R_{\max i} - \bar{R}_{\max})^2 = (129,646 - 81,444)^2 + (79,990 - 81,444)^2 + (68,341 - 81,449)^2 + (80,560 - 81,444)^2 + (95,826 - 81,444)^2 + (65,137 - 81,444)^2 + (72,281 - 81,444)^2 + (56,733 - 81,444)^2 + (86,664 - 81,444)^2 + (74,596 - 81,444)^2 + (55,233 - 81,444)^2 + (125,758 - 81,444)^2 + (83,202 - 81,444)^2 + (69,423 - 81,444)^2 + (82,267 - 81,444)^2 \\ = 6566,359 \text{ mm}^2$$

$$S_r = \sqrt{\frac{6566,359}{15 - 1}} = 21,657 \text{ mm}$$

Sehingga curah hujan maksimum rencana untuk periode ulang tertentu dapat dihitung sebagai berikut :

t_r	Y_{tr}	K	R_{tr} (mm)
2	0,3665	-0,1433	78,340
5	1,4449	0,9672	102,369
10	2,2502	1,7023	118,311
20	2,9606	2,3984	133,386
25	3,1985	2,6315	138,434
50	3,9019	3,3207	153,360
100	4,6001	4,0048	168,176



Gambar 3.2. Grafik Distribusi Gumbel

Tabel 3.3. Harga ΔCr dari Smirnov-Kolmogorov.^{**}

α/n	0.20	0.10	0.05	0.01
5	0.45	0.51	0.56	0.67
10	0.32	0.37	0.42	0.49
15	0.27	0.30	0.34	0.40
20	0.23	0.26	0.29	0.36
25	0.21	0.24	0.27	0.32
30	0.19	0.22	0.24	0.29
35	0.18	0.20	0.23	0.27
40	0.17	0.19	0.21	0.25
45	0.16	0.18	0.20	0.24
50	0.15	0.17	0.19	0.23
$n > 50$		1.07	1.22	1.36
		\sqrt{n}	\sqrt{n}	\sqrt{n}

Tabel 3.4.a. Harga Reduced Mean (Yn) ^{**}

n	0	1	2	3	4	5	6	7	8	9
10	0.4952	0.4996	0.5035	0.5070	0.5100	0.5128	0.5157	0.5181	0.5202	0.5220
20	0.5236	0.5252	0.5265	0.5283	0.5296	0.5300	0.5320	0.5362	0.5343	0.5353
30	0.5362	0.5371	0.5380	0.5388	0.5395	0.5400	0.5410	0.5418	0.5424	0.5430
40	0.5436	0.5442	0.5448	0.5453	0.5458	0.5468	0.5468	0.5473	0.5477	0.5481
50	0.5485	0.5489	0.5493	0.5497	0.5501	0.5504	0.5503	0.5511	0.5515	0.5518
60	0.5521	0.5524	0.5527	0.5530	0.5533	0.5535	0.5538	0.5540	0.5543	0.5545
70	0.5548	0.5550	0.5562	0.5555	0.5557	0.5559	0.5561	0.5563	0.5565	0.5567
80	0.5569	0.5570	0.5572	0.5574	0.5576	0.5578	0.5580	0.5581	0.5583	0.5585
90	0.5586	0.5587	0.5589	0.5591	0.5592	0.5593	0.5595	0.5596	0.5598	0.5599
100	0.5600	-	-	-	-	-	-	-	-	-

Tabel 3.4.b. Harga Reduced Standard Deviation (S_n) ^{**}

n	0	1	2	3	4	5	6	7	8	9
10	0.9496	0.9676	0.9833	0.9971	1.0095	1.0205	1.0316	1.0411	1.0493	1.0565
20	1.0628	1.0696	1.0754	1.0811	1.0864	1.0915	1.0961	1.1004	1.1047	1.1103
30	1.1124	1.1159	1.1193	1.1226	1.1255	1.1285	1.1313	1.1339	1.1363	1.1388
40	1.1413	1.1436	1.1458	1.1481	1.1499	1.1519	1.1538	1.1557	1.1574	1.159
50	1.1607	1.1623	1.1638	1.1658	1.1667	1.1681	1.1695	1.1708	1.1721	1.1734
60	1.1747	1.1759	1.177	1.1782	1.1793	1.1803	1.1814	1.1824	1.1834	1.1844
70	1.1854	1.1863	1.1873	1.1881	1.1889	1.1896	1.1906	1.1915	1.1923	1.193
80	1.1938	1.1945	1.1953	1.1959	1.1967	1.1973	1.198	1.1987	1.1994	1.2001
90	1.2007	1.2013	1.2026	1.2032	1.2038	1.2044	1.2049	1.2055	1.206	-
100	1.2065	-	-	-	-	-	-	-	-	-

*). Sumber : " Statistical in Hydrology ", Shalin, MMA

**). Sumber : " Banjir Renoana Untuk Bangunan Air ", Joerison Loebis, Ir., M Eng

3.4. Curah Hujan Harian Efektif.

Yang dimaksud sebagai curah hujan harian efektif disini adalah bagian dari curah hujan harian maksimum rencana yang menghasilkan limpasan langsung yang terdiri dari limpasan permukaan dan limpasan bawah permukaan.

Limpasan bawah permukaan merupakan aliran air yang masuk kedalam lapisan tipis di bawah permukaan tanah yang permeabilitasnya rendah dan keluar lagi dipermukaan tanah yang lebih rendah sebagai limpasan permukaan.

Dengan menganggap bahwa aliran air hujan menjadi limpasan langsung merupakan proses linier yang tidak berubah terhadap waktu, maka curah hujan harian efektif dirumuskan sebagai berikut :

$$Re = C \cdot R_{tr}$$

dimana ,

Re = curah hujan harian efektif (mm)

C = koefisien pengaliran

R_{tr} = curah hujan harian maksimum rencana (mm)

Koefisien pengaliran merupakan suatu variabel yang tergantung pada kondisi DAS dan karakteristik hujan yang jatuh di DAS tersebut.

Faktor-faktor kondisi DAS antara lain :

- luas dan bentuk DAS
- kemiringan DAS dan kemiringan dasar sungai
- daya perkolasi dan infiltrasi tanah
- evaporasi, angin dan suhu udara

- Daya tampung palung sungai dan daerah sekitarnya.

Sehubungan dengan faktor-faktor diatas maka - harga koefisien pengaliran adalah sebagai berikut :

Kondisi DAS	C
Daerah pegunungan berlereng terjal	0,75 - 0,9
Daerah perbukitan	0,7 - 0,8
Daerah bergelombang dan bersemak - semak	0,5 - 0,75
Daerah dataran yang digarap	0,45 - 0,60
Daerah persawahan irigasi	0,75 - 0,85
Sungai di daerah pegunungan	0,75 - 0,85
Sungai kecil didaerah dataran	0,45 - 0,75

Sedangkan data limpasan sehubungan dengan hujan yang jatuh di DAS Parit Raya tidak tercatat, sehingga faktor karakteristik hujan yang jatuh di DAS tersebut - tidak dipertimbangkan.

Oleh karena itu harga koefisien pengaliran di DAS Parit Raya diambil dari pertimbangan kondisi DAS-nya - saja.

Karena DAS Parit Raya sebagian besar bersemak dan bergelombang, maka Proyek Brantas mengambil harga koefisien pengaliran sebesar 0,64.

Sehingga curah hujan efektif dapat dihitung dengan - perumusan diatas, seperti ditunjukkan dibawah ini.

t_r (tahun)	R_{tr} (mm)	C	R_e (mm)
2	78,340	0,64	50,138
5	102,369	0,64	65,516
10	116,311	0,64	75,719
20	133,386	0,64	85,367
25	138,434	0,64	88,598
50	153,360	0,64	98,150
100	168,176	0,64	107,633

3.5. Pola Distribusi Curah Hujan Harian Efektif.

Pada stasiun-stasiun pencatat hujan di DAS Parit Raya tidak tercatat lama setiap kejadian hujan (durasi-hujan) secara detail.

Berdasarkan pengalaman dari proyek Brantas, maka durasi hujan rata-rata di DAS Kali Brantas dianggap selama 5 jam. Oleh karena itu, selanjutnya pola distribusi curah hujan ditaksir dengan anggapan bahwa durasi hujan adalah selama 5 jam.

Metode yang digunakan untuk menaksir pola distribusi curah hujan harian adalah perumusan Dr. Mononobe, yaitu :

- Curah hujan rata-rata sampai jam ke t :

$$\bar{R}_t = \frac{R_{24}}{t_d} \left(\frac{t_d}{t} \right)^{2/3}$$

- Curah hujan pada jam ke t :

$$R_t = \bar{R}_t (t) - \bar{R}_{t-1} (t-1)$$

dimana : $R_t = \text{curah hujan rata-rata sampai jam ke } t$
 (mm) .

$R_{24} = R_e = \text{curah hujan harian efektif } (\text{mm})$

$R_t = \text{curah hujan pada jam ke } t (\text{mm})$

$t_d = \text{durasi hujan} = 5 \text{ jam}$

sehingga, perumusan curah hujan pada jam ke t dapat dituliskan sebagai berikut :

$$R_t = \frac{R_e}{5} \left\{ \left(\frac{5}{t} \right)^{2/3} (t) - \left(\frac{5}{t-1} \right)^{2/3} (t-1) \right\}$$

dimana faktor , $\frac{1}{5} \left\{ \left(\frac{5}{t} \right)^{2/3} (t) - \left(\frac{5}{t-1} \right)^{2/3} (t-1) \right\}$

merupakan faktor distribusi curah hujan harian.

Perhitungan :

Misal untuk periode ulang $t_r = 2$ tahun

$$R_e = 50,138 \text{ mm}$$

pada jam ke $t = 2$ jam

$$\text{Faktor distribusi} = \frac{1}{5} \left\{ \left(\frac{5}{2} \right)^{2/3} (2) - \left(\frac{5}{2-1} \right)^{2/3} (2-1) \right\}$$

$$= 0,16$$

sehingga, $R_t = 0,16 \cdot 50,138 = 8,022 \text{ mm}$

Untuk selanjutnya hasil perhitungan pola distribusi curah hujan harian ditunjukkan pada tabel 3.5.

Tabel 3.5. Hasil Perhitungan Pola Distribusi Curah Hujan Harian Efektif

Periode Ulang (tahun)	2	5	10	20	25	50	100
Curah Hujan Harian Rencana (mm)	78,34	102,309	118,311	133,386	138,434	153,360	168,176
Koefisien Pengaliran	0,64	0,64	0,64	0,64	0,64	0,64	0,64
Curah Hujan Harian Efektif	50,138	65,516	75,719	85,367	88,598	98,150	107,633
Jam ke	Faktor Distribusi	Pola Distribusi Curah Hujan Harian Efektif (mm)					
0 - 1	0,58	29,080	37,999	43,917	49,513	51,387	56,927
1 - 2	0,16	8,022	10,483	12,115	13,659	14,176	15,704
2 - 3	0,10	5,014	6,552	7,572	8,537	8,860	9,815
3 - 4	0,08	4,011	5,241	6,058	6,829	7,083	7,852
4 - 5	0,08	4,011	5,241	6,058	6,829	7,088	7,852



3.6. Debit Banjir Rencana.

Debit banjir rencana merupakan debit banjir maksimum yang diperkirakan terjadi pada suatu periode ulang tertentu dan pada studi ini digunakan untuk mengontrol kapasitas tampungan Parit Raya .

Dalam menghitung debit banjir rencana digunakan metode hidrograf satuan Nakayatsu.

A. Hidrograf satuan Nakayatsu.

Besarnya debit banjir puncak yang disebabkan oleh satu-satuan curah hujan spesifik yang dinyatakan dengan rumus :

$$Q_p = \frac{1}{3,6} \cdot \frac{A \cdot R_o}{(0,3 T_p + T_{0,3})} \quad *)$$

dimana, Q_p = debit banjir puncak (m^3/det)

R_o = curah hujan spesifik (mm)

A = luas DAS yang ditinjau (km^2)

T_p = waktu dari permulaan banjir sampai dengan saat banjir puncak (jam)

$T_{0,3}$ = waktu dari saat banjir puncak sampai dengan saat 0,3 dari banjir puncak (jam)

Untuk mendapatkan T_p dan $T_{0,3}$ digunakan rumus :

$$T_p = T_g + 0,8 \cdot T_r$$

$$T_{0,3} = \alpha \cdot T_g$$

dimana :

T_g = time lag, yaitu waktu antara awal hujan sampai dengan saat banjir puncak (jam)

$$T_r = 0,5 T_g \text{ sampai } T_g$$

*) . Sumber : "Banjir Rencana Untuk Bangunan Air", Joer son Loebis, Ir, M.Eng.

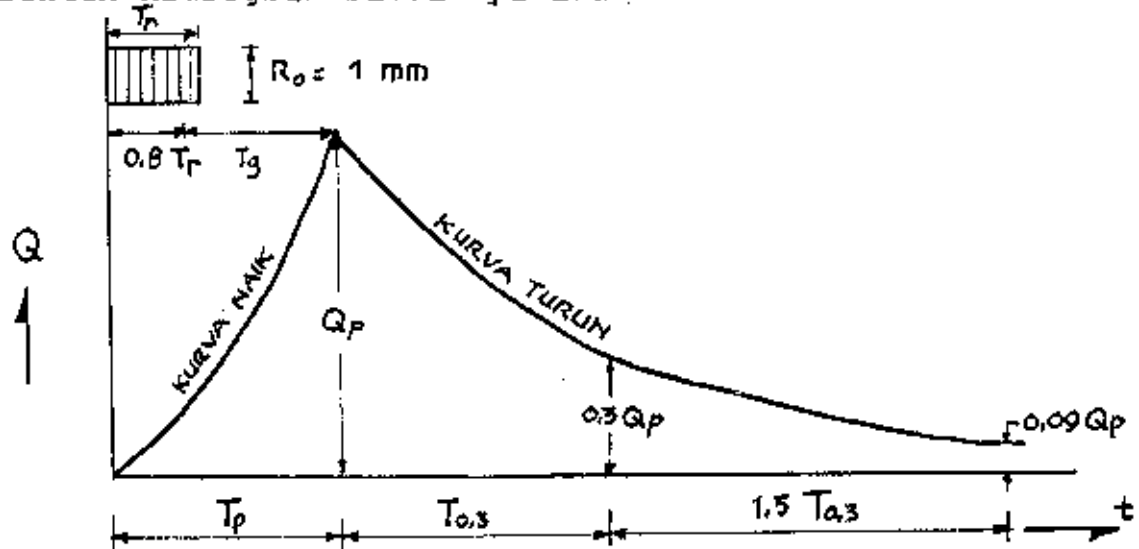
$T_g = 0,21 \cdot L^{0,70}$, untuk $L \leq 15 \text{ km}$

$T_g = 0,40 + 0,058 L$, untuk $L > 15 \text{ km}$

L = panjang sungai yang ditinjau

$\alpha = 1,5 - 3,5$; disini diambil = 3,0

Bentuk hidrograf satuanya adalah :



Persamaan kurva hidrograf diatas adalah sebagai berikut :

Pada kurva naik : - untuk $0 < t \leq T_p$

$$\frac{Q}{Q_p} = \left(\frac{t}{T_p} \right)^{2,4}$$

Pada kurva turun : - untuk $T_p < t \leq (T_p + T_{0,3})$

$$\frac{Q}{Q_p} = 0,3^x ; \text{ dengan } x = \left(\frac{t - T_p}{T_{0,3}} \right)$$

- Untuk $(T_p + T_{0,3}) < t \leq (T_p + 2,5T_{0,3})$

$$\frac{Q}{Q_p} = 0,3^y ; \text{ dengan } y = \left(\frac{t - T_p + 0,5T_{0,3}}{1,5T_{0,3}} \right)$$

- untuk $t > (T_p + 2,5 T_{0,3})$

$$\frac{Q}{Q_p} = 0,3^z ; \text{ dengan } z = \left(\frac{t - T_p + 1,5 T_{0,3}}{2 \cdot T_{0,3}} \right)$$

Perhitungan : $A = 708,72 \text{ km}^2$

$$R_o = 1 \text{ mm}$$

$$L = 15,5 \text{ km}$$

$$T_g = 0,4 + 0,058 \cdot 15,5 = 1,3 \text{ jam}, T_r = 1 \text{ jam}$$

$$T_p = 1,3 + 0,8 \cdot 1 = 2,1 \text{ jam}$$

$$T_{0,3} = 3 \cdot 1,3 = 3,9 \text{ jam}$$

$$Q_p = \frac{1}{3,6} \cdot \frac{708,72 \cdot 1}{(0,3 + 2,1 + 3,9)} = 43,457 \text{ m}^3/\text{dt}$$

Untuk perhitungan hidrograf satuan selanjutnya, ditunjukkan pada tabel 3.6.

B. Hidrograf Banjir Rencana.

Debit banjir rencana merupakan debit banjir yang disebabkan oleh curah hujan efektif pada suatu periode ulang tertentu.

Sehingga hidrograf banjir rencana dapat diperoleh dengan cara menjumlahkan hasil perkalian antara hidrograf satuan dengan curah hujan harian efektif sesuai dengan pola distribusinya.

Hasil perhitungan hidrograf banjir rencana untuk masing-masing periode ulang, ditunjukkan pada tabel 3.7 3.8 , 3.9 , 3.10, 3.11, 3.12, 3.13.

Tabel 3.6. Hasil Perhitungan Hidrograf Satuan Nakayatsu

t (jam)	Q (m^3/det)	t (jam)	Q (m^3/det)
Pada Kurva naik $t < T_p$		Pada kurva turun $t > T_p + 2,5 T_{0,3}$	
0	0	12	3,822
1	7,324	13	3,275
2	38,655	14	2,807
2,1	43,457	15	2,405
Pada kurva turun $T_p < t < (T_p + T_{0,3})$		16	2,061
3	32,915	17	1,766
4	24,173	18	1,514
5	17,752	19	1,297
6	13,037	20	1,112
Pada kurva turun $(T_p + T_{0,3}) < t < T_p + 2,5 T_{0,3}$		21	0,1953
7	10,612	22	0,816
8	8,638	23	0,70
9	7,031		
10	5,723		
11	4,659		
11,85	3,911		

Tabel 3.7. PERHITUNGAN DEBIT BANJIR RENCANA 2 TAHUN

Jam Ke	Debit Satuan (m ³ /det/mm)	Debit Banjir (m ³ /det) akibat Curah Hujan Efektif (mm) · Jam ke					Debit Banjir Rencana (m ³ /det)
		0–1 = 29,08	1–2 = 8,022	2–3 = 5,014	3–4 = 4,011	4–5 = 4,011	
1	7,324	212,982	0	0	0	0	212,982
2	78,655	1124,087	310,090	0	0	0	1430,177
3	32,915	957,168	264,044	165,036	0	0	1386,248
4	24,173	702,951	193,916	121,203	96,958	0	1115,028
5	17,752	516,228	142,407	89,009	71,203	71,203	890,050
6	13,037	379,116	104,583	65,368	52,291	52,291	653,649
7	10,612	308,597	85,129	53,209	42,565	42,565	532,065
8	8,638	251,193	69,294	43,311	34,647	34,647	433,092
9	7,031	204,461	56,403	35,203	28,201	28,201	352,519
10	5,723	166,425	45,910	28,695	22,955	22,955	286,940
11	4,659	135,484	37,374	23,360	18,687	18,687	233,592
12	3,822	111,144	30,660	19,164	15,330	15,330	191,628
13	3,275	95,237	26,272	16,421	13,136	13,136	164,202
14	2,807	81,628	22,518	14,074	11,259	11,259	140,738
15	2,405	69,937	19,293	12,059	9,646	9,646	120,581
16	2,061	59,934	16,533	10,334	8,267	8,267	103,335
17	1,766	51,355	14,167	8,855	7,083	7,083	88,543
18	1,514	44,027	12,145	7,591	6,073	6,073	75,909
19	1,297	37,717	10,405	6,503	5,202	5,202	65,029
20	1,112	32,340	8,920	5,576	4,460	4,460	55,756
21	0,957	27,713	7,645	4,778	3,822	3,822	47,780
22	0,816	23,729	6,546	4,091	3,273	3,273	40,912
23	0,700	20,356	5,615	3,510	2,808	2,808	35,097
24	0,600	17,448	4,813	3,008	2,407	2,407	30,083

Tabel 3.8. PERHITUNGAN DEBIT BANJIR RENCANA 5 TAHUN

Jam Ke	Debit Satuan (m ³ /det/mm)	Debit Banjir (m ³ /det) akibat Curah Hujan Efektif (mm) Jam ke					Debit Banjir Rencana (m ³ /det)
		0—1 = 37,999	1—2 = 10,483	2—3 = 6,552	3—4 = 5,241	4—5 = 5,241	
1	7,324	278,305	0	0	0	0	278,305
2	38,655	1468,851	405,220	0	0	0	1874,071
3	32,915	1250,737	337,500	215,659	0	0	1803,896
4	24,713	918,550	253,406	158,381	126,691	0	1457,028
5	17,752	674,558	186,094	116,311	93,038	93,038	1163,039
6	13,037	495,293	136,667	85,418	68,327	68,327	854,132
7	10,612	403,245	111,246	69,530	55,617	55,617	695,255
8	8,638	328,235	90,552	56,596	45,272	45,272	565,927
9	7,031	267,171	73,706	46,067	36,849	36,849	460,642
10	5,723	217,468	59,994	37,497	29,994	29,994	374,947
11	4,659	177,037	48,840	30,526	24,418	24,418	305,239
12	3,822	145,232	40,066	25,042	20,031	20,031	250,239
13	3,275	124,447	34,332	21,458	17,164	17,164	214,565
14	2,807	106,663	29,426	18,391	14,711	14,711	183,902
15	2,405	91,388	25,213	15,758	12,605	12,605	157,568
16	2,061	78,316	21,605	13,504	10,812	10,812	135,049
17	1,766	67,106	18,513	11,571	9,256	9,256	115,702
18	1,514	57,530	15,871	9,920	7,935	7,935	99,191
19	1,297	49,285	13,596	8,498	6,798	6,798	84,975
20	1,112	42,255	11,657	7,286	5,828	5,828	72,854
21	0,953	36,213	9,990	6,244	4,995	4,995	62,437
22	0,816	31,007	8,554	5,346	4,277	4,277	53,461
23	0,700	26,599	7,338	4,586	3,669	3,669	45,861
24	0,600	22,799	6,290	3,931	3,145	3,145	39,310

Tabel 3.9. PERHITUNGAN DEBIT BANJIR RENCANA 10 TAHUN

Jam Ke	Debit Satuan (m ³ /det/mm)	Debit Banjir (m ³ /det) akibat Curah Hujan Efektif (mm) Jam ke					Debit Banjir Rencana (m ³ /det)
		0—1 =43,917	1—2 =12,115	2—3 =7,572	3—4 =6,058	4—5 =6,058	
1	7,324	321,648	0	0	0	0	321,648
2	38,655	1697,612	468,305	0	0	0	2165,917
3	32,915	1445,528	398,765	249,232	0	0	2093,525
4	24,173	1061,606	292,856	183,038	146,440	0	1683,940
5	17,752	779,615	215,065	134,418	107,542	107,542	1344,182
6	13,037	572,546	157,943	98,716	78,978	78,978	987,161
7	10,612	466,047	128,564	80,354	64,287	64,287	803,539
8	8,638	379,355	104,649	65,407	52,329	52,329	654,069
9	7,031	308,780	85,181	53,239	42,594	42,594	532,388
10	5,723	251,337	69,334	43,335	34,670	34,670	433,346
11	4,659	204,609	56,444	35,278	28,224	28,224	352,779
12	3,822	167,851	46,304	28,940	23,154	23,154	289,403
13	3,275	143,828	39,677	24,798	19,840	19,840	247,983
14	2,807	123,275	34,007	21,255	17,005	17,005	212,547
15	2,405	105,620	29,137	18,211	14,569	14,569	182,106
16	2,061	90,513	24,969	15,606	12,486	12,486	156,060
17	1,766	77,557	21,395	13,372	10,698	10,698	133,720
18	1,514	66,490	18,342	11,464	9,172	9,172	114,640
19	1,297	56,960	15,713	9,821	7,857	7,857	98,208
20	1,112	48,836	13,472	8,420	6,736	6,736	84,200
21	0,953	41,853	11,546	7,216	5,634	5,634	71,883
22	0,816	35,836	9,886	6,179	4,943	4,943	61,787
23	0,700	8,481	5,300	5,300	4,241	4,241	53,005
24	0,600	26,350	7,269	4,543	3,635	3,635	45,432

Tabel 3.10. PERCETAKAN DEBIT BANJIR RENCANA 20 TAHUN

Jam Ke	Debit Satuan (m ³ /det/mm)	Debit Banjir (m ³ /det) akibat Curah Hujan Efektif (mm) Jam ke					Debit Banjir Rencana (m ³ /det)
		0—1 =49,513	1—2 =13,659	2—3 =8,537	3—4 =6,829	4—5 =6,829	
1	7,324	362,633	0	0	0	0	362,633
2	38,655	1913,925	527,989	0	0	0	2441,914
3	32,915	1629,720	449,586	280,995	0	0	2360,301
4	24,173	1196,878	330,179	206,365	165,077	0	1898,499
5	17,752	878,955	242,475	151,549	121,228	121,228	1515,435
6	13,037	645,501	178,072	111,297	89,030	89,030	1112,930
7	10,612	525,432	144,949	90,595	72,469	72,469	905,914
8	8,638	427,693	117,986	73,743	58,989	58,989	737,400
9	7,031	348,126	96,036	60,024	48,015	48,015	600,216
10	5,723	283,363	78,170	48,857	39,082	39,082	488,554
11	4,659	230,681	63,637	39,774	31,816	31,816	397,724
12	3,822	189,239	52,205	32,628	26,100	26,100	326,272
13	3,275	162,155	44,733	27,959	22,365	22,365	279,577
14	2,807	138,983	38,341	23,963	19,169	19,169	239,625
15	2,405	119,079	32,850	20,531	16,424	16,424	205,308
16	2,061	102,046	28,151	17,595	14,075	14,075	175,942
17	1,766	87,440	24,122	15,076	12,060	12,060	150,758
18	1,514	74,963	20,680	12,925	10,339	10,339	129,246
19	1,297	64,218	17,716	11,072	8,857	8,857	110,720
20	1,112	55,058	15,189	9,493	7,594	7,594	94,928
21	0,953	47,859	13,017	8,136	6,508	6,508	82,028
22	0,816	40,403	11,146	6,966	5,572	5,572	69,659
23	0,700	34,659	9,561	5,976	4,780	4,780	59,756
24	0,600	29,708	8,195	5,122	4,097	4,097	51,219

Tabel 3.11. PERHITUNGAN DEBIT BANJIR RENCANA 25 TAHUN

Jam Ke	Debit Satuan (m ³ /det/mm)	Debit Banjir (m ³ /det) akibat Curah Hujan Efektif (mm) Jam ke					Debit Banjir Rencana (m ³ /det)
		0—1 =51,387	1—2 =14,176	2—3 =8,860	3—4 =7,088	4—5 =7,088	
1	7,324	376,358	0	0	0	0	376,358
2	38,655	1986,364	547,973	0	0	0	2534,337
3	32,915	1691,403	466,603	291,627	0	0	2449,633
4	24,173	1242,178	342,676	214,173	171,338	0	1970,365
5	17,752	912,222	251,652	157,283	125,826	125,826	1572,809
6	13,037	669,932	184,813	115,508	92,406	92,406	1155,065
7	10,612	545,319	150,436	94,022	75,218	75,218	940,213
8	8,638	443,881	122,452	76,533	61,226	61,226	765,318
9	7,031	361,302	99,671	62,295	49,836	49,836	622,940
10	5,723	294,088	81,129	50,706	40,565	40,565	507,053
11	4,659	239,412	66,046	41,279	33,023	33,023	412,783
12	3,822	196,401	54,181	33,863	27,090	27,090	338,625
13	3,275	168,292	46,426	29,017	23,213	23,213	290,161
14	2,807	144,243	39,792	24,870	19,896	19,896	248,697
15	2,405	123,586	34,093	21,038	17,047	17,047	213,081
16	2,061	105,909	29,217	18,260	14,608	14,608	182,602
17	1,766	90,749	25,035	15,647	12,517	12,517	156,465
18	1,514	77,800	21,462	13,414	10,731	10,731	134,138
19	1,297	66,649	18,386	11,491	9,193	9,193	114,912
20	1,112	57,142	15,764	9,852	7,882	7,882	98,522
21	0,953	48,972	13,510	8,444	6,755	6,755	84,436
22	0,816	41,932	11,568	7,230	5,784	5,784	72,298
23	0,700	35,971	9,923	6,202	4,962	4,962	62,020
24	0,600	30,832	8,506	5,316	4,253	4,253	53,160

Tabel 3.12. PERHITUNGAN DEBIT BANJIR RENCANA 50 TAHUN

Jam Ke	Debit Satuan (m ³ /det/mm)	Debit Banjir (m ³ /det) akibat Curah Hujan Efektif (mm) Jam ke					Debit Banjir Rencana (m ³ /det)
		0—1 =56,927	1—2 =15,704	2—3 =9,815	3—4 =7,852	4—5 =7,852	
1	7,324	416,933	0	0	0	0	416,933
2	38,655	2200,513	607,038	0	0	0	2807,551
3	32,915	1873,752	516,897	323,061	0	0	2713,710
4	24,173	1376,096	379,613	237,258	189,806	0	2182,773
5	17,752	1010,568	278,277	174,236	139,389	139,389	1742,359
6	13,037	742,157	204,733	127,958	102,367	102,367	1279,582
7	10,612	604,109	166,651	104,157	83,325	83,325	1041,567
8	8,638	491,735	135,651	84,782	67,826	67,826	847,820
9	7,031	400,254	110,415	69,009	55,207	55,207	689,732
10	5,723	325,793	89,874	56,171	44,937	44,937	561,712
11	4,659	265,223	73,649	45,728	36,582	36,582	457,764
12	3,822	217,575	60,021	37,513	30,010	30,010	375,129
13	3,275	186,436	51,431	32,144	25,715	25,715	321,441
14	2,807	159,794	44,081	27,551	22,041	22,041	275,508
15	2,405	136,909	37,768	23,605	18,884	18,884	236,050
16	2,061	117,327	32,366	20,229	16,183	16,183	202,288
17	1,766	100,533	27,733	17,333	13,867	13,867	173,333
18	1,514	86,187	23,776	14,860	11,888	11,888	148,599
19	1,297	73,834	20,368	12,730	10,184	10,184	127,300
20	1,112	63,303	17,463	10,914	8,731	8,731	109,142
21	0,953	54,251	14,966	9,354	7,483	7,483	93,537
22	0,816	46,452	12,814	8,009	6,407	6,407	80,089
23	0,700	39,849	10,993	6,871	5,496	5,496	68,705
24	0,600	34,156	9,422	5,889	4,711	4,711	58,889

Tabel 3.13. PERHITUNGAN DEBIT BANJIR RENCANA 100 TAHUN

Jam Ke	Debit Satuan (m ³ /det/mm)	Debit Banjir (m ³ /det) akibat Curah Hujan Efektif (mm)					Debit Banjir Rencana (m ³ /det)
		0—1 = 62,427	1—2 = 17,221	2—3 = 10,763	3—4 = 8,611	4—5 = 8,611	
1	7,324	457,215	0	0	0	0	457,215
2	38,655	2413,116	665,678	0	0	0	3078,794
3	32,915	2054,785	566,829	354,264	0	0	2975,878
4	24,173	1509,048	416,283	260,174	208,154	0	2393,659
5	17,752	1108,204	305,707	191,065	152,862	152,862	1910,700
6	13,037	813,861	224,510	140,317	112,262	112,262	1403,212
7	10,612	662,475	182,749	114,217	91,380	91,380	1142,201
8	8,638	539,244	148,755	92,971	74,382	74,382	929,734
9	7,031	438,924	121,081	75,675	60,544	60,544	756,768
10	5,723	357,270	98,556	61,597	49,281	49,281	615,985
11	4,659	290,847	80,233	50,145	40,119	40,119	501,463
12	3,822	238,596	65,819	41,136	32,911	32,911	411,373
13	3,275	204,448	56,399	35,249	28,201	28,201	352,498
14	2,807	175,233	48,399	30,212	24,171	24,171	302,126
15	2,405	150,137	41,417	25,885	20,709	20,709	258,857
16	2,061	128,662	35,492	22,183	17,747	17,747	221,831
17	1,766	110,246	30,412	19,007	15,207	15,207	190,079
18	1,514	94,514	26,073	16,295	13,037	13,037	162,956
19	1,297	80,968	22,336	13,960	11,168	11,168	139,600
20	1,112	69,419	19,150	11,968	9,575	9,575	119,687
21	0,953	59,493	16,412	10,257	8,206	8,206	102,574
22	0,816	50,940	14,052	8,783	7,027	7,027	87,829
23	0,700	43,699	12,055	7,534	6,028	6,028	75,344
24	0,600	37,456	10,333	6,458	5,167	5,167	64,581

3.7. Debit Harian.

Sesuai dengan kebutuhan dalam perhitungan angkutan sedimen, maka debit yang diperhitungkan adalah debit harian untuk setiap bulan tertentu.

Debit harian Parit Raya dihitung dengan rumus ratio-nal, sebagai berikut :

$$Q = 0,011574 \cdot c \cdot I \cdot A$$

dimana :

Q = debit harian (m^3/det)

c = koefisien pengaliran yang dijelaskan pada bagian 3.4 yaitu sebesar 0,64.

A = luas DAS Parit Raya yakni $708,72 \text{ km}^2$

I = Intensitas hujan (mm/hari), yang dihitung dengan rumus :

$I = \frac{R_b}{t}$; R_b = curah hujan bulanan rata-rata (mm).

t = waktu selama satu bulan tertentu (hari)

Sehingga rumus tational di atas dapat ditulis sebagai berikut :

$$Q = 0,011574 \cdot c \cdot \frac{R_b}{t} \cdot A$$

Perhitungan :

Dari hasil perhitungan curah hujan bulanan rata-rata pada tabel 3.1 maka untuk bulan Januari,

$$R_b = 271,811 \text{ mm}$$

$$t = 31 \text{ hari}$$

$$I = \frac{271,811}{31} = 8,768 \text{ mm/hari}$$

$$\text{Sehingga, } Q = 0,11574 \cdot 0,64 \cdot 8,768 \cdot 708,72 \\ = 46,03 \text{ m}^3/\text{detik}$$

Hasil perhitungan debit harian pada bulan-bulan yang lain disajikan pada tabel 3.14.

Tabel 3.14. Hasil Perhitungan Debit Harian Parit-Raya

Bulan	t (hari)	R _b (mm)	I (mm/hari)	c	A (Km ²)	Q (m ³ /det)
JANUARI	31	271,811	8,768	0,64	708,72	46,029
FEBRUARI	28	282,496	10,089	0,64	708,72	52,964
MARET	31	267,588	8,631	0,64	708,72	45,314
APRIL	30	176,977	5,899	0,64	708,72	30,972
MEI	31	183,717	5,926	0,64	708,72	31,111
JUNI	30	94,875	3,162	0,64	708,72	16,602
JULI	31	82,236	2,652	0,64	708,72	13,926
AGUSTUS	31	40,155	1,295	0,64	708,72	6,800
SEPTEMBER	30	113,908	3,796	0,64	708,72	19,933
OKTOBER	31	150,454	4,853	0,64	708,72	25,478
NOPEMBER	30	189,938	6,331	0,64	708,72	33,237
DESEMBER	31	218,648	7,053	0,64	708,72	37,027

B A B - IV

ANALISA ANGKUTAN SEDIMENT

4.1. U m u n

Air hujan yang jatuh dan mengalir dipermukaan bumi sebagai limpasan yang berupa aliran air permukaan dapat menyebabkan terjadinya erosi tanah.

Kemudian air bersama dengan hasil erosi tersebut mengalir kedataran yang lebih rendah hingga sampai ke laut.

Aliran tersebut akan melalui sungai-sungai yang merupakan jalur-jalur aliran air dipermukaan bumi.

Erosi tanah ini dapat terjadi di permukaan tanah maupun di saluran-saluran sungai-sungai dan alur-alur-alam yang lain. Akibatnya menjadi beban angkutan sediment pada aliran sungai.

Adanya aliran di sungai atau saluran akan menimbulkan gaya seretan yang bekerja searah aliran.

Gaya seretan merupakan faktor terjadinya erosi dan angkutan sedimen pada saluran tersebut.

Kenaikan kecepatan aliran akan meningkatkan gaya seretan dan pada suatu saat tertentu besarnya melebihi gaya seret ijin untuk saluran yang bersangkutan, pada keadaan ini proses erosi mulai terjadi.

Air akan mulai menggerus dasar dan tebing saluran yang hasilnya akan terangkat ke hilir.

Dengan menurunnya kecepatan aliran, sedimen yang terbawa ke hilir mulai mengendap di dasar sungai, di tempat yang jauh ke hilir dari lokasi penggerusan.

Faktor-faktor terpenting yang mempengaruhi erosi ialah resim curah hujan, tumbuh-tumbuhan yang menutupi tanah jenis tanah dan kemiringan tanah.

Karena peranan penting dari impak tetesan air hujan , maka tumbuh-tumbuhan memberikan perlindungan yang penting terhadap erosi, yaitu dengan menyerap energi jatuhnya air hujan dan biasanya mengurangi ukuran-ukuran dari butir-butir air hujan yang mencapai tanah.

Tumbuh-tumbuhan dapat juga memberikan perlindungan mekanis pada tanah terhadap erosi selokan. Lagi pula tumbuh-tumbuhan yang menyelimuti tanah dengan baik umumnya menambah kapasitas infiltrasi melalui penambahan bahan organik pada tanah.

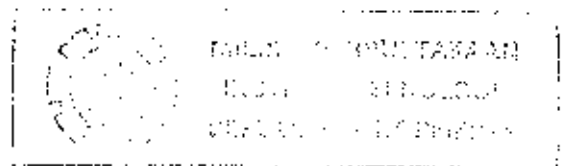
Kapasitas infiltrasi yang lebih tinggi berarti mengurangi aliran di atas tanah dan akibatnya memperkecil erosi.

Tanah kohesif akan menahan erosi percikan lebih mudah dari pada tanah lus.

Umumnya erosi percikan meningkat dengan bertambahnya fraksi pasir dalam tanah akibat hilangnya kohesi.

Erosi percikan berkurang dengan bertambahnya prosentase dari air agregat stabil.

Tanah yang butiran-butirannya tidak mempunyai tendensi untuk membentuk agregat akan bererosi lebih mudah dibanding dengan tanah yang mempunyai agregat berlimpah-limpah.



Tingkat erosi lebih besar pada slope yang curam dibanding pada slope yang datar. Lebih curam slopenya-lebih efektif erosi percikan yang terjadi dalam tanah-berlereng yang bergerak turun. Kecepatan pengaliran - permukaan tanah juga lebih besar pada slope yang curam dan gerakan-gerakan tanah lebih mungkin terjadi pada - daerah curam.

Panjang slope juga penting. Lebih pendek panjang slope nya, lebih cepat material yang tererosi mencapai anak-anak sungai, tapi hal ini diimbangi oleh kenyataan bahwa debit dan kecepatan aliran di atas tanah meningkat-dengan bertambahnya panjang.

Tata guna tanah juga merupakan suatu faktor penting - dalam menetapkan tingkat erosi.

Pengaturan tata tanah yang jelek, pembuatan jalan yang tidak hati-hati dapat sangat mempercepat erosi.

Pemusnahan tumbuh-tumbuhan karena kebakaran atau dipotong, juga dapat memperbesar bahaya erosi.

Pengaturan konservasi tanah yang baik dapat sangat memperkecil kehilangan-kehilangan akibat erosi.

Persamaan universal kehilangan tanah mencoba untuk menggabungkan semua faktor-faktor ini, namun sukar untuk - mengungkapkan resim curah hujan dalam suatu bilangan - indeks tunggal, dan penentuan ketererosian (erosibility) tanah biasanya belum tersedia.

Karenanya, persamaan ini dan lain-lain yang bersifat - serupa adalah suatu perkiraan yang terbaik.

4.2. Erosi di DAS Parit Raya

Untuk memperkirakan besarnya kehilangan tanah pada DAS Parit Raya dipakai formula USLE (Universal Soil Loss Equation) yang diperkenalkan oleh Wischmeir dan Smith yang kemudian dikembangkan oleh Dinas Konservasi Tanah Departemen Pertanian Amerika Serikat. Metode ini didasarkan pada data yang banyak dari beberapa lokasi yang diolah dengan analisa statistik, sehingga memungkinkan perencanaan dari managemen tanah dalam memperkirakan kecepatan erosi permukaan tanah untuk berbagai keperluan tergantung pada keadaan hujan, macam tanah dan kondisi yang paling sesuai untuk setiap daerah yang ditinjau.

Perumusan USLE ditunjukkan dibawah ini :

$$A = R \times K \times LS \times C \times P \quad *)$$

Dimana : A = laju kehilangan tanah tiap unit luas
(ton/ha/th)

R = faktor erositas

K = faktor erodibilitas tanah

L = faktor panjang lalang

S = faktor kemiringan lereng

LS = faktor kelerengan

C = faktor pengelolaan tanaman

P = faktor konservasi tanah

*). Sumber : " Hidrologi Teknik ", Soemarto CD, Ir. BAE,
Dip. H

a. Faktor erosivitas (R).

Harga erosivitas menunjukkan kemampuan potensial hujan yang menyebabkan erosi tanah dan merupakan fungsi dari karakteristik hujan.

Sifat curah hujan yang mempengaruhi erositas dipandang sebagai energi kinetik butir-butir hujan yang manambah permukaan tanah.

Korelasi interaksi energi intensitas hujan merupakan perkalian antara total energi kinetik dengan intensitas hujan maksimum selama 30 menit.

$$R = EI_{30} \quad (\text{Hudson 1971})$$

Untuk Indonesia, Bols membuat pendekatan terhadap nilai EI_{30} sebagai berikut :

$$EI_{30 \text{ bulanan}} = 6,119 \cdot R_b^{1,211} \cdot N^{-0,471} \cdot R_{\max}^{0,526} \quad *)$$

dimana,

$EI_{30 \text{ bulanan}}$ = nilai erosivitas hujan

R_b = curah hujan harian rata-rata bulanan (mm)

R_{\max} = curah hujan harian maksimum bulanan (mm)

N = jumlah hari hujan selama satu bulan.

b. Faktor Erodibilitas tanah (K).

Nilai erodibilitas tanah menunjukkan kemudahan tanah mengalami erosi, yang ditentukan oleh berbagai sifat-fisik dan kimia tanah.

*). Sumber : Diktat Kuliah Pelestarian Air dan Reklamasi, Sofia, F., Ir.

Erodibilitas tanah merupakan laju erosi persatuan indek erosi yang diukur dalam suatu plot tanah dalam keadaan standard.

Tanah dalam keadaan standard mempunyai ciri - ciri :

- tanah terbuka, tidak ada vegetasi sama sekali (di - berokan) dan diolah membujur lereng.
- sudut lereng 9 % dan panjang lereng 72,6 feet
(=22,1 m)

Kondisi ini diasumsikan memberikan nilai LS, C dan P masing-masing sama dengan 1,0 , sehingga persamaan laju kehilangan tanah menjadi :

$$A = EI_{30} \times K \text{ atau } K = \frac{A}{EI_{30}}$$

dimana,

K = faktor kepekaan erosi atau erodibilitas tanah baku.

A = laju kehilangan tanah pada kondisi baku.

EI_{30} = index erosi hujan atau erosivitas

Sehingga harga K semakin kecil untuk tanah yang tidak mudah mengalami erosi,

Selanjutnya nilai-nilai faktor K tertera pada tabel - 4.1.

c. Faktor Kelerengan (LS).

Harga ini mempertimbangkan terhadap adanya kenaikan jumlah limpasan yang terjadi sejauh L dan puncak kemiringan medan S .

Tabel 4.2 : Perkiraan nilai CP dari berbagai jenis
*) Tata Guna Tanah di Pulau Jawa

Jenis penggunaan tanah	Nilai (CxP)
Hutan tak terganggu	0,001
tanpa under growth	0,003
tanpa under growth dan seresah	0,005
Semak tak terganggu	0,01
sebagian rumput	0,10
Kebun campuran tahun	0,02
Kebonan	0,07
Kebun pekarangan	0,20
Perkebunan penutupan tanah sempurna	0,01
ditumbuh alang-alang	0,02
pembakaran alang-alang setahun	
sekali	0,060
Jenis serat (citronella grass)	0,65
Tanaman pertanian umbi-umbi bakar	0,63
biji-bijian	0,51
kacang-kacangan	0,36
campuran	0,43
padi irigasi	0,02
perladangan 1 tahun tanah 1 tahun bero	0,28
1 tahun tanah 2 tahun bero	0,19

*) Sumber Penelitian dan Evaluasi Tingkat Erosi yang terjadi pada suatu daerah pengairan, DPMA, 1982.

Tabel 4.1 : Harga faktor Erodibilitas Tanah (K)^{*)}

Jenis tanah	Tempat evaluasi	Faktor K
Dunkirk silt loam	Geneva, Ny	0,69
Keene silt loam	Zanesville, Ohio	0,48
Shelby loam	Belhany, Mo	0,41
Lodi loam	Blacksburg, Va	0,39
Fayette silt loam	La Crosse, Wis	0,38
Cecil sandy clay loam	Watkinsville, 6n	0,36
Marshall silt loam	Clarinda, Jawa	0,33
Ida silt loam	Costana, Jawa	0,33
Mansic Clay loam	Hays, Kansas	0,32
Hag silty clay loam	State College, Pa	0,31
Austin clay	Temple, Texas	0,29
Mexico silt loam	Mc Credle, Mc	0,28
Honeoye silt loam	Marcellus, N	0,28
Ontario Loam	Geneva, Ny	0,27
Cecil clay Loam	Watkinsville, Ga	0,26
Bosivell fine sandy loam	Tyler, Texas	0,25
Cecil sandy loam	Watkinsville, Ga	0,23
Zaneis fine sandy loam	Guthrie, Okla	0,22
Tifton loamy sand	Tifton, Ga	0,10
Free hold loamy sand	Marlboro, Ny	0,08
Bath flaggy silt loam	Arnart, Ny	0,05
Albia gravelly loam	Beemerville, Ny	0,03
Cecil sandy loam	Clemson, Co	0,28

Sumber : Predicting Rainfall Erosion Losses East of the Rocky Mountains, Weismeier, WH and DD Smith.

Selanjutnya faktor LS dapat dihitung dengan menentukan panjang lereng L dan kemiringan lereng S yang merupakan parameter untuk mendapatkan harga LS, dengan perumusan sebagai berikut :

$$\text{Untuk } S \leq 20\% ; LS = \frac{\sqrt{L}}{100} (1,38 + 0,965S + 0,138 \cdot S^2) \quad *)$$

$$\text{Untuk } S > 20\% ; LS = \left(\frac{L}{22,1} \right)^{0,6} \times \left(\frac{S}{g} \right)^{1,4} \quad *)$$

dimana , L = panjang lereng (m)

S = kemiringan lereng (%)

Dengan pengertian bahwa erosi tanah terjadi akibat adanya limpasan maka panjang lereng dapat diartikan sebagai panjang lereng dari aliran limpasan.

$$L = L_0 = \frac{1}{2 D} \quad *)$$

dimana , D = kerapatan drainase yang dapat dihitung dengan rumus :

$$D = 1,35 d + 0,265 S + 2,80$$

d = kerapatan drainase hasil perhitungan dari peta topografi

S = kemiringan lereng rata-rata (%)

d. Faktor pengelolaan tanaman dan konservasi tanah (CP)

Faktor pengelolaan tanaman (C) merupakan perbandingan antara besarnya erosi pada lahan yang ditanami tanaman tertentu dengan cara penanaman searah lereng, ter-

*). Sumber : Penelitian dan Evaluasi Tingkat Erosi yang terjadi pada suatu daerah pengaliran, DPMA. 1982.

hadap besarnya erosi pada lahan yang sama tanpa ditutupi namai.

Faktor konservasi tanah (P) merupakan perbandingan - antara jumlah erosi pada lahan dengan tindakan konservasi tertentu, terhadap jumlah erosi pada lahan - yang sama tanpa konservasi.

Kedua faktor tersebut tidak dapat dipisahkan secara-jelas, karena keduanya menunjukkan suatu inter relasi yang nyata.

Perkiraan nilai CP dapat dilihat pada tabel 4.2

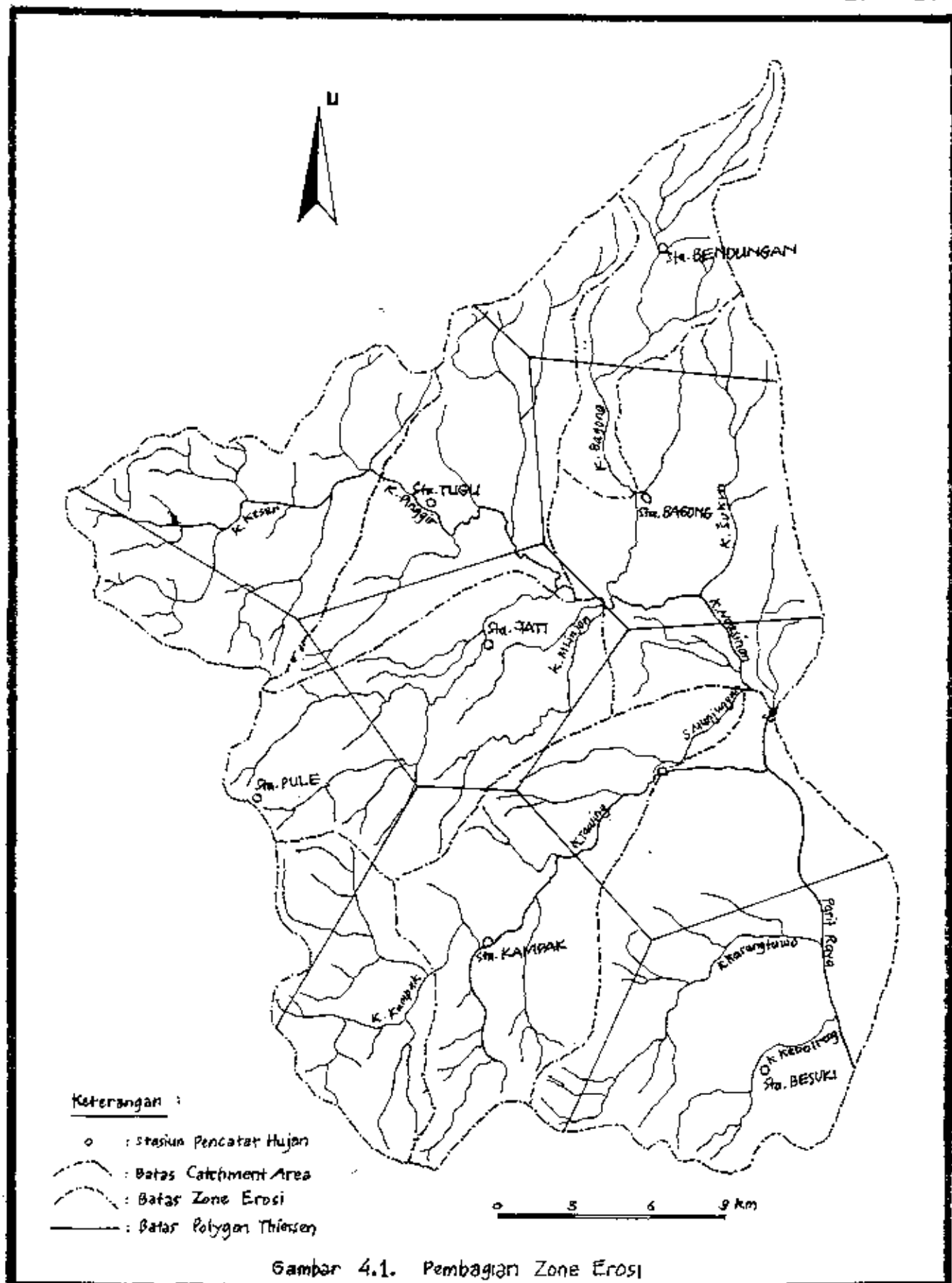
e. Perhitungan :

- Pembagian zone.

Untuk lebih memudahkan perhitungan, maka DAS Parit Raya dibagi menjadi beberapa zone sesuai dengan kondisi topografi dan sistem sungai yang ada (Gambar 4.1), yaitu :

- Zone 1 meliputi DAS kali Keser
- Zone 2 meliputi DAS kali Pinggir
- Zone 3 meliputi DAS kali Juno
- Zone 4 meliputi DAS kali Bagong
- Zone 5 meliputi DAS kali Sukun
- Zone 6 meliputi DAS kali Mlinjon
- Zone 7 meliputi DAS kali Kampak
- Zone 8 meliputi DAS kali Tawing
- Zone 9 meliputi DAS kali Karangtuwo dan kali Kebo ireng.





Gambar 4.1. Pembagian Zone Erosi

- Perhitungan EI_{30} bulanan.

EI_{30} bulanan dihitung berdasarkan pembagian luas pengaruh hujan dengan metode Theissen, dimana data - data hujan dianggap berpengaruh pada zone tertentu, dengan rumus :

$$EI_{30 \text{ bulanan}} = 6,119 R_b^{1,211} N^{-0,074} R_{\max}^{0,526}$$

Harga-harga R_b , N dan R_{\max} diambil dari tabel 2.3

Misal, zone 9, tahun 1970

Daerah Tugu : $R_b = 10,98 \text{ mm}$; $N = 12 \text{ hari}$

$$R_{\max} = 34,33 \text{ mm}; EI_{30} = 221,983$$

Daerah Pule : $R_b = 15,35 \text{ mm}$; $N = 11 \text{ hari}$

$$R_{\max} = 43,25 \text{ mm}; EI_{30} = 391,823$$

Daerah Jati : $R_b = 16,39 \text{ mm}$; $N = 9 \text{ hari}$;

$$R_{\max} = 52 \text{ mm}; EI_{30} = 514,110.$$

Selanjutnya hasil perhitungan EI_{30} disajikan pada - tabel 4.3.

- Perhitungan LS.

Berdasarkan data-data yang diambil dari peta topografi (Gambar 1.1) maka harga LS dapat dihitung dengan perumusan-perumusan pada sub bab 4.2.d yang hasil perhitungannya disajikan pada tabel 4.4.

- Perkiraan harga K dan CP

Harga K dipilih = 0,33 dimana jenis tanah - dan tempat evaluasi (Tabel 4.1) dianggap paling sesuai dengan kondisi daerah studi.

Sedangkan harga CP diambil dari tabel 4.2, seperti ditunjukkan di bawah ini :

Daerah	CP
Daerah Tugu	0,02
Daerah Pule	0,01
Daerah Jati	0,02
Daerah Bagong	0,01
Daerah Bendungan	0,0005
Daerah Widoro	0,02
Daerah Kampak	0,001
Daerah Besuki	0,01

Selanjutnya perhitungan besarnya kehilangan tanah di DAS Parit Raya dapat dilihat pada tabel 4.5

Tabel 4.3. Hasil Perhitungan Bangku El 30 Tiap Musuh Pengaruh Hujan (1970 - 1984)

No.	Tahun	Pengaruh Hujan	BESUKI	KAMPAK	PULE	WIDORO	JATI	TUGU	BAGONG	BENDUNGAN
1	1970	487,238	646,290	391,823	397,229	514,110	221,983	328,430	764,388	
2	1971	828,211	546,277	353,529	963,703	471,851	199,370	344,981	1182,894	
3	1972	449,224	341,307	165,023	287,149	137,063	155,358	224,775	600,531	
4	1973	871,485	644,571	519,783	308,366	327,692	345,809	268,343	377,403	
5	1974	1081,966	631,810	388,085	403,925	343,451	465,191	378,835	623,392	
6	1975	684,466	542,184	472,347	376,343	344,112	422,881	269,401	573,856	
7	1976	719,688	255,280	376,168	118,834	188,363	221,946	117,910	493,066	
8	1977	407,957	223,627	390,532	181,156	207,633	178,569	137,725	553,981	
9	1978	846,515	913,475	445,151	359,204	388,188	451,132	317,753	416,987	
10	1979	704,905	816,136	348,009	266,013	223,292	214,754	273,164	594,541	
11	1980	553,696	510,248	309,255	211,568	253,287	202,228	165,358	204,820	
12	1981	450,583	653,873	487,523	232,402	333,971	579,980	416,227	639,966	
13	1982	263,142	280,726	270,147	239,849	156,098	371,801	267,148	503,715	
14	1983	478,490	499,498	249,944	155,056	283,729	283,202	327,224	511,599	
15	1984	518,588	368,358	190,638	219,056	499,406	415,388	436,394	484,422	
	R	624,210	526,244	357,197	314,657	311,483	315,306	284,651	568,335	

Tabel 4.4. Perhitungan Harga Faktor Kelerengan LS

Zone	L (Km)	F (Km ²)	d = $\frac{L}{F}$	S (%)	D	$L_0 = \frac{1}{2D}$	LS
1	75,8	68,29	1,110	4,29	5,435	91,990	0,773
2	23,35	18,52	1,2608	4,13	5,597	89,341	0,730
3	65,2	82,63	0,7891	5,42	5,302	94,311	1,036
4	31,15	44,30	0,7077	4,62	4,980	100,408	0,880
5	75,4	100,57	0,7497	2,65	4,514	110,758	0,858
6	75,9	95,33	0,7962	9,85	4,946	101,088	2,441
7	49,3	51,99	0,9483	15,38	8,156	61,305	3,826
8	80,9	96,77	0,836	11,03	6,852	72,976	2,461
9	72,8	150,32	0,4843	10,91	6,345	78,803	2,515

Tabel 4.5. Perhitungan Erosi di DAS Parit Raya

Zone	Daerah	Luas (Ha)	EI ₃₀	K	LS	CP	A (ton/th)	Volume (m ³ /th)
1	TUGU	4110	315,306	0,33	0,773	0,02	6611,462	
	PULE	2689	357,197	0,33	0,773	0,001	245,015	
	JATI	30	311,483	0,33	0,773	0,02	47,674	
							6904,151	2653,912
2	TUGU	1852	315,306	0,33	0,730	0,02	2813,455	1081,474
3	BACONG	612	284,651	0,33	1,036	0,01	595,577	
	JATI	1232	311,483	0,33	1,036	0,02	2623,909	
	TUGU	4781	315,306	0,33	1,036	0,02	10307,531	
	PULE	203	357,197	0,33	1,036	0,001	24,790	
	BENDUNGAN	1435	568,335	0,33	1,036	0,005	1394,120	
							14945,927	5745,119

lanjutan :

Zone	Daerah	Luas (Ha)	EI ₃₀	K	LS	CP	A (ton/th)	Volume (m ³ /th)
4	BAGONG BENDUNGAN	806 3624	284,651 568,335	0,33 0,33	0,880 0,880	0,01 0,005	666,261 <u>2990,606</u> 3656,867	
5	WIDORO JATI BAGONG BENDUNGAN	1916 107 7198 836	314,657 311,483 284,651 568,335	0,33 0,33 0,33 0,33	0,858 0,858 0,858 0,858	0,02 0,02 0,01 0,005	3414,005 188,734 5801,306 <u>672,639</u> 10076,684	1405,676
6	PULE JATI KAMPAK WIDORO	3169 5241 802 321	357,197 311,483 624,210 314,657	0,33 0,33 0,33 0,33	2,441 2,441 2,441 2,441	0,001 0,02 0,001 0,02	911,826 26300,271 403,262 <u>1627,249</u> 29242,608	
7	KAMPAK PULE	3958 1241	624,210 357,197	0,33 0,33	3,826 3,826	0,001 0,001	3119,359 <u>559,678</u> 3679,037	
8	KAMPAK JATI WIDORO	6776 82 2819	624,210 311,483 314,657	0,33 0,33 0,33	2,416 2,416 2,416	0,001 0,02 0,02	3435,023 414,862 <u>14407,480</u> 18257,365	7018,015
9	BESUKI KAMPAK WIDORO	9147 1094 4791	624,260 526,244 314,657	0,33 0,33 0,33	2,515 2,515 2,515	0,01 0,001 0,02	47387,231 477,811 <u>25023,352</u> 72808,394	
Total							A=162464,488	V=62450,313
Luas = 708,72 Km ²								

Jadi laju kehilangan tanah di DAS Parit Raya adalah :

Total volume kehilangan tanah per tahun = 62450,313
luas DAS Parit Raya = 708,72

= 0,088 mm/tahun

4.3. Jenis Material Sedimen Pada Aliran Sungai.

Material sedimen yang diangkut oleh aliran sungai dapat digolongkan dalam beberapa macam, berdasarkan pada mekanisme pengangkutannya, tempat asalnya dan distribusi butirannya.

Berdasarkan mekanisme pengangkutannya, maka material sedimen yang terangkut dalam aliran sungai, dapat digolongkan menjadi 2 jenis, yaitu :

- Bed Load.

Merupakan material sedimen yang bergeraknya dalam aliran dengan cara bergulir, meluncur atau menggelinding pada dasar sungai.

Mekanisme yang demikian itu, dapat menyebabkan terjadinya benturan-benturan butiran material sedimen dan kemudian berlompatan di atas permukaan dasar sungai. Butiran-butiran yang dalam pangangkutannya selalu berlompatan, disebut sebagai saltation load.

Faktor utama terjadinya saltation load adalah turbulensi aliran dan gravitasi.

Karena turbulensi aliran, maka kecepatan geser dan gaya seret yang terjadi melebihi batas kritis yang dapat ditahan oleh butiran, sehingga butiran terangkat ke atas. Dengan adanya pengaruh gravitasi, maka butiran-butiran tersebut mempunyai kecepatan jatuh tertentu yang melebih pengaruh turbulensi alirannya sehingga butiran tertarik kembali ke bawah.

- Suspended Load.

Merupakan material sedimen yang ukuran butirannya kurang dari 0,1 mm dan senantiasa bergerak melayang dalam aliran. Material sedimen ini tidak berpengaruh terhadap perubahan dasar sungai, tetapi dapat mengendap di dasar waduk-waduk atau muara-muara sungai, sehingga menimbulkan pendangkalan waduk atau muara sungai tersebut dan menyebabkan timbulnya berbagai masalah.

Berdasarkan tempat asal material sedimen terangkut dalam aliran sungai, dibedakan menjadi 2 jenis, yaitu :

- Bed Material Transport.

Merupakan material sedimen yang berasal dari hasil gerusan pada dasar dan atau tebing sungai yang kemudian terangkut dalam aliran sungai.

Oleh karena itu terjadinya Bed Material Transport ditentukan oleh kondisi aliran serta kondisi dasar dan atau tebing sungai tersebut .

Material sedimen itu dalam pengangkutannya dapat berupa Bed Load dan atau Suspended Load.

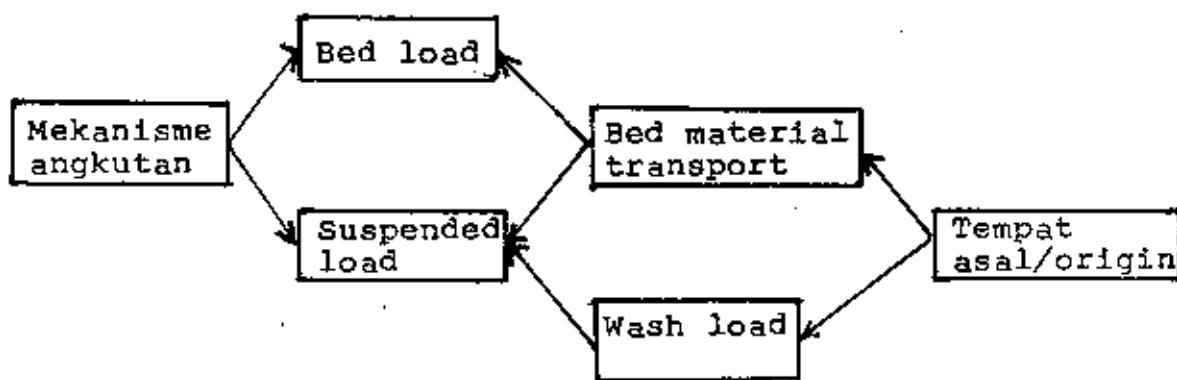
- Wash Load.

Merupakan material sedimen yang berasal dari luar alur sungai, sehingga terjadinya material ini tidak berhubungan langsung dengan kondisi alur dan arus sungai. Dalam pengangkutannya material ini hanya dapat merupakan suspended load.

Ukuran butirannya sangat halus, umumnya kurang dari 50-14m, walaupun air tidak lagi mengalir, tetapi butiran ini tetap tidak mengendap dan kondisi airnya tetap saja keruh.

Wash load tidak penting terhadap perubahan dasar s_aluran, tetapi untuk sedimentasi didalam reservoir menjadi penting.

Pembagian jenis material sedimen berdasarkan mekanisme angkutannya dan tempat asal bahan angkutan secara schematis ditunjukkan sebagai berikut :



Berdasarkan pada gradasi butirannya, maka mate - rial sediment dapat diklasifikasikan sebagai berikut :

- Clay (lempung)	< 0,24	m
- Silt (lanau)	= 4 - 62	m
- Sand (pasir)	62 - 2000	m
- Gravel (kerikil)	2 - 64	mm
- Cobles (batu kerikil/pecahan)	= 64 - 250	mm
- Boulders (butir besar)	> 250	mm

4.4. Angkutan Sedimen Pada Alur Parit Raya.

Mengingat bahwa perubahan jumlah angkutan sedimen pada aliran sungai sering menimbulkan dampak yang negatif, maka sangat perlu dilakukan perhitungan mengenai jumlah angkutan sedimen pada aliran sungai.

Usaha-usaha yang dilakukan selama ini untuk menentukan-perumusan angkutan sedimen, sebagian besar berdasarkan pada hasil percobaan dengan memakai saluran buatan yang mempunyai syarat-syarat tertentu, yang kemudian dicocokkan dengan hasil pengukuran di lapangan agar dapat ditentukan koefisien-koefisien yang menjadi dasar penyusunan rumus.

Dengan demikian rumus-rumus yang dipakai sebagian besar bersifat empiris, oleh karena itu dalam pemakaiannya - seyogyanya dipertimbangkan kecocokannya dengan kondisi saluran yang ditinjau.

Untuk menentukan jumlah angkutan bed load, rumus yang sering dipakai antara lain rumus Shields, Meyer - Peter - Muller (MPM), Engelund and Hansen, Einstein dan sebagainya.

Dalam menentukan jumlah angkutan suspended load, umumnya dipakai metode pengukuran kecepatan aliran dan konentrasi beban suspensinya pada suatu penampang tertentu.

a. Angkutan Muatan Dasar (Bed Load).

Untuk menentukan jumlah angkutan bed load pada alur-
*)
Parit Raya maka dipakai rumus Meyer Petter Muller -
*). Sumber : "Diktat Kuliah Sediment Transport", Soejadi
Bambang, Ir. Dipl. H.

(MPM). Rumus empiris MPM ditekankan pada adanya reduksi terhadap gaya seret aliran, yang disebabkan oleh faktor Ripples yang terbentuk pada saat butiran mulai bergerak sehingga gaya seret tersebut menjadi lebih kecil.

Parameter-parameter pada perumusan MPM yang dipakai untuk menghitung jumlah angkutan bed load adalah :

$$\tau_o = \rho_w g R I$$

$$\tau_{o'} = \mu \tau_o$$

$$\mu = \left(\frac{c}{C} \right)^{3/2}$$

$$C = \frac{\delta}{\sqrt{R I}}$$

$$C' = 18 \log \frac{12 R}{k_s} \quad (\text{untuk batas hidrolis kasar : } k_s > 6\delta) \quad *)$$

$$C' = 18 \log \frac{12 R}{0,3\delta} \quad (\text{untuk batas hidrolis licin : } k_s < 0,3\delta) \quad *)$$

$$C' = 18 \log \frac{12 R}{k_s + 0,3\delta} \quad (\text{untuk batas hidrolis transisi : } 0,3\delta < k_s < 6\delta) \quad *)$$

$$\delta = \frac{11,6 \sqrt{I}}{\sqrt{g R I}}$$

$$\psi' = \frac{\tau_{o'}}{\Delta \cdot g \cdot \rho_w \cdot D_m} \quad ; \quad \Delta = \frac{\rho_s - \rho_w}{\rho_w}$$

$$\phi = (4\psi' - 0,188)^{3/2}$$

$$s_b = \phi \sqrt{g \cdot D_m^3}$$

dimana :

τ_o = gaya seret aliran air dalam saluran (N/m^2)

$\tau_{o'}$ = gaya seret tereduksi, akibat adanya faktor Ripples (N/m^2)

*). Setelah Nikuradse dan Whitecolebrook

- μ = faktor Ripples
 C = koefisien kekasaran Chezy hasil perhitungan berdasarkan data hidrolis penampang pengamatan ($m^{\frac{1}{2}}/\text{detik}$)
 C' = koefisien kekasaran Chezy sesuai dengan kondisi-batas hidrolis aliran ($m^{\frac{1}{2}}/\text{det}$)
 \bar{U} = kecepatan aliran rata-rata (m/det)
 U^* = kecepatan geser pada dasar sungai (m/det)
 δ = tebal lapisan viskus (m)
 γ = viskositas kinematis (m^2/det)
 R = jari-jari hidrolis (m)
 g = percepatan gravitasi (m/det^2)
 I = kemiringan dasar saluran
 ρ_w = massa jenis air (kg/m^3)
 ρ_s = massa jenis material sedimen (kg/m^3)
 ψ, ϕ = parameter tak berdimensi
 Ks = tinggi kekasaran equivalen dari pasir (sesudah Nikuradse).
 = D_{90} = diameter butiran dimana 90 % campuran material sedimen lolos ayakan (lebih halus)
 D_m = diameter rata-rata yang diambil dari persentase distribusi ukuran komulatif.

$$= \frac{\sum P_i \cdot D_i}{\sum P_i}$$

 dimana :
 P_i = batas persentase dari sample dalam percobaan saringan ke i
 D_i = nilai rata-rata aritmathic batas percobaan saringan ke i dan (i + 1)

Langkah-langkah perhitungannya ditunjukkan dibawah ini

- Menghitung harga koefisien kekasaran Chezy (C) berdasarkan data kecepatan aliran (\bar{U}), penampang basah (A), dan keliling basah (P) penampang tempat pengamatan angkutan bed load (tabel 2.5).

Perhitungan : Data tgl. 4 Juni 1982.

$$I = 0,0006$$

$$A = 8,307 \text{ m}^2$$

$$P = 17,751 \text{ m}$$

$$\bar{U} = 0,423 \text{ m/det, sehingga}$$

$$R = \frac{A}{P} = \frac{8,307}{17,751} = 0,468 \text{ m}$$

$$C = \frac{\bar{U}}{\sqrt{RI}} = \frac{0,423}{\sqrt{0,468 \cdot 0,0006}} \\ = 25,243 \text{ m}^{1/2}/\text{det}$$

Perhitungan selanjutnya disajikan pada tabel 4.6, sehingga didapat harga rata-rata

$$\bar{C} = 25,5134 \text{ m}^{1/2}/\text{det}$$

$$\bar{R} = 1,6783 \text{ m}$$

- Menentukan harga jari-jari hidrolis R yang memadai untuk debit harian Q (tabel 3.14), berdasarkan data-data

Tabel 2.5 : B = 12 m

$$z = 1,5$$

$$I = 0,0006$$

Tabel 4.6 : C = $\bar{C} = 25,5134 \text{ m}^{1/2}/\text{det.}$

Tabel 4.6. Perhitungan Kekasaran GHEZY (C)

No.	Tgl., Bulan, Tahun Pengamatan	Debit Aliran (m ³ /det)	Luas Penampang Bawah A (m ²)	Keliling Bawah P (m)	Kecepatan Aliran rata- rate \bar{V} (m/det)	Jari-jari Hidrolik $R = \frac{A}{P}$ (m)	Kemiringan datar I	$C = \frac{\bar{V}}{R}$ (m ² /det)
1	4-6-1982	3,514	8,307	17,751	0,423	0,468	0,0006	25,243
2	11-6-1982	5,936	12,961	13,445	0,058	0,964	0,0006	19,044
3	15-6-1982	106,06	75,007	18,188	1,414	4,124	0,0006	28,426
4	22-6-1982	9,718	16,527	13,796	0,588	1,198	0,0006	21,932
5	6-7-1982	39,836	41,765	18,472	0,955	2,621	0,0006	24,082
6	15-7-1982	253,886	127,325	21,066	1,994	6,044	0,0006	33,112
7	20-7-1982	40,447	45,548	16,215	0,889	2,809	0,0006	21,630
8	27-7-1982	11,592	18,459	13,984	0,628	1,32	0,0006	22,315
9	12-8-1982	34,128	34,683	15,380	0,984	2,255	0,0006	26,751
10	20-8-1982	14,54	23,043	14,402	0,631	1,6	0,0006	20,365
11	31-8-1982	2,278	4,716	12,577	0,493	0,375	0,0006	32,2
12	7-9-1982	0,855	2,143	12,245	0,399	0,175	0,0006	38,938
13	14-9-1982	0,209	1,148	12,038	0,182	0,095	0,0006	24,106
14	21-9-1982	0,196	1,139	12,123	0,172	0,094	0,0006	22,903
15	28-9-1982	51,694	49,186	16,478	1,051	2,985	0,0006	24,834
16	5-10-1982	16,018	21,705	14,279	0,738	1,52	0,0006	24,438
17	12-10-1982	5,571	10,591	13,206	0,526	0,802	0,0006	23,979
18	19-10-1982	5,332	10,004	13,146	0,533	0,761	0,0006	24,944

$$R_{\text{rata-rata}} = 1,6783$$

$$C_{\text{rata-rata}} = 25,5134$$

Dengan cara Trial and error, maka hasil perhitungan harga R disajikan pada tabel. 4.7

- Menentukan kondisi batas hidrolik dasar saluran berdasarkan data-data :

Tabel 4.6 : $\bar{R} = 1,6783 \text{ m}$; $I = 0,0006$

Gambar 2.2 : $K_s = D_{90} = 0,7 \text{ mm}$

$$\text{maka} \quad : \quad \delta = \frac{11,6 \nu}{U} = \frac{11,6 \nu}{g \cdot \bar{R} \cdot I} ; \quad \nu = 1 \cdot 10^{-6} \text{ m}^2/\text{det} \quad g = 9,8 \text{ m/det}^2$$

$$\delta = \frac{11,6 \cdot 10^{-6}}{\sqrt{9,8 \cdot 1,6783 \cdot 0,0006}}$$

$$= 0,0001167 \text{ m}$$

$$= 0,1167 \text{ mm}$$

$$\text{Sehingga} \quad : 0,3 \delta = 0,3 \cdot 0,1167 = 0,035 \text{ mm}$$

$$6 \delta = 6 \cdot 0,1167 = 0,7002 \text{ mm}$$

$$\text{Jadi} \quad : 0,3\delta < K_s < 6\delta$$

Dasar saluran pada kondisi batas hidrolik transisi.

- Berdasarkan kondisi di atas, maka harga koefisien Chezy C' dihitung dengan rumus :

$$C' = 18 \log \frac{12 \cdot R}{K_s + 0,3\delta}$$

- Berdasarkan data-data pada tabel 2.5 :

$$\rho_s = 2601,5 \text{ kg/m}^3$$

$$\rho_w = 1000 \text{ kg/m}^3$$

$$\text{maka} \quad \Delta = \frac{\rho_s - \rho_w}{\rho_w} = \frac{2601,5 - 1000}{1000} = 1,6015.$$

Tabel 4.7. Perhitungan Debit Angkutan Bed Load dengan Formula MPM

Bulan	Waktu se-lama satu Bulan (10 ⁵ det)	Debit Harian Q (m ³ /det)	Jari-jari Hidrolis R (m)	Tractive force Z_o (N/m ²)	Kekasaran Chezy turunen C (m ³ /det)	Faktor Ripples $= \left(\frac{c}{C^2}\right)^{\frac{3}{4}}$ $= \left(\frac{c}{C^2}\right)^{\frac{3}{4}} z$	Tractive Force tereduksi Z'_o (N/m ²)	β'	β	Jumlah Angkutan Sedimen S _b (10 ⁻⁴ m ³ /det m ³)	Debit Angkutan Bed Load Q _b (m ³ /bln)
JANUARI	26,784	46,029	2,1799	12,8178	81,9239	0,1738	2,2277	0,5678	3,0064	0,4708	1513,1703
PEBRUARI	25,056	52,964	2,3298	13,6992	82,4438	0,1722	2,3584	0,6011	3,2994	0,5167	1553,5150
MARET	26,784	45,314	2,1637	12,7226	81,8656	0,1740	2,2135	0,5641	2,9751	0,4659	1497,4238
APRIL	25,920	30,972	1,7974	10,5687	80,4157	0,1787	1,8887	0,4814	2,2902	0,3586	1115,4944
MEI	26,784	31,111	1,8017	10,5940	80,4344	0,1786	1,8926	0,4824	2,2980	0,3599	1156,6364
JUNI	25,920	16,602	1,3055	7,6763	77,9161	0,1874	1,4383	0,3666	1,4452	0,2263	703,9486
JULI	26,784	13,926	1,881	11,0603	77,1794	0,1901	2,1022	0,5358	2,7337	0,4281	1375,9235
AGUSTUS	26,784	6,8	0,7974	4,6887	74,0623	0,2018	0,9461	0,2411	0,6843	0,1072	344,3965
SEPTEMBER	25,920	19,933	1,4370	8,4496	78,6663	0,1847	1,5607	0,3978	1,6619	0,2603	809,5000
OKTOBER	26,784	25,478	1,6294	9,5809	79,6486	0,1813	1,7370	0,4427	1,9913	0,3118	1002,2537
NOPEMBER	25,920	33,237	1,8616	10,9462	80,6900	0,1778	1,9462	0,4960	2,4070	0,3769	1172,4205
DESEMBER	26,784	37,027	1,9628	11,5413	81,1039	0,1764	2,0363	0,5190	2,5940	0,4062	1305,6160

Keterangan : Harga jari-jari Hidrolis (R) diperoleh dengan cara trial and error pada suatu penampang Parit Raya - dengan lebar dasar 12,0 m dan dengan menggunakan harga kekasaran Chezy (C) dan Kemiringan (I)-(Tabel 4.6) sehingga harga Debit Aliran identik dengan Debit Harian Q.

Jadi Angkutan Bed Load Total = 13550,2987 m³/tahun
Dengan memperhatikan porositas sedimen ($\epsilon = 0,4$) maka jumlah angkutan bed load :

$$\frac{13550,2987}{1 - \epsilon} = \frac{13550,2987}{1 - 0,4} = 22583,83117 \text{ m}^3/\text{th}$$

$$= 32520,717 \text{ ton/th}$$

Berdasarkan harga-harga dan rumus-rumus tersebut, maka selanjutnya perhitungan jumlah angkutan bed load - ditunjukkan pada tabel 4.7 dan didapat :

$$\text{Jumlah angkutan bed load} = 32520,717 \text{ ton/tahun}$$

b. Angkutan muatan melayang (Suspended load).

Untuk menentukan jumlah angkutan suspended load maka perlu dilakukan pendekatan-pendekatan statistik- berdasarkan korelasi antara debit aliran air dengan - debit aliran suspended load yang diambil dari data - data pengamatan pada penampang saluran tertentu. Pendekatan-pendekatan statistik tersebut ditunjukkan- dalam bentuk persamaan Power Regresi sebagai berikut :

$$Q_s = A \cdot Q_w^B \quad *)$$

dimana :

Q_s = debit aliran suspended load (ton/hari)

Q_w = debit aliran air (m^3/det)

A ; B = konstanta regresi

Apabila persamaan-persamaan tersebut diformulasikan - dalam skala logaritmis maka persamaan Power Regresi - akan merupakan persamaan linier, yakni :

$$\log Q_s = \log A + B \log Q_w$$

Bila $\log Q_s = y$

$\log Q_w = x$

$\log A = Z$

*). Sumber : "Statistical in Hydrology", Shalim, MMA

maka,

$$Y = Z + B x$$

dimana,

$$Z = \frac{\sum y - B \sum x}{n}$$

disebut sebagai konstanta titik potong garis regresi.

$$B = \frac{n \sum xy - \sum x \sum y}{n \sum x^2 - (\sum x)^2}$$

disebut sebagai gradient garis regresi

Berdasarkan data-data pengamatan, maka dapat dibuat hubungan fungsi awal antara debit aliran air dengan debit aliran suspended load, yang tingkat kesempurnaannya ditunjukkan oleh koefisien korelasinya yang nilainya ≤ 1

Apabila nilai koefisien korelasi itu semakin mendekati angka 1, maka didapat korelasi yang makin baik. Koefisien korelasi dinyatakan sebagai berikut :

$$r = \frac{n \sum xy - \sum x \cdot \sum y}{\sqrt{\{(n \sum x^2 - (\sum x)^2\} \{n \sum y^2 - (\sum y)^2\}}} \leq 1$$

Dengan menggunakan data-data hasil pengamatan angkutan suspended load berupa data debit aliran dan data konsentrasi suspended load, dapat ditentukan harga debit angkutan suspended load dengan rumus :

$$Q_s = Q_w \cdot C_s \cdot K$$

dimana,

Q_s = debit angkutan suspended load (ton/hari)

Q_w = debit aliran air (m^3/det)

C_s = konsentrasi suspended load (kg/m^3)

K = konstanta konversi (= 86,4)

Hasilnya terlihat pada tabel 2.4.

Dengan memakai persamaan Power Regression, maka dari hubungan antara data debit aliran air sesaat dengan debit angkutan suspended load tersebut, dapat ditentukan konstanta regresi A, gradient regresi B serta koefisien korelasi r yang disajikan pada tabel-4.8. Dengan menggunakan konstanta-konstanta tersebut, serta berdasarkan data-data debit aliran air rata-rata setiap bulan pengamatan maka dapat ditentukan bersarnya debit angkutan suspended load rata-rata bulanan selama 1 tahun pengamatan, hasilnya ditunjukkan pada tabel 4.9.

Berdasarkan hubungan antara debit aliran air rata-rata setiap bulan pengamatan dengan debit angkutan suspended load-nya dapat ditentukan harga :

$$A = 6,7534$$

$$B = 1,6176$$

$$r = 0,8709$$

Sehingga persamaan Power Regressionnya adalah :

$$Q_s = 6,7534 Q_w^{1,6176}$$

Tabel 4.8. Konstanta dan Koefisien Regresi serta koefisien Korelasi Bulanan tahun 1982 - 1983.

Bulan	Konstanta A	Koefisien Regresi	Koefisien Korelasi
OKTOBER '82	2,6978	1,7806	0,5308
NOPEMBER '82	10,5308	1,6576	0,9790
DESEMBER '82	18,4999	1,4601	0,9740
JANUARI '83	186,8687	0,8927	0,9525
PEBRUARI '83	173,4855	0,9492	0,9952
MARET '83	258,9811	0,7393	0,9696
APRIL '83	6731,631	-1,3157	-0,5117
MEI '83	1,0690	2,1278	0,8945
JUNI '83	2,2198	2,0600	0,9511
JULI '83	1,7793	1,7555	0,9942
AGUSTUS '83	2,1785	1,9848	0,9853
SEPTEMBER '83	5,0051	1,1069	0,9730

Tabel 4.9. Hasil Perhitungan Angkutan Suspended Load
Rata-rata Bulanan (th. 1982 - 1983).

BULAN	Debit Air QW (m ³ /det)	Angkutan Sue- pended Load Qs (ton/hari)
OKTOBER '82	5,76725	61,0929
NOPEMBER '82	6,035	207,2583
DESEMBER '82	6,5585	288,2609
JANUARI '83	22,03875	2955,2863
PEBRUARI '83	28,4415	4162,2506
MARET '83	46,583	4431,8865
APRIL '83	12,03575	255,0009
MEI '83	16,349	408,3610
JUNI '83	26,0804	1836,2051
JULI '83	109,5518	6773,3145
AGUSTUS '83	13,7545	396,0434
SEPTEMBER '83	13,23825	87,3307

Berdasarkan hasil perhitungan debit harian (tabel 3.14) maka dengan menggunakan persamaan Power Regression diatas dapat diperoleh debit angkutan suspended load bulanan.

Selanjutnya debit angkutan suspended load tiap tahunnya dapat dihitung dengan menjumlahkan debit-debit angkutan suspended load bulanan tersebut.

Hasilnya disajikan pada tabel 4.10.

Tabel 4.10. Hasil Perhitungan Angkutan Suspended Load
Rata-rata Tahunan.

BULAN	Debit Harian QW (m ³ /det)	Angkutan Sus.L Qs (ton/hari)	Angkutan Sus.L Qs (ton/bulan)
JANUARI	46,029	3308,585	102566,135
FEBRUARI	52,964	4151,775	116249,692
MARET	45,314	3225,849	100001,312
APRIL	30,972	1743,068	52292,040
MEI	31,111	1755,7396	54427,929
JUNI	16,602	635,703	19071,076
JULI	13,926	478,383	14829,883
AGUSTUS	6,800	150,0337	4651,045
SEPTEMBER	19,933	854,498	25634,950
OKTOBER	25,478	1270,971	39400,090
NOPEMBER	23,237	1953,880	58616,405
DESEMBER	37,027	2326,795	72130,632

Jadi Angkutan Suspended Load total = 659871,189 ton/tahun.

c. Jadi angkutan sedimen total pada alur Parit Raya dapat ditentukan dengan menjumlahkan angkutan bed load dan angkutan suspended load sebagai berikut :

- Angkutan bed load = 32520,717 ton/tahun
- Angkutan suspended load = 659871,189 ton/tahun.

Total = 692391,906 ton/tahun

4.5. Kondisi Aliran Parit Raya.

Aliran sungai merupakan sarana angkutan material sedimen. Selain ditentukan oleh adanya debit yang masuk, maka aliran dipengaruhi pula oleh profil memanjang dan melintang sungai.

Sedangkan perubahan angkutan sedimen oleh aliran sungai, khususnya bed load, menjadi sebab yang potensial terhadap perubahan dasar sungai (river bed alteration), kadang-kadang naik(agradasi) ataupun turun (degradasi).

Kondisi aliran dalam aliran sungai dapat ditunjukkan dalam bentuk profil alirannya (garis muka air) Oleh karena itu diperlukan pembahasan dan perhitungan mengenai profil aliran, agar dapat diperkirakan tendensi perubahan dasar sungai sehubungan dengan perlakuan angkutan sediman. Dimana dengan meninjau profil aliran tersebut dapat diperkirakan alokasi terjadinya erosi dan atau sedimentasi pada dasar sungai.

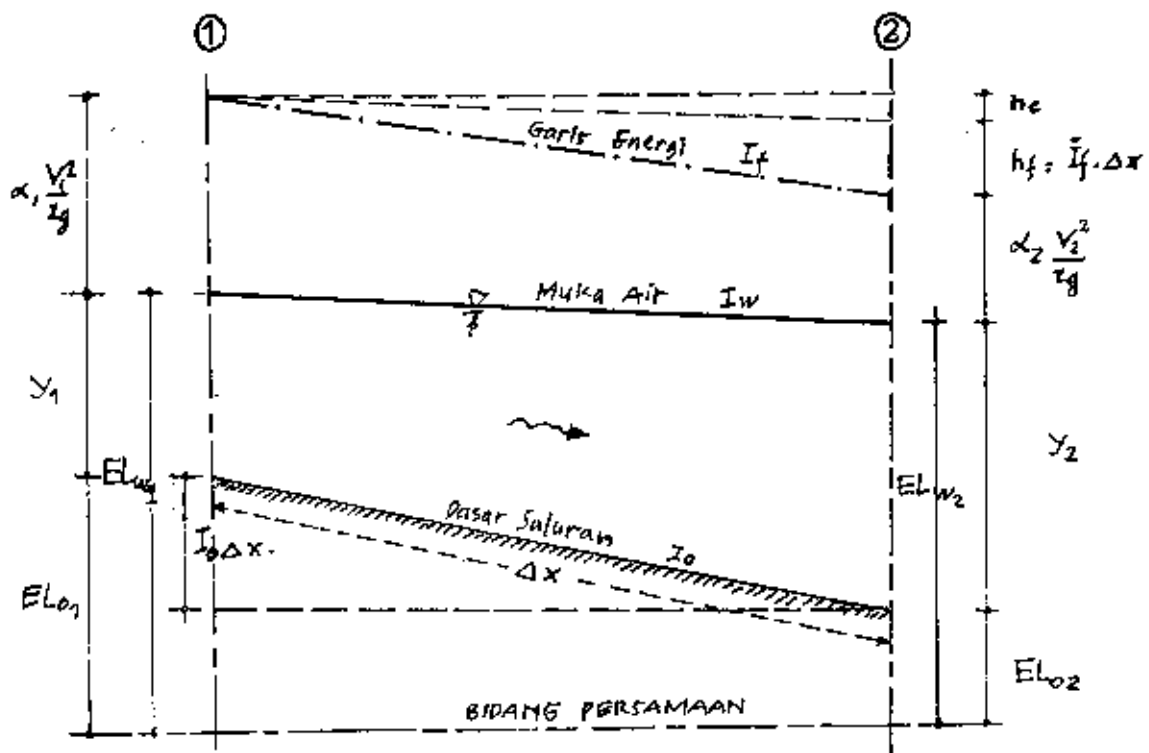
Dengan demikian saling keterkaitan antara kondisi aliran, profil sungai dan angkutan sedimen merupakan faktor-faktor yang menentukan morfologi sungai.

Untuk menghitung profil aliran Parit Raya, maka dipakai metode Tahapan Standard, karena metode ini dianggap sesuai dipakai pada saluran tidak prismatic. Perhitungan dilakukan tahap demi tahap dari satu stasiun pengamat ka stasiun pengamatan yang lain, dengan

sifat-sifat hidrolis yang telah ditentukan.

Dalam hal ini jarak setiap stasiun diketahui dan dilakukan penentuan kedalaman aliran disetiap stasiun, dengan cara coba-coba.

Pada metode ini, permukaan air dianggap terletak pada suatu ketinggian dari bidang persamaan (Datum).



Gambar 4.2. Bagian saluran untuk menurunkan metode tahapan standard.

Pada gambar 4.2. ditunjukkan bahwa tinggi muara air diatas bidang persamaan pada kedua ujung penampang adalah :

$$EL_w_1 = I_o \cdot \Delta x + Y_1 + EL_o_2$$

$$\text{dan} \quad EL_w_2 = Y_2 + EL_o_2$$

Kehilangan tekanan akibat gesekan adalah :

$$h_f = \bar{I}_f \cdot \Delta x = \frac{1}{2} (I_{f1} + I_{f2}) \Delta x$$

dimana I_f merupakan kemiringan garis energi rata-rata pada kedua ujung penampang, dengan :

$$I_f = \frac{n^2 \cdot v^2}{R^{4/3}}$$

sehingga :

$$EL_w 1 + \zeta_1 \frac{v_1^2}{2g} = EL_w 2 + \zeta_2 \frac{v_2^2}{2g} + h_f + h_e$$

dimana :

- h_e merupakan kehilangan tekanan akibat pusaran.

karena sampai kini belum ada metode rasional untuk menghitung kehilangan tekanan akibat pusaran, maka h_e biasanya dianggap merupakan bagian dari kehilangan tekanan akibat gesekan dan nilai kekasaran Manning (n) akan meningkat pula dalam menghitung h_f .

- Koefisien kekasaran Manning (n) ditentukan berdasarkan perumusan di bawah ini :

$$n = (n_0 + n_1 + n_2 + n_3 + n_4) m_5^*)$$

dimana :

n_0 = nilai kekasaran yang tergantung dari bahan-bahan alamiah yang dikandungnya.

n_1 = nilai kekasaran yang tergantung dari tingkat ketidak teraturan permukaan air (termasuk efek pusaran).

*). Sumber : Estimating hydraulic Roughness Coeficients, "Agricultural Engineering", Woody L. Cowan, "Open Channel Hydraulics", Chow VT.

n_2 = nilai kekasaran yang tergantung dari variasi bentuk dari penampang sungai.

n_3 = nilai yang tergantung dari pengaruh adanya hambatan.

n_4 = nilai kekasaran yang tergantung dari kondisi tumbuhan.

m_5 = koreksi yang bergantung dari derajat tingkat meander (berbelok-belok)

Nilai-nilai tersebut diatas ditunjukkan pada tabel 5.3.

Menurut hasil pengamatan dari proyek Brantas Malang, maka nilai kekasaran Manning di Parit Raya dapat ditentukan sebagai berikut :

n_0 = 0,02 (tanah)

n_1 = 0,005 (sedikit)

n_2 = 0,005 (kadang-kadang berganti)

n_3 = 0 (diabaikan)

n_4 = 0,01 (sedang)

m_5 = 1 (kecil)

$$\text{Sehingga : } n = (0,002 + 0,005 + 0,005 + 0,01 + 0) \cdot 1 \\ = 0,04$$



Tabel 4.11. Koefisien Kekasaran Manning

Keadaan saluran		Nilai-nilai	
Bahan Pembentuk	Tanah		0,020
	Batu pecah	n_0	0,025
	Kerikil halus		0,024
	Kerikil kasar		0,028
Derajat ketidak teraturan	Sangat kecil		0,000
	Sedikit	n_1	0,005
	Sedang		0,010
	Besar		0,020
Variasi penampang saluran	Bertahap		0,000
	kadang-kadang ber- ganti	n_2	0,005
	sering berganti		0,010-0,015
efek rela- tif dari hambatan	dapat diabaikan		0,000
	kecil	n_3	0,010-0,015
	cukup		0,020-0,030
	besar		0,040-0,060
Tetum- buhan	rendah		0,005-0,010
	sedang	n_4	0,010-0,025
	tinggi		0,025-0,050
	sangat tinggi		0,050-0,100
Kadar meander	kecil		1,00
	cukup	n_5	1,150
	besar		1,300

- Koefisien energi (α) merupakan faktor koreksi yang diberikan pada nilai tinggi kecepatan yang secara teoritis dihitung dengan rumus :

$$\frac{v^2}{2g} \text{ , dimana}$$

v = kecepatan aliran rata-rata (m/det)

g = percepatan gravitasi (m/det²)

Hal ini dilakukan karena pembagian kecepatan pada satu penampang saluran pada umumnya tidak sama, sehingga nilai tinggi kecepatan teoritis diatas biasanya lebih rendah dari kenyataan di lapangan.

Oleh karena itu harga koefisien energi (α) selalu lebih besar dari 1 dan tergantung pada kondisi penampang saluran, seperti ditunjukkan pada tabel 5.4.

Untuk Parit Raya, proyek Brantas Malang menetapkan harga koefisien energi $\alpha = 1,10$

Tabel. 4.12 : Koefisien Energi (α)

Saluran	nilai α		
	terkecil	rata-rata	terbesar
Saluran biasa tanpa pelimpah	1,10	1,15	1,20
Sungai alam dan sungai deras	1,15	1,30	1,50
Sungai tertutup es	1,20	1,50	2,00
Lembah sungai ter-hempas banjir	1,50	1,75	2,00

Sumber : Methods of Determination of the Kinetic Energy factor, " The Port Engineer ", Steponas Kolupaila - " Hidrolik Saluran Terbuka " Chow VT.

Tinggi tekanan total pada kedua ujung penampang ialah :

$$H_1 = EL_w 1 + \alpha_1 \frac{v_1^2}{2g}$$

dan

$$H_2 = EL_w 2 + \alpha_2 \frac{v_2^2}{2g}$$

Sehingga $H_1 = H_2 + h_f + h_e$

Persamaan terakhir ini merupakan persamaan dasar dalam metode tahapan standard.

Tahap-tahap perhitungan profil aliran Parit Raya disusun dalam bentuk tabel 4.13 a dan b, masing-masing untuk kondisi musim hujan dan musim kemarau, yang ditinjau dari hilir ke hulu.

Kolom 1. Penampang yang ditunjukkan dengan nomor stasiun.

Kolom 2. x yakni jarak atau panjang bagian sungai - diantara penampang-penampang yang sama dengan selisih nomor stasiun yang membatasinya.

Kolom 3. Q yakni debit aliran pada masing-masing stasiun yang ditentukan dari debit harian tabel-3.14.

Kolom 4. B yaitu lebar dasar penampang sungai pada setiap stasiun.

Kolom 5. Z merupakan kemiringan talud pada masing-masing penampang sungai.

Kolom 6. I_o yakni kemiringan dasar sungai di sepanjang bagian sungai yang ditinjau (Tabel 2.6 dan gambar 2.4)

Kolom 7. SL_o yaitu tinggi dasar sungai yang merupakan elevasi dasar sungai dari muka air laut diambil dari tabel 2.6 dan gambar 2.4.

Kolom 8. y_n merupakan kedalaman air normal sesuai dengan debit Q (kolom 3), lebar dasar B (kolom 4), kemiringan talud (kolom 5) dan kemiringan dasar I_o (kolom 6), yang dihitung dengan cara coba-coba berdasarkan rumus Manning dengan menggunakan persamaan :

$$\frac{\left(B + z y_n \right) y_n}{\left(B + 2 y_n \sqrt{1+z^2} \right)^2} = \left[\frac{n \cdot Q}{V I_o} \right]^3$$

Kolom 9. y_c merupakan kedalaman air kritis sesuai dengan debit Q (kolom 3), lebar dasar B (kolom 4) kemiringan talud (kolom 5) dan kemiringan dasar I_o (kolom 6) yang dihitung dengan cara coba-coba berdasarkan rumus Manning dengan menggunakan persamaan

$$\left\{ \frac{(B + z y_c) y_c}{B + 2 z y_c} \right\}^3 = \left(\frac{Q}{\sqrt{\frac{g}{\alpha}}} \right)^2$$

$$g = 9,8 \text{ m/det}^2$$

Kolom 10. EL_w yakni ketinggian muka air yang merupakan elevasi muka air sungai dari muka air laut yang dihitung dengan cara coba-coba dan selanjutnya diperiksa berdasarkan perhitungan dalam kolom-kolom berikutnya.

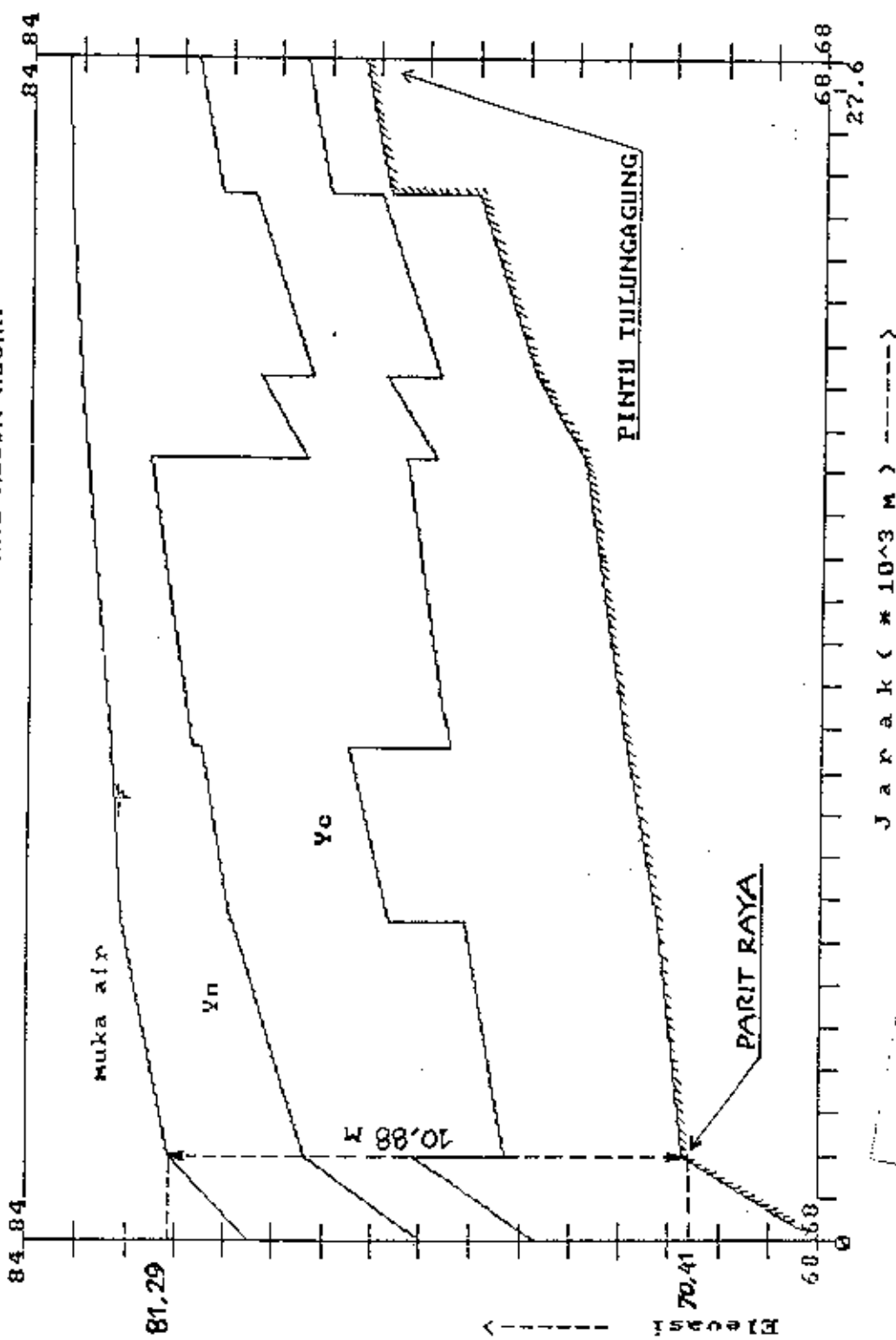
Untuk langkah awal diambil sama dengan elevasi muka air Parit Agung di tempat pertemuan-nya dengan Parit Raya (Gambar 4.2.a dan 4.2 b)

Kolom 11. y yang merupakan kedalaman air yang terjadi, nilainya sama dengan $EL_w - EL_o$

Kolom 12. A yakni luas penampang basah sesuai dengan kedalaman air kolom 11, yang dihitung dengan rumus : $A = (B + z y) y$

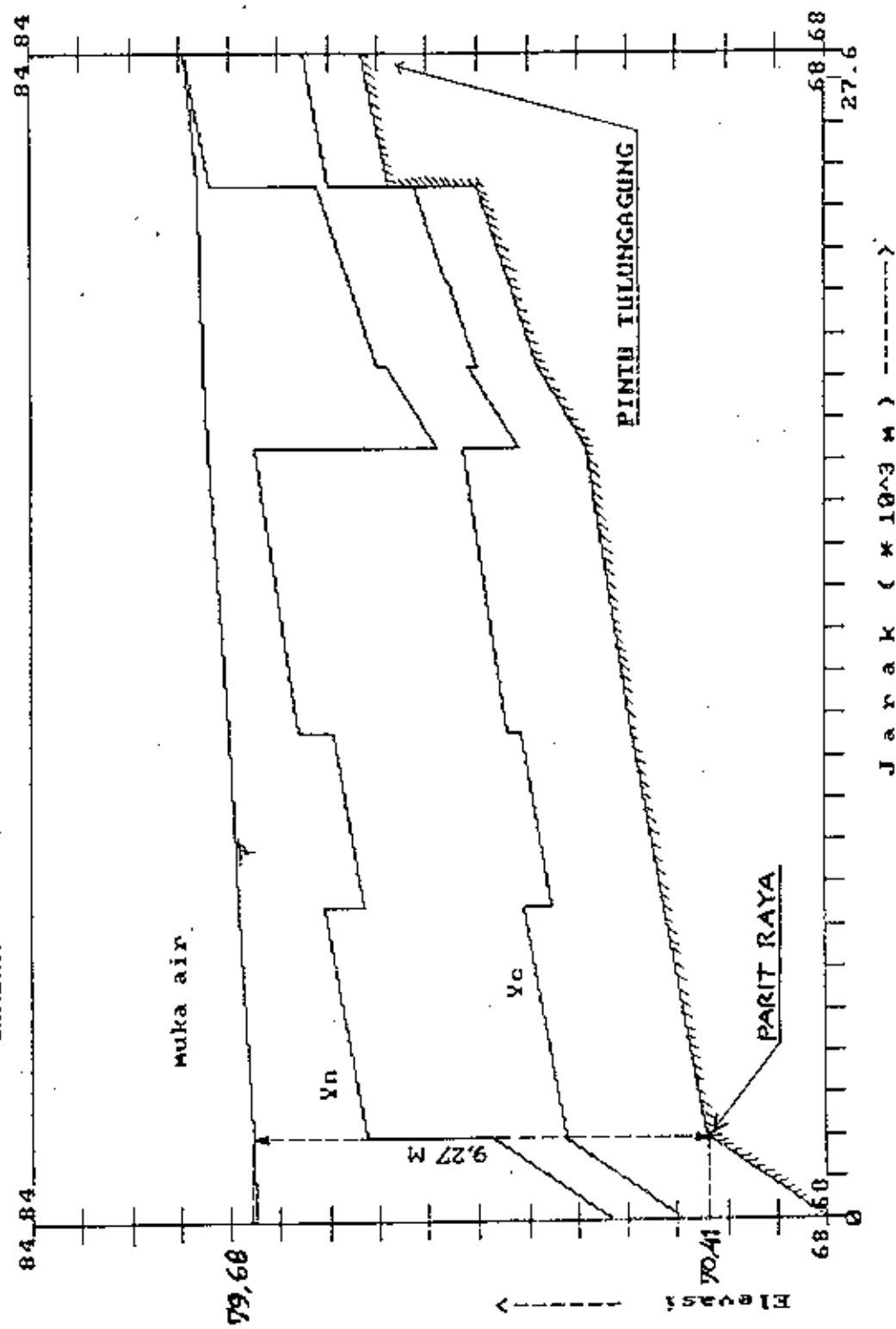
Gambar 4.2.a

GAIBBAR DAKK WATER PARIT AGUNG MUSIM HUJAN *)



*) Sumber : "Study Pengaruh Terowongan Tulungagung Selatan terhadap Tata Guna Tanah daerah sekitarnya, Bentara LF Pieter dan Cholis R."

Gambar 4.2.b
GAMBAR RENCANA PARIT AGUNG MUSIM KEMARAU *)



*). Sumber : " Studi Pengaruh Terowongan Tulungagung Se -
latan terhadap Tata Guna Tanah daerah se -
kitarnya , Bentura LF Pieter dan Cholis R.

Kolom 13 : V yakni kecepatan aliran rata-rata yang sesuai dengan debit Q pada kolom 3 dan luas penampang basah A kolom 12, dihitung dengan rumus :

$$V = \frac{Q}{A}$$

Kolom 14 : $\frac{V^2}{2g}$ yaitu tinggi kecepatan sesuai dengan harga kecepatan aliran rata-rata V (kolom 13).

Kolom 15 : H_p merupakan tinggi tekanan total perkiraan, sama dengan jumlah EL_w kolom 10 dengan tinggi kecepatan $\frac{V^2}{2g}$ dari kolom 14.

Kolom 16 : O yakni keliling penampang basah sesuai dengan kedalaman air kolom 11, yang dihitung dengan rumus :

$$O = B + 2y \sqrt{1 + z^2}$$

Kolom 17 : R yaitu jari-jari hidrolis sesuai dengan luas penampang basah A kolom 12 dan keliling basah O kolom 16, yang dihitung dengan rumus :

$$R = \frac{A}{O}$$

Kolom 18 : jari-jari hidrolis dipangkatkan $4/3$.

Kolom 19 : I_f yaitu kemiringan garis energi (geseran) sesuai dengan kecepatan V pada kolom 13 dan $R^{4/3}$ dari kolom 18 dengan rumus :

$$I_f = \frac{n^2 \cdot V^2}{R^{4/3}}$$

Kolom 20 : \bar{I}_f yaitu kemiringan geseran rata-rata pada bagian sungai di sepanjang jarak bagian sungai , yang merupakan rata-rata hitung dari kemiringan geseran pada kolom 19 dengan tahap sebelumnya, yakni :

$$\bar{I}_{f_i} = \frac{I_{f(i-1)} + I_{f,i}}{2}$$

Kolom 21 : h_f yang merupakan kehilangan tekanan akibat geseran, sama dengan hasil kali antara nilai-nilai pada kolom 2 dan kolom 20.

Kolom 22 : H_j yang merupakan tinggi tekanan total dihitung dengan menjumlahkan nilai-nilai h_f pada kolom-21 dengan kolom 22 pada tahap sebelumnya.

Bila harga tinggi tekanan total yang diperoleh tidak mendekati harga tinggi tekanan total yang diperkirakan pada kolom 15, maka dicoba - harga tinggi muka air EL_w (kolom 10) yang lain nya dan seterusnya sehingga diperoleh kesesuaian.

Dari hasil perhitungan di atas, kemudian disajikan pada gambar 4.3 a dan 4.3 b , yang menunjukkan bahwa di sepanjang bagian Parit Raya dari stasiun 1 sampai dengan stasiun 8 atau sepanjang 8,5 km dibagian hulu muara pertemuan Parit Raya dengan Parit Agung terjadi back - water.

Selanjutnya, back water ini dapat menyebabkan luapan air-

yakni pada saat musim hujan terjadi pada bagian stasiun 1 sampai dengan stasiun 6 atau sepanjang 5,75 km , serta pada saat musim kemarau terjadi di sekitar stasiun 4 , kurang lebih 3,4 km di bagian hulu dari muara pertemuan Parit Raya dengan Parit Agung.

Sehubungan dengan angkutan sedimen pada alur Parit Raya, maka kondisi ini memberikan kecenderungan - kecenderungan sebagai berikut :

- a. Sedimentasi akan terjadi pada bagian di sekitar muara pertemuan Parit Raya dengan Parit Agung dan karena terjadinya back water yang terus mnnerus, maka sedimentasi ini akan bergerak ke arah hulu.
- b. Kemiringan dasar sungai pada bagian di sekitar muara pertemuan Parit Raya dengan Parit Agung akan mengalami agradasi sampai mendekati kondisi kesetimbangan dinamis yakni :

*)

$$Q_s \cdot D_{50} = Q_w \cdot I_o$$

dimana :

Q_a = debit aliran sedimen (bed load)

D_{50} = diameter butiran sedimen dimana 50 % dari campuran material sedimen loloa ayakan (lebih halus).

Q = debit air

*) Sesudah Lane (1955), " Kumpulan Kuliah Sungai ", Sofia, F, Ir.

I_o = kemiringan dasar sungai

Sehingga, untuk

$$Q = 940165660,8 \text{ m}^3/\text{tahun} \quad (\text{Tabel 3.14})$$

$$Q_s = 13350,2987 \text{ m}^3/\text{tahun} \quad (\text{Tabel 4.7})$$

$$D_{50} = 0,25 \text{ mm} \quad (\text{Gambar 2.2})$$

$$\text{Jadi } I_o = \frac{Q_s \cdot D_{50}}{Q}$$

$$= \frac{13350,2987 \cdot 0,25 \cdot 10^{-3}}{940165660,8}$$

$$I_o = 3,55 \cdot 10^{-9} \approx 0$$

Dengan demikian dasar saluran Parit Raya pada bagian-di sekitar muara pertemuannya dengan Parit Agung secara terus menerus akan mengalami agradasi sedemikian rupa sehingga kemiringan dasarnya mendekati kondisi mendatar.

- c. Kondisi kecepatan aliran yang menjadi terlalu kecil - serta profil muka air yang relatif datar, mendekati bentuk muka air pada genangan waduk, maka untuk selanjutnya sedimentasi pada bagian di sekitar muara pertemuan Parit Raya dengan Parit Agung sampai dengan Parit Agung di sebelah hilir dari pertemuan tersebut dapat dianggap terdiri dari endapan bed load maupun suspended load.

B A B - V
ANALISA PENGENDALIAN SEDIMENT

S.1. U m u m

Kondisi sungai yang banyak mengandung material-sedimen pada umumnya dibagi menjadi 3 bagian, yakni :

- a. Daerah hulu (Up stream) pada ketinggian $> + 500$ m dari muka air laut.

Daerah ini merupakan sumber dari angkutan material-sedimen dan pada umumnya mempunyai karakter sebagai berikut :

- kemiringan dasar sangat besar
- profil sungai sangat tidak beraturan
- terjadi banyak pengikisan, arus deras dengan kecepatan tinggi.
- angkutan sedimen berupa batu-batu besar, kerikil dan pasir serta material halus.
- bagian ini disebut dengan zone pengikisan.

- b. Daerah tengah (middle stream) pada ketinggian + 200 m sampai dengan + 500 m dari muka air laut.

Daerah ini merupakan daerah transportasi material-sedimen dan pada umumnya mempunyai karakter sebagai berikut :

- aliran relatif lebih tenang dibanding dengan bagian hulu.
- kemiringan dasar masih cukup curam
- kecepatan aliran masih cukup besar

- angkutan material sedimen berupa kerikil, pasir - dan material halus.
 - mulai ada pengendapan sedimen
 - bagian ini disebut zone keseimbangan
- c. Daerah hilir (down stream) pada ketinggian < 200 m dari muka air laut.
- Daerah ini merupakan daerah pengendapan material sedimen dan pada umumnya mempunyai karakter sebagai berikut :
- aliran lebih tenang
 - kemiringan dasar landai
 - elevasi muka air tak berbeda jauh dengan daratan
 - pada waktu banjir sering terjadi peluapan
 - banyak terjadi pengendapan
 - aliran tidak stabil, berpindah-pindah, berbelok-belok dan didekat muara bercabang-cabang serta - cenderung membentuk delta.
 - bagian ini disebut zone pengendapan

Untuk mengatasi masalah-masalah yang dapat ditimbulkan sehubungan dengan angkutan material sedimen pada masing-masing daerah tersebut, maka perlu dilakukan tindakan dan atau dibuat bangunan pengendalian - yang sesuai dengan karakteristik sampai pada masing - masing daerah, yang pada umumnya adalah sebagai berikut :

a. Daerah Up Stream.

- Step dam
- terrasering
- sabo dam/check dam
- konsolidasi dam
- konservasi hutan

b. Daerah Middle Stream :

- Sabo dam / check dam
- konsolidasi dam
- perbaikan sungai

c. Daerah Down Stream :

- Kantong lahar
- Ground sill
- perbaikan alur sungai

5.2. Pengendalian Erosi di DAS Parit Raya.

Tingkat laju kehilangan tanah akibat erosi di DAS Parit Raya telah dapat diperkirakan pada Bab IV, yakni sebesar 0,088 mm per tahun.

Menurut Bennet (1936) dan Hudson (1976) diperkirakan bahwa pembentukan tanah atas (top soil) secara alamiah setebal 25 mm, diperlukan jangka waktu selama 300 tahun yang kemudian ditetapkan sebagai tingkat laju kehilangan tanah yang diijinkan (soil loss tolerance).

Dengan demikian tingkat laju kehilangan tanah akibat erosi di DAS Parit Raya sebesar 0,088 mm per-tahun, apabila tidak ditanggulangi secara dini, maka dibawah kondisi alami selama jangka waktu 300 tahun, diperkirakan akan terjadi kehilangan tanah setebal :

$$0,088 \text{ mm/tahun} \times 300 \text{ tahun} = 26,4 \text{ mm}$$

Hal ini menunjukkan bahwa tingkat laju kehilangan tanah di DAS Parit Raya melebih soil loss tolerance. Oleh karena itu perlu dilakukan pekerjaan-pekerjaan pengendalian erosi di DAS Parit Raya, meliputi :

- membuat lereng-lereng pegunungan menjadi lebih lancar dari kemiringan kritis.
- Mencegah terjadinya erosi alur dengan memperpendek lereng dan mengurangi kedalaman alur-alur erosi
- meningkatkan daya tahan lereng terhadap terpaan titik air hujan dan terhadap gaya seret aliran air - dengan usaha-usaha penanaman tumbuh-tumbuhan penuh dengan sistem penanaman kontour maupun secara-strip.

5.3. Pengendalian Sedimentasi Pada Alur Parit Raya dan Parit Agung di bagian Hilir.

Sedimentasi adalah suatu proses pengendapan material sedimen hasil erosi dari suatu tempat yang terangkut oleh aliran air dan kemudian diendapkan di tempat lain.

Dasar-dasar pertimbangan yang dipakai untuk me lakukan pengendalian sedimentasi pada alur Parit Raya dan Parit Agung adalah sebagai berikut :

- Fungsi Parit Agung dan Parit Raya, yang selain digunakan sebagai saluran pemutusan banjir di musim hujan juga sebagai penampungan air untuk keperluan PLTA Tulungagung selatan dan untuk meningkatkan taraf *) muka air tanah daerah sekitarnya di musim kemarau.
- Kondisi aliran Parit Agung *) dan Parit Raya yang selalu menunjukkan terjadinya back water akibat operasi pintu terowongan Tulungagung selatan pada musim-kemarau maupun musim penghujan.
- Jumlah dan karakteristik material sedimen yang terangkut, meliputi bed load dan suspended load serta kondisi kapasitas tumpungan di kedua Parit tersebut
- Alokasi waktu pelaksanaan proyek perbaikan Parit Raya yang baru dimulai pada tahun 1996.

Berdasarkan pertimbangan-pertimbangan di atas maka pengendalian sedimen pada alur Parit Raya dan Parit Agung sampai dengan tahun 1996 diarahkan pada usaha perbaikan alur dengan cara pengeringan endapan sedimen.

*) " Studi Pengaruh Terowongan Tulungagung Selatan terhadap tata guna air di daerah sekitarnya " Bentura LF Pieter dan Cholis Reza.

Sedangkan untuk menghitung akumulasi pengendapan sedimen yang merupakan volume pengerukan yang harus dilakukan, maka digunakan kurva GM Brune *) , yang merupakan kurva hubungan antara besarnya trap efisiensi tampungan dengan perbandingan kapasitas inflownya (Gambar 5.1)

Trap efisiensi ialah perbandingan antara banyaknya sedimen yang diendapkan dengan total sedimen inflow dalam satuan volume.

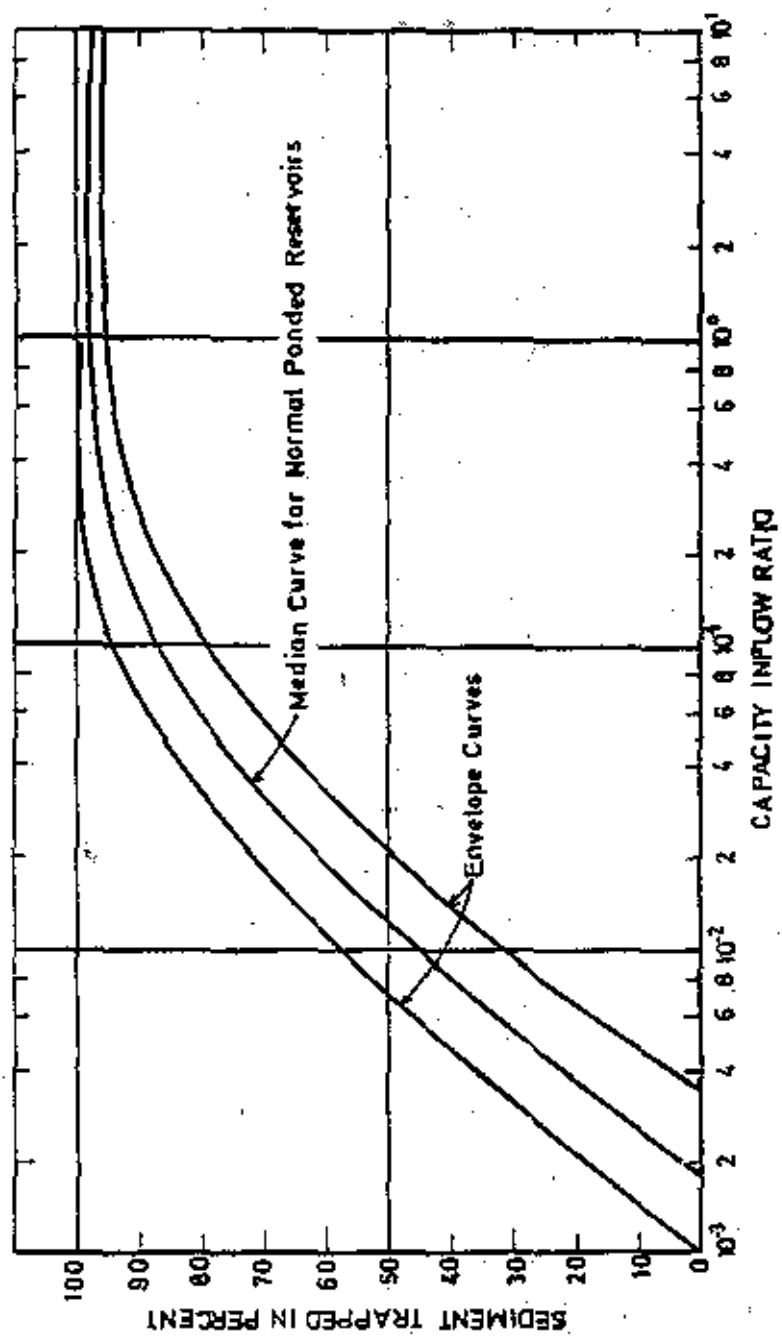
Secara teoritis trap efisiensi tampungan akan berkurang secara kontinyu karena kapasitasnya makin lama makin berkurang akibat adanya sedimentasi. Satuan dari perhitungan sedimen inflow adalah satuan berat persatuan waktu, maka satuan ini harus diubah menjadi satuan volume persatuan waktu, agar dapat ditentukan akumulasi pengendapan sedimen persatuan waktu dan sekaligus dapat ditaksir waktu yang diperlukan untuk memenuhi kapasitas mati (dead storage) yang tersedia.

Untuk merubah satuan sedimen inflow dari satuan berat menjadi satuan volume, maka dihitung terlebih dulunya density sedimen.

Untuk menentukan besarnya density sedimen yang mengendap, maka dipakai perumusan yang dikembangkan oleh Lane dan Koezler sebagai berikut :

*). Trap efficiency of Reservoir " Brune GM - " Design of Small Dam " USBR.





Gambar 5.1 Kurva Gunar M Brune

$$\gamma = (W_c \cdot P_c + W_m \cdot P_m + W_s \cdot P_s) \cdot 0,01589 \text{ (t/m}^3\text{)} \quad *)$$

dimana :

$$\gamma = \text{density mula-mula (ton/m}^3\text{)}$$

P_c, P_m, P_s = prosentase kandungan clay, silt dan sand - dari sedimen yang masuk (%)

W_c, W_m, W_s = koefisien-koefisien untuk clay, silt dan sand yang dipengaruhi oleh type mekanisme-pengoperasian tampungan seperti ditunjukkan pada tabel dibawah ini.

Tabel 5.1. Koefisien-koefisien untuk perhitungan density mula-mula.

Type Pengoperasian	We	Wm	Ws
I Sedimen terendam atau hampir - terendam	26	70	97
II Tampungan sedang dengan fluk - tuasi besar	35	71	97
III Tampungan biasanya kosong	40	72	97
IV Sedimen dasar sungai	60	73	97

Sedangkan harga density rata-rata sedimen yang diendapkan dalam T tahun operasi diperoleh dari persamaan Muller sebagai berikut :

*). "Density of sediments Deposited in Reservoir", Lane EW dan Kuzler V.A—"Hydrology for Engineers", Linsley Jr. R.K dan Kohler Max. A.

$$W_T = \gamma + 0,4343 \cdot K \cdot \frac{T}{T-1} (\ln T) - 1 \quad *)$$

dimana : W_T = density rata-rata sesudah T tahun operasi (ton/m^3)

γ = density mula-mula (ton/m^3)

K = konstanta untuk Clay, silt dan clay yang dipengaruhi oleh type mekanisme pengoperasian tumpungan, seperti tertera dibawah ini.

Tabel 5.2. Konstanta-konstanta untuk perhitungan density rata-rata.

Type	Clay	Silt	Sand
I	16	5,70	0
II	8,4	1,80	0
III	0	0	0
IV	0	0	0

a. Parit Raya (di sekitar pertemuannya dengan Parit Agung)

Data hasil analisa distribusi butiran sedimen seperti ditunjukkan pada gambar 2.2, terdiri dari :

$$\underline{\text{Clay}} = 2 \%$$

- *). " Density of Sediments Deposited in Reservoir ", Lane EW dan Koezler VA. —
 " Hydrology for Engineers ", Linsley, Jr. R.K. — dan Kohler Max. A.

Clay = 2 %

Silt = 14 %

Sand = 84 %

$$\text{maka : } \gamma = (60 \cdot 0,02 + 73 \cdot 0,14 + 97 \cdot 0,84) \\ = 1,4762 \text{ ton/m}^3$$

Sesuai dengan dasar-dasar pertimbangan fungsi dan kondisi Parit Raya maka jenis mekanisme pengoperasian - tampungan diambil type IV, dengan harga K = 0

$$\text{Sehingga : } w_T = \gamma = 1,4762 \text{ ton/m}^3$$

Debit inflow rata-rata tahunan (Tabel 3.14) :

$$= (31 \cdot 46,029 + 28 \cdot 52,964 + 31 \cdot 45,314 + 30 \cdot 30,972 + \\ 31 \cdot 31,111 + 30 \cdot 16,602 + 31 \cdot 13,926 + 31 \cdot 6,8 + \\ 30 \cdot 19,933 + 31 \cdot 25,478 + 30 \cdot 33,237 + 31 \cdot 37,027) \times \\ 24 \times 3600 \\ = 940165660,80 \text{ m}^3/\text{tahun}$$

Sedimen inflow rata-rata tahunan (= total angkutan - sedimen) = 692391,906 ton/tahun

Kapasitas tampungan ditinjau pada elevasi + 79,62 m
= 2059558,7 m³ (Gambar 2.4).

Perhitungan :

+ Pada saat T = 0 tahun

Ratio kapasitas inflow

$$= \frac{\text{Kapasitas Parit Raya pada tahun ke } T}{\text{Debit inflow rata-rata tahunan}}$$

$$= \frac{2.059.558,7}{940165660,80} = 0,002$$

Dari kurva Median Brune, didapat trap efisiensi
= 3,125 %

- Pada saat $T = 1$ tahun

$$w_1 = 1,4762 \text{ ton/m}^3$$

Ditaksir trap efisiensi = 3,12 %

$$\text{Volume endapan} = \frac{692391,906}{1,4762} \times 0,0312 = 14633,943 \text{ m}^3$$

Ratio Kapasitas Inflow :

$$= \frac{2059558,7 - 14633,943}{940165660,80} = 0,00217$$

Sehingga dari kurva median Brune, didapat trap effisiensi = 3,12 % , sesuai dengan taksiran -- benar.

Jadi volume pengeringan yang harus dilakukan tiap tahun pada alur Parit Raya adalah $14633,943 \text{ m}^3$.

Apabila dianggap sejak pengeringan tahun 1976 - yang lalu tidak pernah dilakukan pengeringan sampai dengan tahun 1996 saat dimulai pelaksanaan Proyek Perbaikan Parit Raya, maka :

- Pada saat $T = 20$ tahun

$$w_{20} = 1,4762 \text{ ton/m}^3$$

Ditaksir trap efisiensi = 2 %

$$\text{Volume endapan} = \frac{692391,906}{1,4762} \times 0,02 \times 20 \\ = 187614,661 \text{ m}^3$$

$$\text{Ratio kapasitas Inflow} = \frac{2.059558,7 - 187614,661}{940165660,80} \\ = 0,00199$$

Sehingga dari kurva Median Brune, didapat Trap efisiensi = 2 % , sesuai dengan taksiran ---- benar.

Jadi pada tahun 1996 volume pengeringan yang harus dilakukan terhadap Parit Raya adalah sebesar :

$$187.614,661 \text{ m}^3$$

- b. Parit Agung (di bagian hilir dari pertemuannya dengan Parit Raya).

Debit inflow rata-rata tahunan :

Parit Raya	=	940.165.660,80	m^3/tahun
Parit Agung *)	=	488.994.969,60	m^3/tahun
Total	=	1.429.160.630,40	m^3/tahun

Sedimen inflow rata-rata tahunan :

Parit Raya	=	692.391,906	- 14.633,943	= 677.757,963	t/th
Parit Agung *)	=			= 150.364,580	t/th
T o t a l	=			= 828.122,543	t/th

*) . " Studi Sedimentasi di Parit Agung Tulungagung ",
--- Supranyoto Agung.

Kapasitas tampungan pada elevasi + 79,50 m **)

$$\begin{array}{rcl}
 \text{Parit Raya} & = 1.880.000 \text{ m}^3 & (\text{gambar 2.4}) \\
 \text{Parit Agung}^*) & = 5.638.582 \text{ m}^3 \\
 \hline
 \text{T o t a l} & = 7.518.582 \text{ m}^3
 \end{array}$$

Perhitungan :

- Pada saat $T = 0$ tahun

$$\text{Ratio kapasitas inflow} = \frac{7.518.582}{1429160630,40} = 0,00526$$

Dari Kurva Median Brune, didapat trap efisiensi

$$= 27,10 \%$$

- Pada saat $T = 1$ tahun

$$w_1 = 1,4441 \text{ ton/m}^3 ^*)$$

Ditaksir trap effisiensi = 27 %

$$\begin{aligned}
 \text{Volume endapan} & = \frac{828.122,543}{1,4441} \times 27 \% \\
 & = 154.832,1353 \text{ m}^3
 \end{aligned}$$

$$\begin{aligned}
 \text{Ratio kapasitas inflow} & = \frac{7.518.582 - 154.832,1353}{1429160630,40} \\
 & = 0,00515
 \end{aligned}$$

Dari Kurva Median Brune, didapat trap efisiensi

$$= 27 \%, \quad \text{sesuai dengan taksiran--- benar.}$$

Jadi volume pengeringan yang harus dilakukan terhadap Parit Agung adalah sebesar $154.832,1353 \text{ m}^3$.

*). " Study Sedimentasi di Parit Agung Tulungagung ", Supranyoto Agung.

**). " Study Pengaruh terowongan Tulungagung Selatan - terhadap Tata Guna Tanah air didaerah sekitarnya ", Bentura, LF, Pieter dan Cholis Reza.

5.4. Analisa Kapasitas Aliran Parit Raya.

Analisa ini dilakukan dengan tujuan untuk mengetahui kemampuan penampang saluran Parit Raya untuk mengalirkan debit banjir.

Metode yang dipakai untuk mengontrol kemampuan penampang tersebut adalah slope area method atau metode kemiringan - luas *).

Tahap-tahap perhitungan kapasitas aliran Parit Raya dengan metode kemiringan luas adalah sebagai berikut :

a. Membagi saluran Parit Raya menjadi beberapa bagian yang dibatasi oleh kedua potongan penampang melintang, sesuai dengan pembagian yang sudah dilakukan pada tabel 2.6 dan gambar 2.4.

Pembagian ini didasarkan pada kondisi saluran yang relatif lurus serta perubahan-perubahan penampang yang relatif kecil.

b. Menghitung besarnya A dan R setiap potongan penampang melintang saluran.

Luas penampang basah saluran (A) didasarkan pada keadaan penampang saluran terisi penuh oleh air, sehingga kederalaman aliran (h) dianggap mencapai elevasi permukaan tanggul terendah pada setiap penampang yang ditinjau (Bank-full Capacity).

c. Dari nilai A, R dan n yang telah diketahui, maka dihitung hantaran K_u dan K_d dengan rumus :

$$K_u = \frac{1}{n} A_u R_u^{2/3}$$

$$K_d = \frac{1}{n} A_d R_d^{2/3}$$

*). Sumber : " Open Channel Hydraulics ", Chow, VT

Dimana :

K_u dan K_d masing-masing merupakan hantaran dibagian upstream dan down stream pada suatu bagian saluran yang ditinjau. Nilai n diambil sama dengan 0,04 (Bab IV)

d. Menghitung hantaran rata-rata K dengan rumus :

$$K = \sqrt{K_u \cdot K_d}$$

e. Dianggap tinggi kecepatan = 0 dan kemiringan energi adalah sama dengan terjunan F dibagi dengan panjang L dibagian saluran yang ditinjau, atau

$$I_f = I_w = \frac{F}{L}$$

Dengan demikian debitnya dapat dihitung dengan rumus

$$Q = K \sqrt{I_f}$$

yang merupakan perkiraan awal dari debit tersebut.

f. Dianggap debit sama dengan perkiraan awal, sehingga tinggi kecepatan di up stream dan down stream dapat dihitung dengan rumus :

$$\alpha_u \frac{v_u^2}{2g} \quad \text{dan} \quad \alpha_d \frac{v_d^2}{2g}$$

Dengan demikian kemiringan energi sama dengan

$$I_f = \frac{h_f}{L}$$

dimana : $h_f = F + k \left(\alpha_u \frac{v_u^2}{2g} - \alpha_d \frac{v_d^2}{2g} \right)$

$K = 1,0$; bagian saluran menyempit ($v_u < v_d$)

$K = 0,5$; bagian saluran melebar ($v_u > v_d$)

$$\alpha_u = \alpha_d = 1,1 \text{ (Bab IV)}$$

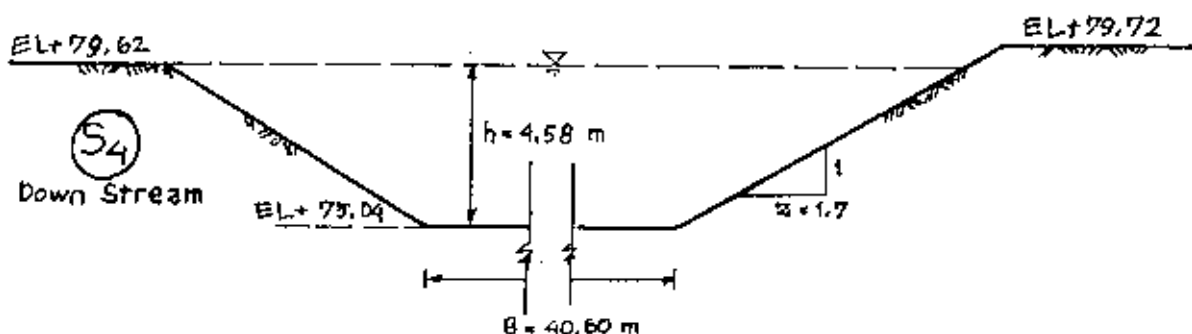
g. Debitnya dihitung dengan memakai kemiringan yang telah dikoreksi pada tahap ke f , sehingga :

$$Q = K \sqrt{\frac{h_f}{L}}$$

Ulangi mulai dari tahap f dengan memakai Q perkiraan sama dengan Q yang dihitung pada tahap g sebelumnya , sampai didapatkan debit yang diperkirakan sama dengan debit yang dihitung.

Debit ini merupakan kapasitas aliran dari Parit Raya pada bagian saluran yang ditinjau.

Dibawah ini disajikan contoh perhitungan pada bagian saluran mulai dari potongan penampang melintang S_4 hingga S_5 .



$$\begin{aligned} \text{Maka : } A_d &= (B + zh) h \\ &= (40,60 + 1,7 \cdot 4,58) \cdot 4,58 \\ &= 221,608 \text{ m}^2 \end{aligned}$$

$$P_d = B + 2 \cdot h \sqrt{1 + z^2}$$

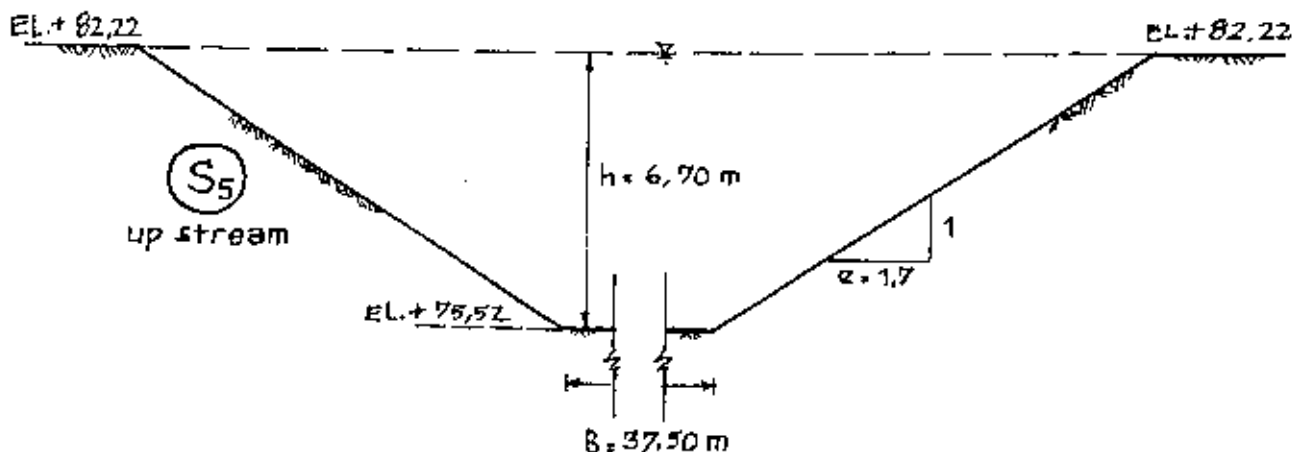
$$= 40,60 + 2 \cdot 1,7 \sqrt{1 + 1,7^2} = 58,666 \text{ m}$$

$$R_d = \frac{A_d}{P_d} = \frac{221,608}{58,666} = 3,777 \text{ m}$$

$$K_d = \frac{1}{n} A_d R_d^{2/3}$$

$$= \frac{1}{0,04} \cdot 221,608 (3,777)^{2/3}$$

$$= 13437,629 \text{ m}^3/\text{det}$$



maka :

$$A_u = (B + z h) h$$

$$= (37,50 + 1,7 \cdot 6,7) 6,7 = 327,563 \text{ m}^2$$

$$P_u = B + 2 \cdot h \sqrt{1 + z^2}$$

$$= 37,50 + 2 \cdot 6,7 \sqrt{1 + 1,7^2} = 63,929 \text{ m}$$

$$R_u = \frac{A_u}{P_u} = \frac{327,563}{63,929} = 5,124 \text{ m}$$

$$K_u = \frac{1}{n} + A_u R_u^{2/3}$$

$$= \frac{1}{0,04} + 327,563 (5,124)^{2/3}$$

$$= 24338,835 \text{ m}^3/\text{det}$$

$$K = \sqrt[4]{K_u \cdot K_d}$$

$$= 13437,629 \cdot 24338,835$$

$$= 18084,696 \text{ m}^3/\text{det}$$

Perkiraan I : $F = 82,22 - 79,62 = 2,6 \text{ m}$

$$I = \frac{F}{L} = \frac{2,6}{900} = 0,002889$$

Sehingga : $Q = K \sqrt[4]{I}$

$$= 18084,696 \sqrt[4]{0,002889}$$

$$= 972,023 \text{ m}^3/\text{det}$$

Perkiraan II : $Q = 972,023 \text{ m}^3/\text{det}$

$$v_u = \frac{Q}{A_u} = \frac{972,023}{327,563} = 2,967 \text{ m/det}$$

$$v_d = \frac{Q}{A_d} = \frac{972,023}{221,608} = 4,386 \text{ m/det}$$

$$v_u < v_d , \text{ maka } k = 1,0$$

$$h_f = F + k \left(\alpha_u \frac{v_u^2}{2g} - \alpha_d \frac{v_d^2}{2g} \right)$$

$$= 2,6 + 1,0 \left\{ 1,1 \frac{(2,967)^2}{2 \cdot 9,8} - 1,1 \frac{(4,386)^2}{2 \cdot 9,8} \right\}$$

$$= 1,934 \text{ m}$$

$$I_f = \frac{h_f}{L} = \frac{1,934}{900} = 0,002149$$

Sehingga : $Q = K \sqrt{I_f}$

$$= 18084,696 \sqrt{0,002149}$$

= 838,336 m³/det --- tidak sama dengan perkiraan.

Perkiraan III :

$$Q = 838,336 \text{ m}^3/\text{det}$$

$$v_u = \frac{Q}{A_u} = \frac{838,336}{327,563} = 3,783 \text{ m/det}$$

$$v_d = \frac{Q}{A_d} = \frac{838,336}{221,608} = 2,559 \text{ m/det}$$

$$v_u < v_d \text{ maka } k = 1,0$$

$$h_f = F + k \left(\alpha_u \frac{v_u^2}{2g} - \alpha_d \frac{v_d^2}{2g} \right)$$

$$= 2,6 + 1,0 \left\{ 1,1 \cdot \frac{(3,783)^2}{2 \cdot 9,8} - 1,1 \cdot \frac{(2,559)^2}{2 \cdot 9,8} \right\}$$

$$= 2,164 \text{ m}$$

$$I_f = \frac{h_f}{L} = \frac{2,164}{900} = 0,002405$$

Sehingga : $Q = K \sqrt{I_f}$

$$= 18084,696 \sqrt{0,002405}$$

= 886,877 m³/det -- tidak sama dengan perkiraan

Perkiraan IV :

$$Q = 886,877 \text{ m}^3/\text{det}$$

$$v_u = \frac{Q}{A_u} = \frac{886,877}{327,563} = 2,707 \text{ m/det}$$

$$v_d = \frac{Q}{A_d} = \frac{886,877}{221,608} = 4,002 \text{ m/det}$$

Sedangkan Q_{10} sebagai kapasitas kontrol ditentukan dengan jalan mengalikan debit banjir puncak dari hidrograf banjir rencana dengan periode ulang 10 tahun (Tabel 3.9) - dengan hasil perbandingan antara luas DAS yang ditinjau sampai dengan titik S_5 ($= A_5$) terhadap luas DAS Parit Raya seluruhnya ($= A$)

Setelah dihitung :

$$A_5 = 584,93 \text{ km}^2 ; A = 708,72 \text{ km}^2$$

$$Q_p = 2165,917 \text{ m}^3/\text{det} \text{ (Tabel 3.9)}$$

Sehingga kapasitas kontrol :

$$Q_{10} = \frac{A_5}{A} \cdot Q_p = \frac{584,93}{708,72} \cdot 2165,917$$

$$Q_{10} = 1787,603 \text{ m}^3/\text{detik.}$$

Selanjutnya perhitungan disajikan dalam tabel 5.5 , yang menunjukkan bahwa walaupun tanpa memperhitungkan terjadi nya back water serta agradasi dasar saluran akibat sedimentasi pada Parit Raya dan atau Parit Agung, ternyata seluruh bagian Parit Raya terbukti tidak mampu mengalirkan debit banjir rencana (Q_{10}).

Untuk itu perlu diadakan perbaikan alur Parit Raya dalam rangka meningkatkan daya hantaran (K).

Karena hantaran K merupakan fungsi dari luas penampang basah A dan jari-jari hidrolis R, maka perbaikan alur dimaksudkan untuk memperbesar luas penampang basahnya.

Usaha untuk memperbesar luas penampang basah ini dibatasi oleh pertimbangan-pertimbangan bahwa :

a. Membesarnya luas penampang basah ini harus sedemikian rupa sehingga membesarnya jari-jari hidrolis - akibat membesarnya luas penampang basah tidak menimbulkan peningkatan gaya seret dan atau kecepatan geser aliran yang melampaui gaya seret kritis dan kecepatan geser kritis, untuk menghindarkan terjadinya erosi alur saluran Parit Raya.

Hal ini ditunjukkan dengan :

$$R = f(A) = \frac{A}{P}$$

$$\tau = f(R) = \rho_w \cdot g \cdot I \cdot R \leq \tau_{cr}$$

$$U^* = f(R) = \sqrt{g \cdot I \cdot R} \leq U_{cr}^*$$

dimana :

τ = gaya seret aliran dalam saluran (N/m^2)

τ_{cr} = gaya seret kritis (N/m^2)

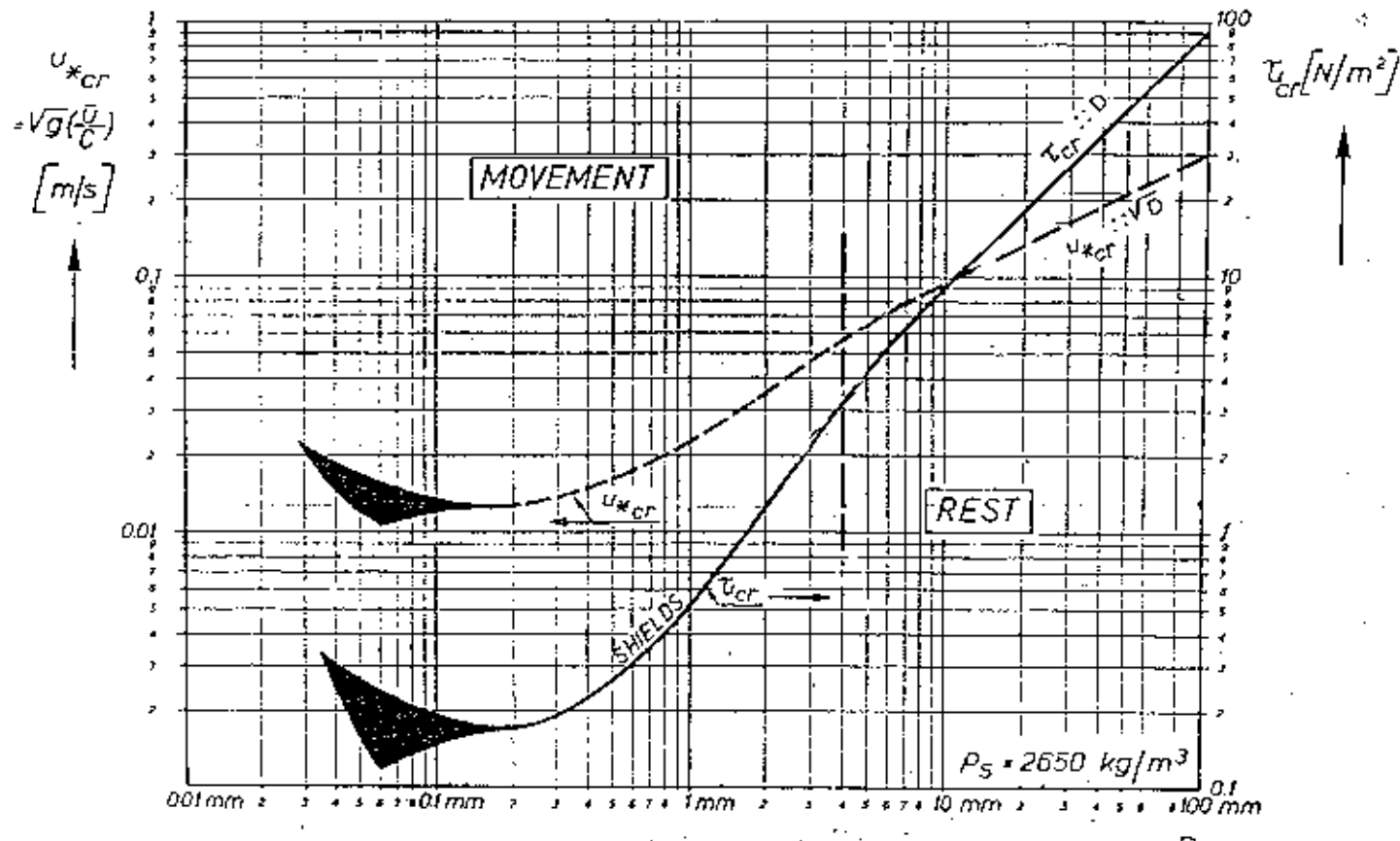
U^* = kecepatan geser (m/det)

U_{cr}^* = kecepatan geser kritis (m/det)

b. Menurut Shield, gaya seret dan atau kecepatan geser kritis, masing-masing merupakan fungsi dari ukuran diameter dan atau akar ukuran diameter material permukaan alur saluran.

Hal ini ditunjukkan dalam bentuk curve Shield (1936) - setelah mengadakan pengamatan terhadap permulaan gerak butiran pasir dengan massa jenis $\rho_s = 2650 \text{ kg/m}^3$ viscositas kinematis $\eta = 1,01 \cdot 10^{-6} \text{ m}^2/\text{det}$ dan pada temperatur 20° C didalam aliran air pada suatu saluran buatan (Gambar 5.2)

Gambar 5.2, Grafik hubungan gaya seret kritis dan kecepatan geser kritis sebagai fungsi dari ukuran batiran, untuk $\sigma = 2650 \text{ kg/m}^2$ (pasir) Shield, 1936.



CRITICAL SHEAR STRESS AND CRITICAL SHEAR VELOCITY
AS FUNCTION OF GRAIN SIZE FOR $\rho_s = 2650 \text{ kg/m}^3$ (SAND)

$$v_u < v_d \text{ maka } k = 1,0$$

$$\begin{aligned} h_f &= F + k \left(\alpha_u \frac{v_u^2}{2g} - \alpha_d \frac{v_d^2}{2g} \right) \\ &= 2,6 + 1,0 \left\{ 1,1 \frac{(2,707)^2}{2 \cdot 9,8} - 1,1 \frac{(4,002)^2}{2 \cdot 9,8} \right\} \\ &= 2,157 \text{ m} \end{aligned}$$

$$I_f = \frac{h_f}{L} = \frac{2,157}{900} = 0,002397$$

$$\begin{aligned} \text{Sehingga : } Q &= K \sqrt{I_f} \\ &= 18084,696 \sqrt{0,002397} \\ &= 885,411 \text{ m}^3/\text{det} \end{aligned}$$

Tidak sama dengan perkiraan

Perkiraan V :

$$Q = 885,411 \text{ m}^3/\text{det}$$

$$v_u = \frac{Q}{A_u} = \frac{885,411}{327,563} = 2,703 \text{ m/det}$$

$$v_d = \frac{Q}{A_d} = \frac{885,411}{221,608} = 3,995 \text{ m/det}$$

$$v_u < v_d \text{ maka } k = 1,0$$

$$\begin{aligned} h_f &= F + k \left(\alpha_u \frac{v_u^2}{2g} - \alpha_d \frac{v_d^2}{2g} \right) \\ &= 2,6 + 1,0 \left\{ 1,1 \frac{(2,703)^2}{2 \cdot 9,8} - 1,1 \frac{(3,995)^2}{2 \cdot 9,8} \right\} \\ &= 2,157 \text{ m} \end{aligned}$$

$$I_f = \frac{h_f}{L} = \frac{2,157}{900} = 0,002397$$

$$\begin{aligned} \text{Sehingga : } Q &= K \sqrt{I_f} \\ &= 18084,696 \sqrt{0,002397} \\ &= 885,411 \text{ m}^3/\text{det} \end{aligned}$$

Sesuai dengan perkiraan.

Jadi kapasitas aliran pada bagian s_4 hingga s_5 adalah $885,411 \text{ m}^3/\text{det}$.

Tabel 5.5. Kontrol Kapasitas Aliran Parit Raya Terhadap Debit Banjir Relawan : 0 toban (S_{10})

PC%	A (m ²)	$\frac{A}{K}$	$3 \times \frac{A}{Q}$	a	Kd	Ku	K	Q (m ³ /det)	τ	$d_0 \frac{V_d^2}{2g}$	$\frac{V_u^2}{2g}$	b _u	L	L _f	Q (m ³ /det)	Q_{10} (m ³ /det)	Ket.		
51	599,289	61,269	7,374	-	56750,351	48227,207	1361,511	0,2897	0,4586	1,0245	8,719,10 ⁻⁴	1424,828	-	-	-	-	-		
	476,289	74,603	6,384	1,1 0,04	-	40976	1075,712	0,94	0,1838	0,254	1,1266	9,582,10 ⁻⁴	1179,871	2163,823	*	-	-	-	
52	342,273	66,713	5,216	-	23575	-	-	-	-	-	-	-	-	-	-	-	-		
53	476,273	74,603	6,284	40976	-	2735,3346	562,5725	0,56	0,0783	0,1959	0,6188	1325	4,57,10 ⁻⁴	59,123	2105,804	*	-		
	343,273	66,713	5,146	-	25579	-	21361,619	444,485	0,0941	0,1223	0,5741	4,39,10 ⁻⁴	649,856	-	-	-	-		
54	301,146	64,031	4,703	1,1 0,04	18259,201	-	15663,983	4061,6611	1,18	0,1623	0,189	1,2234	1750	6,991,10 ⁻⁴	414,15*	1963,142	*	-	
	221,508	58,666	58,666	-	18259	-	13457,629	-	-	-	-	-	-	-	-	-	-		
55	221,608	58,666	3,777	1,1 0,04	13437,629	-	18084,695	972,023,7,60	0,4:	0,1895	2,157	900	2,397,70 ⁻³	385,611	1787,603	*	-		
	327,563	63,929	5,124	-	26338,635	-	-	-	-	-	-	-	-	-	-	-	-		
56	327,563	63,929	5,124	26338,635	-	19189,875	443,033	0,32	0,1027	0,2026	0,370	600	6,166,10 ⁻⁴	476,506	1782,616	*	-		
	253,157	55,746	4,182	-	15130,194	-	16615,517	332,510	0,5	0,114	0,2198	0,5529	1500	4,293,10 ⁻⁴	346,550	1776,524	*	-	
57	233,157	55,746	4,182	1,1 0,04	15130,194	-	18216,654	-	-	-	-	-	-	-	-	-	-		
	167,931	46,043	3,813	-	18216,654	-	9376,734	13030,291	1,0	0,2724	0,3006	1,0141	1250	8,113,10 ⁻⁴	372,566	1736,422	*	-	
58	159,355	44,481	3,594	1,1 0,04	18246,654	-	-	-	-	-	-	-	-	-	-	-	-		
	159,355	44,481	3,594	-	10024,6796	-	9695,295	261,463	1,2	0,1501	0,1375	1,874	1650	7,156,10 ⁻⁴	260,086	1721,456	*	-	
59	159,855	44,481	3,594	1,1 0,04	9376,734	-	-	-	-	-	-	-	-	-	-	-	-		
	167,039	44,904	5,7197	-	10024,6796	-	1711,501	10839,315	284,104	1,1	0,1624	0,1256	1,0632	1600	6,545,10 ⁻⁴	279,312	1618,765	*	-
60	180,931	44,025	3,874	1,1 0,04	1911,501	-	12061,913	451,315	1,68	0,1369	0,1086	1,6719	1200	1,293,10 ⁻³	450,226	1575,603	*	-	
	180,931	44,025	3,874	-	12422,809	-	-	-	-	-	-	-	-	-	-	-	-		
61	180,931	44,025	3,874	-	10854,548	-	10854,548	227,421	1,12	0,028	0,137	1,379	2550	4,652,10 ⁻⁴	229,286	1245,525	*	-	
	192,388	46,345	4,151	-	9484,265	-	-	-	-	-	-	-	-	-	-	-	-		

* Pada Q₁₀, Solutan Parit Raya tidak dapat mendampung banjir.

B A B - VI
K E S I M P U L A N

Setelah dilakukan pembahasan dan perhitungan dalam rangka study mengenai angkutan sedimen di Parit-Raya Tulungagung, maka secara garis besar dapat disimpulkan bahwa kondisi dari Parit-Raya saat ini tidak dapat berfungsi sebagaimana yang diharapkan sebagai saluran pematusan banjir untuk daerah Trenggalek dan Tulungagung sebelah barat daya dengan kapasitas bervariasi dari $200 \text{ m}^3/\text{det}$ sampai dengan $840 \text{ m}^3/\text{detik}$. Dan bila tidak segera dilakukan perbaikan, akan memberikan dampak negatif terhadap jaringan pematusan Tulungagung secara keseluruhan.

Secara keseluruhan, faktor-faktor yang mendukung kesimpulan diatas dapat dijelaskan sebagai berikut :

1. Pembahasan dan perhitungan mengenai angkutan sedimen pada alur Parit-Raya menunjukkan bahwa angkutan sedimen yang terjadi pada alur Parit-Raya adalah sebesar 692391,906 ton/tahun, yang terdiri dari angkutan bed load sebesar 32520,717 ton/tahun dan angkutan suspended load sebesar 659871,189 ton/tahun.
2. Dari pembahasan dan perhitungan mengenai kondisi aliran di Parit-Raya dapat dilihat bahwa debit aliran rata-rata dari daerah tangkapannya selama musim hujan sebesar $40,822 \text{ m}^3/\text{det}$. maupun musim kemarau sebesar $18,983 \text{ m}^3/\text{detik}$ tidak dapat dialirkkan dengan baik ke Parit-Agung. Hal ini disebabkan oleh terjadinya back water-

dari muara pertemuan Parit Raya dengan Parit Agung, yang kemudian dapat menimbulkan luapan air ke arah sekitarnya.

Luapan pada musim hujan diperkirakan terjadi kurang lebih sepanjang 5,75 km di sebelah hulu dari muara-pertemuan Parit Raya dengan Parit Agung.

3. Sehubungan dengan angkutan sedimen pada alur Parit-Raya, maka kondisi aliran Parit Raya tersebut di atas, menimbulkan kecenderungan terjadinya sedimentasi pada bagian disekitar muara pertemuan Parit Raya dan Parit Agung.

Disamping itu terjadinya back water yang terus menerus dapat mengakibatkan sedimentasi akan bergerak - ke arah hulu.

Selanjutnya dasar saluran Parit Raya pada bagian di sebelah hulu dari muara pertemuan Parit Raya dengan Parit Agung secara terus menerus cenderung mengalami agradasi sedemikian rupa sehingga kemiringan dasarnya mendekati kondisi mendatar.

4. Kondisi kecepatan aliran yang terlalu kecil serta - profil aliran yang relatif mendatar, pada bagian di sekitar muara pertemuan Parit Raya dengan Parit Agung, hingga ke Parit Agung bagian hilir, yang mendekati bentuk muka air genangan waduk, memungkinkan terjadinya sedimentasi yang terdiri dari bed load - dan suspended load, yakni :

- Pada Parit Raya diperkirakan terjadi sedimentasi sebesar $14.633,943 \text{ m}^3/\text{tahun}$ dengan trap efisiensi sebesar 3,12 %.
- Pada Parit Agung disebelah hilir dari pertemuannya dengan Parit Raya diperkirakan terjadi sedimentasi sebesar $154.832,1353 \text{ m}^3/\text{tahun}$ dengan trap efisiensi sebesar 27 %.

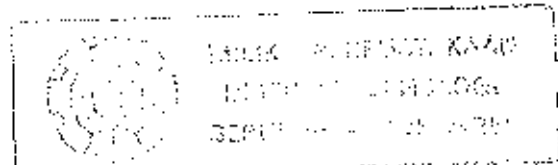
Oleh karena itu usaha penanggulangan terhadap sedimentasi diatas harus dilaksanakan secara rutin, setidak-tidaknya setahun sekali sesuai dengan endapan yang diperkirakan, agar tidak menimbulkan dampak semakin berkurangnya kapasitas tempungan kedua parit tersebut.

5. Bahwa tingkat laju kehilangan tanah akibat erosi di DAS Parit Raya sebesar 0,088 mm/tahun merupakan sumber yang potensial terjadinya angkutan sedimen pada alur-Parit Raya.

Disamping itu tingkat laju eroai sebesar 0,088 mm/tahun dibawah kondisi alami dalam jangka waktu 300 tahun diperkirakan menyebabkan kehilangan tanah setebal 26,4 milimeter.

Kehilangan tanah ini melebihi soil loss tolerance yang ditetapkan oleh Bennet (1936) dan Hudson (1976) setebal 25 mm dibawah kondisi alami dalam jangka waktu yang sama.

Hal ini memerlukan penanggulangan sedini mungkin dengan tindakan konservasi tanah agar laju tingkat kehi-



langan tanah ini tidak menjadi lebih besar dan menimbulkan kerusakan DAS yang lebih berat pula.

Penanggulangan secepatnya terutama ditujukan pada zone DAS Karangtuwo dan Keboireng yang mempunyai laju kehilangan tanah relatif besar dibandingkan dengan daerah yang lain.

6. Dengan menggunakan debit banjir rencana 10 tahun (Q_{10}) sebagai debit kontrol, maka dengan metode kemiringan-luas ternyata bahwa Parit Raya tidak mampu menampung-banjir di sepanjang alur tampungannya.

Hal ini menunjukkan bahwa tanpa dipengaruhi oleh terjadinya agradasi dasar saluran akibat sedimentasi, maka sepanjang alur Parit Raya tetap berpotensi untuk meluapkan banjir ke daerah sekitarnya, khususnya dalam jangka waktu 10 tahun sekali.

Demikian pembahasan tentang Parit Raya Tulungagung.

DAFTAR PUSTAKA

1. Anggrahini, Ir. MSc, Hidrolika, Jurusan Teknik Sipil FTSP. ITS, Surabaya, Agustus, 1983.
2. Soejadi, Bambang, Ir. Dip.H , " Diktat Kuliah Sedi - ment Transport ", Jurusan Teknik Sipil FTSP - ITS, Surabaya, 1980.
3. Sofia, F, Ir, " Diktat Kuliah Sungai ", Jurusan Teknik Sipil, FTSP, ITS, Surabaya, 1987.
4. Sofia, F, Ir, " Diktat Kuliah Pelestarian Air dan - Reklamasi ", Jurusan Teknik Sipil FTSP, ITS , Surabaya, 1987.
5. Sholeh, Mohamad, Ir,"Diktat Hidrologi", Jurusan Teknik Sipil FTSP, ITS.
6. Shalin, MMA,"Statistical in Hydrology", Vol. 2, Edi - tion, 1976, Delf, Nederland.
7. Joesron Loebis, Ir, M Eng,"Banjir Rencana Untuk Ba - ngunan Air", DPMA, Dirjen Pengairan DPU, Ban - dung, Maret, 1984.
8. Suyono S, Dr. Ir, Tominago, Masateru, Dr,"Perbaikan- dan Pengaturan Sungai", Pradnya Paramita, Ja - karta, 1985.
9. Chow, Ven T, Ph D,"Open Channel Hydraulics",Suyatman, Ir, Sugiharto, Kristanto VFX, Ir, Rosalina , Nensi EV, Ir, Alih Bahasa, Penerbit Erlangga, Jakarta, 1985.
10. Bureau of Reclamation,"Design of Small Dams", 2 nd Edi - tion, Oxford and IBH Publishing Co.,1974
11. Linsley, Ray K, Jr, Kohler, Max A, Paulhus, Joseph - L H,"Hydrology for Engineers , Edisi Ketiga , Mc Graw - Hill, Inc, 1982, Alih Bahasa, Yandi Hermawan, Ir, Penerbit Erlangga, 1984.

12. Linsley, Ray K, Franzini, Joseph B, "Water Resources-Engineering", 3 rd Edition, Djoko Sasongko, Ir M Sc, Alih bahasa, Penerbit Erlangga, Jakarta, 1985.
13. Weichmeier, WH and D D Smith, Predicting Rainfall - Erosion Losses East of Rocky Mountains, "Agriculture Hand Book 283 ", U.S Departement of - Agriculture, 1965.
14. Soemarto, CD, Ir. BIE. Dip H., " Hidrologi Teknik ", Penerbit Usaha Nasional, Jakarta, 1987.
15. Sri Harto Br, Ir, Dip. H, " Mengenal Hidrologi Tera-pan, " BPP. KMTS. UGM, Yogyakarta.